



Universidade do Estado do Rio de Janeiro

Centro de Tecnologia e Ciência

Faculdade de Engenharia

Ana Waldila de Queiroz Ramiro Reis

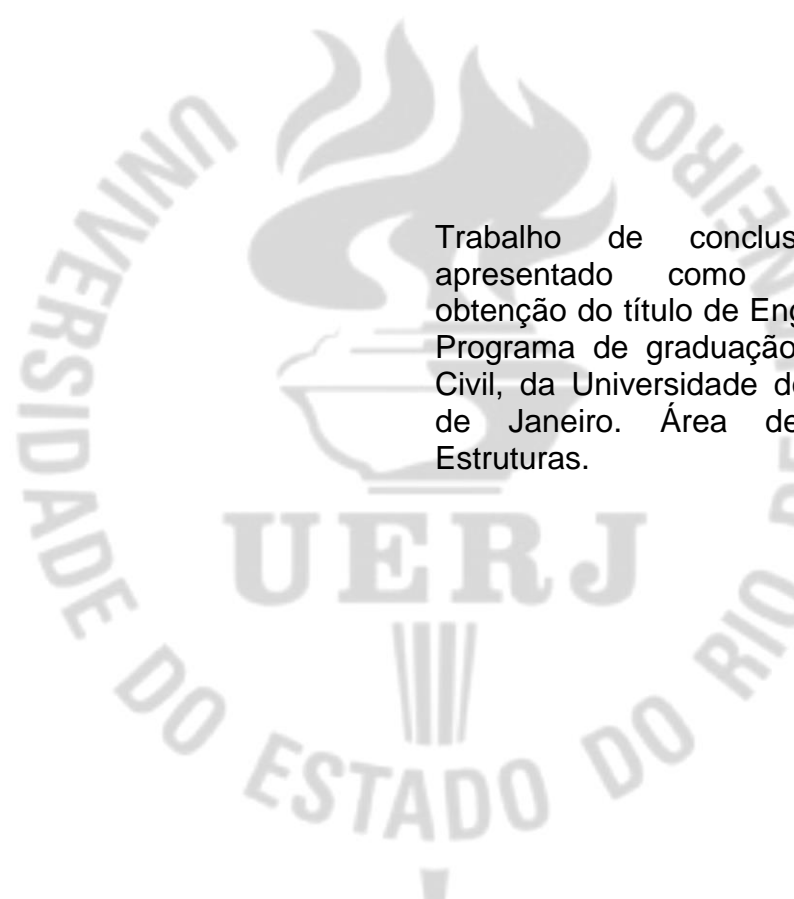
Modelagem Numérica de Seções de Concreto Armado

Rio de Janeiro

2017

Ana Waldila de Queiroz Ramiro Reis

Modelagem Numérica de Seções de Concreto Armado



Trabalho de conclusão de curso apresentado como requisito para obtenção do título de Engenheiro Civil, ao Programa de graduação em Engenharia Civil, da Universidade do Estado do Rio de Janeiro. Área de concentração: Estruturas.

Orientador: Prof. Dr. Rodrigo Bird Burgos

Rio de Janeiro

2017

CATALOGAÇÃO NA FONTE
UERJ / REDE SIRIUS / BIBLIOTECA CTC/B

R375 Reis, Ana Waldila de Queiroz Ramiro.
Modelagem numérica de seções de concreto armado / Ana
Waldila de Queiroz Ramiro Reis – 2017.
169f.

Orientador: Rodrigo Bird Burgos.
Projeto final (Graduação) – Universidade do Estado do Rio de
Janeiro, Faculdade de Engenharia.

1. Engenharia Civil. 2. Concreto armado. 3. Análise numérica.
4. Concreto - Resistencia a compressão. 5. Resistência à tração.
I. Burgos, Rodrigo Bird. II. Universidade do Estado do Rio de
Janeiro. III. Título.

CDU 624

Ana Waldila de Queiroz Ramiro Reis

Modelagem Numérica de Seções de Concreto Armado

Trabalho de conclusão de curso apresentado como requisito para obtenção do título de Engenheiro Civil, ao Programa de graduação em Engenharia Civil, da Universidade do Estado do Rio de Janeiro. Área de concentração: Estruturas.

Aprovado em 23 de março de 2017.

Banca examinadora:

Prof. Dr. Rodrigo Bird Burgos (Orientador)

Faculdade de Engenharia – UERJ

Profa. Dra. Maria Elizabeth da Nóbrega Tavares

Faculdade de Engenharia – UERJ

Profa. Dra. Maria Fernanda Figueiredo de Oliveira

Faculdade de Engenharia – UERJ

Rio de Janeiro

2017

AGRADECIMENTOS

Ao Senhor Deus por me conceder inteligência e sabedoria para prosseguir a cada dia nessa estrada que chamamos de vida, passando e ultrapassando pelas dificuldades.

Aos meus pais, Nilson e Márcia por estarem sempre ao meu lado, me amparando e me auxiliando em todos os momentos, com palavras de carinho e conforto.

Ao meu padrinho, José Luiz, pelo apoio nessa jornada e pela colaboração em material didático para meu aprendizado.

Ao meu namorado, Fabricio Santoro, que sempre me apoiou, em todas as circunstâncias, me abraçava e me dizia palavras de fé, incentivo e esperança quando eu precisava.

Ao meu amigo Agnaldo Primo, por estar sempre presente, me ouvindo e me dando boas palavras, além de toda a sua ajuda quanto as minhas dúvidas de programação.

Aos meus amigos da faculdade, Augusto Cezar, Mateus Moreira e Fernanda Mattos. Sempre presentes e dispostos a sentarem comigo para conversas e esclarecimentos de vida e da faculdade. Também à minha amiga Lillian Nascimento, que desde o meu primeiro período da UERJ esteve ao meu lado, me apoiando, sendo sempre amiga em todos os momentos.

Aos meus orientadores, Margareth Magalhães e Rodrigo Burgos, pela paciência e ensinamentos, por estarem sempre dispostos a ouvirem o que tenho a dizer, pelas orientações, pelos conhecimentos que me passaram e pelas oportunidades que me concederam quanto ao meu desenvolvimento profissional.

À UERJ, por todo conhecimento e maturidade para eu me tornar uma pessoa melhor e uma profissional capacitada.

Elevo os meus olhos para os montes. Onde há de vir o meu socorro?

O meu socorro vem do Senhor, que fez o céu e a terra.

Salmos 121.1-2

RESUMO

REIS, Ana Waldila de Queiroz Ramiro. *Modelagem numérica de seções de concreto armado*. 2017. 169f. Projeto final (Graduação em Engenharia Civil) – Faculdade de Engenharia, Universidade do Estado do Rio de Janeiro, Rio de Janeiro, 2017.

Estudos acerca do concreto armado avançam com o objetivo de usar tal material de forma mais eficiente e econômica em grandes construções. No dimensionamento de estruturas considera-se um fator de segurança exatamente para evitar possíveis colapsos dos elementos estruturais devido às incertezas nas solicitações e parâmetros de resistência. O concreto, por si só, possui a característica de maior resistência aos esforços de compressão do que de tração; desta forma, no dimensionamento muitas das vezes a região tracionada é desconsiderada. Por consequência, são obtidas estruturas mais robustas do que o necessário, levando a um maior gasto dos materiais. O presente trabalho tem por objetivo analisar matematicamente seções de concreto armado considerando a resistência total do concreto armado, ou seja, a contribuição dos esforços de tração e compressão deste material em todos os estádios de deformação. Além disso, com base nessas análises, é desenvolvido um *software* que apresenta a variação do comportamento de uma viga de concreto, apresentado suas deformações, altura de linha neutra, momento gerado e deflexão.

Palavras-chave: Análise numérica. Concreto Armado. Seções de Concreto Armado. Resistência à Compressão. Resistência à Tração.

ABSTRACT

REIS, Ana Waldila de Queiroz Ramiro. *Numerical modeling of reinforced concrete sections*. 2017. 169f. Undergraduate Project (Civil Engineering) - Faculty of Engineering, State University of Rio de Janeiro, Rio de Janeiro, 2017.

Recent studies on reinforced concrete advance with the objective of using such material more efficiently and economically in large constructions. In structural design, a safety factor is usually considered to avoid possible collapses of the structural elements due to the uncertainties in the load and resistance parameters. Concrete presents greater compressive strength than tensile strength; in this way, many times the region under tension is disregarded. As a consequence, the structures obtained are more robust than necessary, leading to unnecessary use of materials. The present work aims to analyze mathematically sections of reinforced concrete taking into account considering the total strength of the reinforced concrete, that is, the contribution of tensile and compression strengths of this material in all the stages of strain. Together, it presents a software developed to mathematically analyze the equilibrium stages of the cross section of the beam, providing the user with a table with all the information along the behavior of the beam, i. e. strains of concrete and steel, variation of the neutral line, resisting moment as well as deflection. In addition, the software is capable of generating Strain vs. Bending Moment and Deflection vs. Bending Moment curves.

Keywords: Numerical Analysis. Reinforced Concrete. Reinforced Concrete Sections. Compressive strength. Tensile strength.

LISTA DE ABREVIATURAS E SIGLAS

Simbologia Minúscula

a	Constante auxiliar de cálculo
\arctg	Arco tangente
$a_{est.2}$	Coeficiente utilizado para a fórmula de Bhaskara, no estágio 2 do concreto
$a_{est.3}$	Coeficiente utilizado para a fórmula de Bhaskara, no estágio 3 do concreto
b	Constante auxiliar de cálculo
$b_{est.2}$	Coeficiente utilizado para fórmula de Bhaskara, no estágio 2 do concreto
$b_{est.3}$	Coeficiente utilizado para a fórmula de Bhaskara, no estágio 3 do concreto
c	Constante auxiliar de cálculo
$c_{est.2}$	Coeficiente utilizado para a fórmula de Bhaskara, no estágio 2 do concreto
$c_{est.3}$	Coeficiente utilizado para a fórmula de Bhaskara, no estágio 3 do concreto
d	Altura útil
d_a	Tamanho do agregado
d_j	Altura com relação ao aço de compressão ($j = 1$) ou o de tração ($j = 2$)
d'	Cobrimento
f_{cd}	Resistência nominal de compressão do concreto
f_{ck}	Resistência característica de compressão do concreto
f_{tk}	Resistência característica de tração do concreto
f_{yk}	Resistência característica de escoamento do aço
h	Comprimento lateral da malha quadrada para análise de energia de fratura
h_{ct}	Altura de concreto tracionado colaborante

i	Número de intervalos para o cálculo do somatório do método de Simpson
k_d	Linha neutra
k_1	Constante de regularização para obter a resultante de compressão no concreto
k_2	Fração da altura da linha neutra onde localiza-se a resultante de compressão do concreto
k_3	Constante de regularização para obter a resultante de tração no concreto
k_4	Fração da altura onde localiza-se a resultante de tração do concreto
m	Subíndice referente às constantes k_1 , k_2 , k_3 e k_4
\ln	Logarítmo neperiano
n	Variável dependente da resistência à compressão do concreto
q	Constante auxiliar de cálculo
u	Constante auxiliar de cálculo
x	Constante auxiliar de cálculo, relacionado ao eixo x
y	Constante auxiliar de cálculo, relacionada ao eixo y
z	Constante auxiliar de cálculo, relacionada ao eixo z (tridimensional)
w_c	Largura da zona de processo de fissura

Simbologia Maiúscula

A	Constante auxiliar de cálculo
A_{cm}	Área de concreto de compressão
A_{sc}	Área de aço de compressão
A_{sj}	Área de aço de compressão ou tração
A_{st}	Área de aço de tração
A_{tm}	Área de concreto de tração
ABNT	Associação Brasileira de Normas Técnicas
B	Constante auxiliar de cálculo
B_b	Largura da seção de viga
$[C]$	Matriz constitutiva em função das deformações triaxiais

C	Constante auxiliar de cálculo
C_f	Inclinação (tangente) da curva $\sigma_z - \varepsilon_f$
C_{ij}	Coeficientes da matriz de rigidez
C. G	Centro de Gravidade
E_c	Módulo de Young do concreto
E'_c	Módulo de elasticidade do concreto corrigido pelo efeito de Poisson
E_{cs}	Módulo secante do concreto
E_s	Módulo de elasticidade do aço
E_t	Módulo tangente do concreto
E'_t	Módulo de elasticidade tangente do concreto corrigido pelo efeito de Poisson
F_{cm}	Força do concreto de compressão
F_{sc}	Força do aço de compressão
F_{sj}	Força do aço de compressão ($j = 1$) ou tração ($j = 2$)
F_{st}	Força do aço de tração
F_{tm}	Força do concreto de tração
H	Altura da seção de viga
L	Vão correspondente da viga
M	Momento fletor
M_s	Momento estático
M_k	Momento fletor característico da seção
\bar{M}	Distribuição de momento de flexão correspondente à uma carga unitária no sentido da máxima deflexão
NBR	Norma Brasileira
P	Força aplicada na seção
S	Área abaixo da curva de tensão - deformação
W	Trabalho realizado

Simbologia Grega

ΔE	Variação de energia
ΔM_k	Momento característico referente à resistência da armadura comprimida
Δx	Comprimento dos intervalos de cálculo para o método de Simpson
B	Ângulo correspondente ao módulo tangente do concreto
Δ	Deflexão
$[\epsilon]$	Matriz de deformação
ϵ_c	Deformação variável atuante no concreto
ϵ_{CEN}	Deformação do concreto na altura do centroide da área abaixo da curva
ϵ_{cm}	Deformação de compressão do concreto (variável)
ϵ_{cp}	Deformação máxima de compressão do concreto
ϵ_{c2}	Deformação específica de encurtamento do concreto no início do patamar plástico (NBR 6118: 2014)
ϵ_{cu}	Deformação específica de encurtamento do concreto na ruptura (NBR 6118: 2014)
ϵ_f	Deformação adicional causada pela microfissuração
ϵ_{sj}	Deformação do aço de compressão ($j = 1$) ou de tração ($j = 2$)
ϵ_{sc}	Deformação do aço de compressão
ϵ_{st}	Deformação do aço de tração
ϵ_{tf}	Deformação final de tração do concreto, correspondente à tensão de tração zero
ϵ_{tm}	Deformação de tração do concreto
ϵ_{tp}	Deformação máxima de tração do concreto
ϵ_x	Deformação do concreto no eixo x
ϵ_y	Deformação do concreto no eixo y
ϵ_z	Deformação do concreto no eixo z
θ	Constante auxiliar de cálculo
μ	Parâmetro de fissuração
μ_k	Coeficiente de cálculo do momento resistente característico

$[\sigma]$	Matriz de tensões
σ_c	Tensão atuante no concreto
σ_{cm}	Tensão de compressão atuante no concreto
σ_N	Tensão máxima nominal de flexão da área líquida
σ_{sc}	Tensão de compressão atuante no aço
σ_{sj}	Tensão no aço de compressão ($j = 1$) ou no de tração ($j = 2$)
σ_{st}	Tensão de tração atuante no aço
σ_{tm}	Tensão de tração atuante no concreto
σ_x	Tensão atuante no concreto no eixo x
σ_y	Tensão atuante no concreto no eixo y
σ_z	Tensão atuante no concreto no eixo z
N	Coeficiente de Poisson
G_f	Energia consumida na formação das fissuras
δ	Deflexão
ζ	Coeficiente adimensional
ω	Taxa de armadura
η	Relação entre módulo de elasticidade do aço e módulo de elasticidade do concreto

LISTA DE ILUSTRAÇÕES

Figura 01 – Diagramas de tensão – deformação do concreto na compressão	18
Figura 02 – Diagrama de tensões do concreto.....	19
Figura 03 – Diagrama tensão-deformação parábola – retângulo do concreto	19
Figura 04 – Diagrama de resistência do concreto quanto à tração	23
Figura 05 – Zona do processo de fratura gerada no concreto	27
Figura 06 – Gráfico do efeito de falha de uma estrutura	28
Figura 07 – Região de largura w_c fissurada.....	30
Figura 08 – Região de descendência da reta de tensão de tração do concreto.....	31
Figura 09 – Diagrama de tensão de tração do concreto	32
Figura 10 – Esquema de deflexão em viga isostática de concreto armado	41
Figura 11 – Malha utilizada na propagação da fissura	43
Figura 12 – (a) Seção de concreto armado; (b) Diagrama de deformação; (c) Diagrama de tensão	48
Figura 13 – Diagrama da curva de compressão do concreto	49
Figura 14 – Coeficientes de tensões	51
Figura 15 – Diagrama de tensão do concreto	64
Figura 16 – Domínios do Estado Limite Último de uma seção transversal	69
Figura 17 – Distribuição de tensões (Stresses) em seção no Estádio 1	70
Figura 18 – Momento curvatura de uma seção de concreto armado	70
Figura 19 – Menu Principal de AlfaMCV	81
Figura 20 – Janela de introdução de dados	82
Figura 21 – Janela de resultados	82
Figura 22 – Janela de Ajuda.....	83
Figura 23 – Autores do <i>Software</i> AlfaMCV	84
Figura 24 – Tabela de resultado de viga sub armada: momento máximo	88
Figura 25 – Momento final de uma viga subarmada	89
Figura 26 – Deflexão encontrada para região elástica de vigas sub armadas	90
Figura 27 - Tabela de resultado de viga normalmente armadas	92
Figura 28 - Deflexão encontrada para região elástica de vigas normalmente armadas	93

Figura 29- Tabela de resultado de viga super armadas	95
Figura 30 - Deflexão encontrada para região elástica de vigas super armadas.....	96
Figura 31 - Tabela de resultado de viga duplamente armada	99
Figura 32 - Deflexão encontrada para região elástica de vigas duplamente armadas	101
Figura 33 - Deflexão encontrada para região elástica de vigas sem armadura.....	103

LISTA DE GRÁFICOS

Gráfico 01 – Reta gerada a partir dos dados na literatura, com base na resistência e energia de fissuração do concreto	45
Gráfico 02 – Momento x Deflexão de vigas sub armadas	87
Gráfico 03 – Momento x Deflexão de vigas normalmente armadas	91
Gráfico 04 – Momento x Deflexão de vigas superarmadas	94
Gráfico 05 – Momento x Deflexão de vigas duplamente armadas	98
Gráfico 06 – Momento x Deflexão de vigas sem armadura.....	102

LISTA DE TABELAS

Tabela 01 – Dados sobre testes de diferentes tipos de concreto	44
Tabela 02 – Valores a serem considerados na plotagem do gráfico	45
Tabela 03 – Dados padronizados utilizados	85

SUMÁRIO

INTRODUÇÃO	18
1. TENSÃO – DEFORMAÇÃO DO CONCRETO	23
1.1. Equações de tensão – deformação do concreto	23
1.2. Efeito de micro fissuração, micro deformação e fraturas no concreto	26
1.3. Energia de fissuração do concreto	39
1.4. A equação de tensão – deformação do concreto	47
1.5. Coeficientes de tensões médias	51
1.5.1. Coeficientes para $\epsilon_c \leq \epsilon_{tp}$	53
1.5.1.1. Coeficiente k_1	53
1.5.1.2. Coeficiente k_2	57
1.5.1.3. Coeficiente k_3	59
1.5.1.4. Coeficiente k_4	60
1.5.2. Coeficientes para $\epsilon_{tp} < \epsilon_{tm} < \epsilon_{tf}$	60
1.5.2.1. Coeficiente k_3	60
1.5.2.2. Coeficiente k_4	61
1.5.3. Coeficientes $\epsilon_{tf} < \epsilon_{cm}$	62
1.5.3.1. Coeficiente k_3	63
1.5.3.2. Coeficiente k_4	63
1.6. Momento de Equilíbrio	64
1.7. Deflexão da Viga	65
2. DOMÍNIOS E ESTÁDIOS DO CONCRETO E SUAS RELAÇÕES NUMERICAS	67
2.1. Domínios de deformação	67

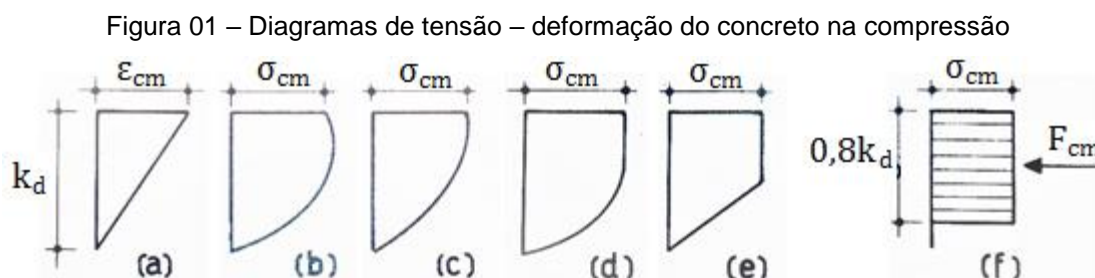
2.1.1.	Domínio 1	67
2.1.2.	Domínio 2	68
2.1.3.	Domínio 3	68
2.1.4.	Domínio 4 e 4a	68
2.1.5.	Domínio 5	68
2.2.	Estádios de Fissuração	69
2.2.1.	Estádio 1	69
2.2.2.	Linha Neutra	71
2.3.	Estádio 2	72
2.3.1.	Linha Neutra	73
2.4.	Estádio 3	76
2.4.1.	Linha Neutra para $\epsilon_{sc} . E_s < f_y$ e $\epsilon_{st} . E_s < f_y$	76
2.4.2.	Linha Neutra para $\epsilon_{cs} . E_s < f_y$ e $\epsilon_{st} . E_s > f_y$	78
2.4.3.	Linha Neutra para $\epsilon_{sc} . E_s > f_y$ e $\epsilon_{st} . E_s > f_y$	79
3.	SOBRE O SOFTWARE ALFAMCV	81
4.	ANÁLISE DE RESULTADOS: DIMENSIONAMENTO DE VIGAS SUBARMADA, NORMALMENTE ARMADA, SUPERARMADA, ARMADURA DUPLA E SEM ARMADURA	85
4.1.	Subarmadas	86
4.2.	Normalmente Armada	90
4.3.	Superarmada	93
4.4.	Vigas com Armadura Dupla	96
4.5.	Viga de Concreto sem Armadura	101
4.6.	Análise de Resultados	103
5.	O CÓDIGO DO SOFTWARE ALFAMCV	105
5.1.	Estádio 1	105

5.2.	Estádio 2	105
5.3.	Estádio 3	111
6.	CONCLUSÃO	113
	REFERÊNCIAS	119
	ANEXO A – PROGRAMAÇÃO REFERENTE AO ESTÁDIO 1	121
	ANEXO B – PROGRAMAÇÃO REFERENTE AO ESTÁDIO 2	128
	ANEXO C – PROGRAMAÇÃO REFERENTE AO ESTÁDIO 3	135
	ANEXO D – PROGRAMAÇÃO REFERENTES AO PREENCHIMENTO DO DATAGRID	143
	ANEXO E – TABELA DE COEFICIENTES ADIMENSIONAIS	167

INTRODUÇÃO

Segundo PFEIL (1969), o dimensionamento comumente de estruturas de concreto armado se dá quando determinadas condições são obedecidas. Concreto corresponde a um material frágil, onde considera-se que sua resistência é nula em regiões tracionadas. Tais regiões são determinadas a partir de uma linha, chamada neutra, onde suas deformações são efetivamente nulas. Na região comprimida, em solicitações de flexo-compressão, o concreto atinge a deformação máxima de 3,5‰. Com relação ao aço, define-se o dimensionamento de forma que a tensão atuante na armadura seja menor que o escoamento real do material.

De acordo com BAZANT(1984), o comportamento das tensões do concreto corresponde a um diagrama na região de compressão da peça estrutural. Tal diagrama corresponde à variação de tensões conforme as deformações. Vários métodos foram desenvolvidos para modelagem do diagrama, onde este varia com o tipo de concreto e o tipo de carga aplicada, conforme afirma PFEIL (1969). Essas variações podem ser observadas na Figura 01 a seguir:

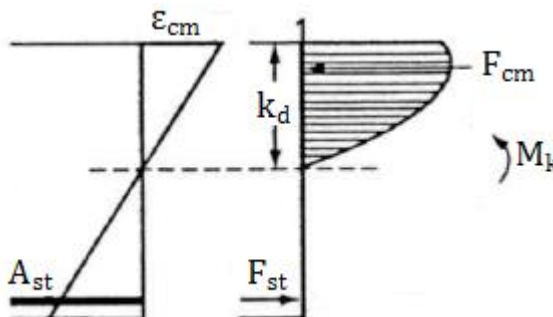


Fonte: PFEIL (1969) – Adaptado

A Figura 01 representa a variação das condições estruturais utilizadas para avaliar o comportamento do diagrama tensão – deformação do concreto de compressão. Para tais casos, observa-se altura da linha neutra (x) em relação à deformação do concreto de compressão (a), passando pelas variações curvas apresentadas pelo diagrama (b) e (c). Segue-se pelo diagrama parábola retângulo, utilizado pela NBR 6118: 2014, (d), seguindo pela redução à diagrama trapezoidal (e) até finalmente chegar no que é adotado atualmente pela teoria, diagrama retangular de tensões de compressão (f).

O que usualmente realiza-se em projetos é a desconsideração das tensões de tração do concreto, dimensionando a estrutura de acordo com as tensões de compressão, como afirma CHUST (2007) na Figura 02, e já apresentado por PFEIL (1969).

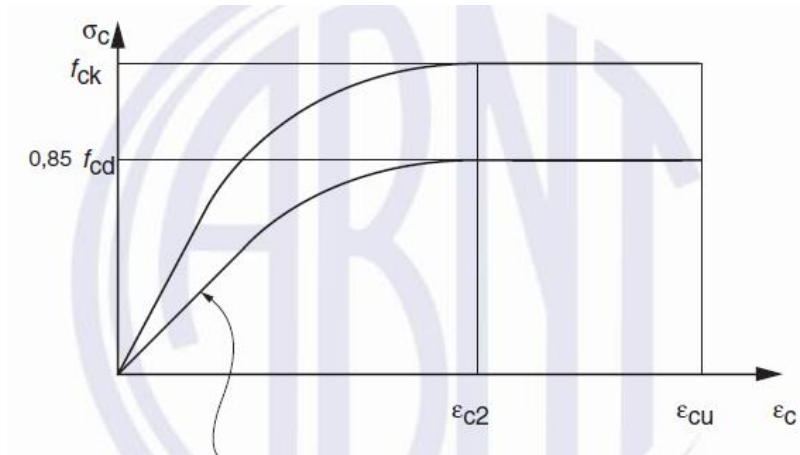
Figura 02 – Diagrama de tensões do concreto



Fonte: CHUST (2007) - Adaptado

O diagrama também é citado pela NBR 6118: 2014 em seu item 8.2.10.1, indicando a equação de tensão à compressão do concreto:

Figura 03 – Diagrama tensão-deformação parábola – retângulo do concreto



Fonte: NBR 6118: 2014

Onde a equação é dada por:

$$\sigma_c = 0,85 f_{cd} \left[1 - \left(1 - \frac{\varepsilon_c}{\varepsilon_{c2}} \right)^n \right] \quad (1)$$

para $\begin{cases} f_{ck} \leq 50 \text{ MPa, onde } n = 2 \\ f_{ck} > 50 \text{ MPa, onde } n = 1,4 + 23,4[(90 - f_{ck})/100]^4 \end{cases}$

E as deformações de compressão do concreto, apresentadas pela Figura 03 são:

$$\begin{aligned} &\text{para concreto classe até C50} \begin{cases} \varepsilon_{c2} = 2\text{‰} \\ \varepsilon_{cu} = 3,5\text{‰} \end{cases} \\ &\text{para concreto classe C55 até C90} \begin{cases} \varepsilon_{c2} = 2\text{‰} + 0,085\text{‰} \cdot (f_{ck} - 50)^{0,53} \\ \varepsilon_{cu} = 2,6\text{‰} + 35\text{‰} \cdot [(90 - f_{ck}) / 100]^4 \end{cases} \end{aligned}$$

Para o caso em particular deste trabalho, é válido ressaltar que os concretos utilizados são de $f_{ck} \leq 50$ MPa, desta forma, como afirma a NBR 6118: 2014, item 8.2.10.1, $\varepsilon_{c2} = 2\text{‰}$ e $\varepsilon_{cu} = 3,5\text{‰}$

Observa-se nestas teorias que a desconsideração da região tracionada do concreto deve-se à sua baixa resistência a tal solicitação. Contudo, corresponde à uma resistência não nula.

Entretanto, analisando a região tracionada, como feito por BAZANT (1984), o diagrama de tensões mesmo é representado pelo crescimento linear das tensões até um ponto de pico, f_{tk} , onde ocorre o início do decréscimo das tensões. Ou seja, caracteriza-se de um material frágil que apresenta uma queda de tensão brusca em conjunto com a sua deformação. Caracteriza-se por um rompimento rápido, sem percepção de gradativa deformação.

Este rompimento é qualificado pelo aparecimento de fissuras ao longo do banzo tracionado da estrutura, que no caso deste trabalho é analisado para uma viga de seção retangular. À medida que o carregamento aumenta, as fissuras tendem a aumentar de forma a diminuir a área de concreto comprimido, ou seja, elevar a altura da linha neutra.

Neste fenômeno de propagação de fissuras, é conceituada com base na mecânica da fratura, onde estuda o comportamento de colapso da estrutura. Com base nisso, três parâmetros essenciais são considerados: energia de fratura, limite de força uniaxial e largura da zona de fissura. O primeiro corresponde à geração de um trabalho W na estrutura, manifestada em forma de carga pontual aplicada no meio do vão da viga. Este trabalho W ocasiona variação de energia, que gera o fluxo de energia necessário para a propagação das fissuras nas diversas seções solicitadas.

O limite de força uniaxial corresponde essencialmente à matriz de conformidade do concreto, cuja qual é diretamente dependente das deformações de

Poisson geradas nos 3 eixos cartesianos. Contudo, para o caso em específico desta análise, é considerado que a propagação das fissuras é perpendicular ao eixo z , com sua abertura no eixo x . Ou seja, tensões aplicadas ao eixo y são consideradas nulas.

Finalmente, a largura da zona de fratura corresponde a largura efetiva w_c , onde as fissuras tendem a se propagar no concreto de forma uniforme. Esta largura w_c , de acordo com pesquisas experimentais, depende essencialmente do tamanho do agregado gráúdo utilizado na confecção do concreto.

No processo de aplicação de uma carga pontual, tensões são geradas nas seções solicitadas. Em um ensaio de flexo – compressão de uma viga de concreto armado, é possível obter a curvatura do comportamento de tensão – deformação da mesma. Dentre vários modelos numéricos sugeridos para determinar a equação de tal curva, o modelo de SAENZ (1969) é um dos mais conhecidos da literatura, apresentando uma relação linear por um polinômio do 2º como forma de descrever o comportamento da variação de tensões pelas suas deformações na região comprimida do concreto. O modelo de SAENZ (1969) torna-se adequado pela sua eficiência na aproximação à realidade da curva.

Com base nas equações de diagrama de tensão – deformação apresentadas por SAENZ (1969) para o concreto comprimido e o diagrama bilinear de concreto tracionado apresentado por BAZANT (1984), é possível determinar as equações de equilíbrio da seção, podendo-se encontrar a variação da linha neutra da seção e o momento máximo da mesma com base na variação da deformação de concreto comprimido. Para tais variações supracitadas, estão diretamente relacionadas aos estádios de fissuração do concreto.

A partir destes conceitos, a inspiração deste trabalho consiste em avaliar a contribuição do concreto de tração e desenvolver um *software* que, com base nos modelos matemáticos neste trabalho apresentados, apresentar a variação das deformações do concreto e do aço, altura da linha neutra, momento resistente gerado e a deflexão causada pela solicitação da carga pontual. Para que todas estas sejam devidamente calculadas, não utilizou os coeficientes de minoração de resistência dos materiais e majoração das solicitações, como preconiza a NBR 6118: 2014.

É válido ressaltar que na modelagem matemática e na programação do *software* foram utilizadas as premissas de aplicação de uma carga pontual no meio do vão de uma viga bi apoiada, sem balanços, gerando um diagrama de momento triangular. Deformações e solicitações como o peso próprio da estrutura são desconsiderados, já que deseja-se determinar o momento solicitante máximo da estrutura. Fenômenos como tensões cisalhantes são desconsideradas neste trabalho.

Ao fim, são geradas no *software* curvas de momento (kN.m) x deflexão (cm) referentes às vigas devidamente dimensionadas, comparando, portanto, os resultados apresentados pelo programa com o que a teoria apresenta.

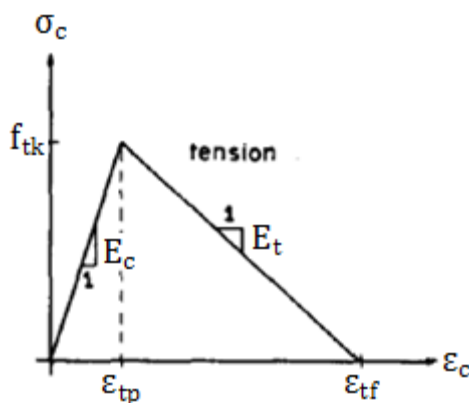
1. TENSÃO – DEFORMAÇÃO DO CONCRETO

1.1. Equações de tensão – deformação do concreto

Para a equação (1) apresentada, a NBR 6118:2014 indica que, para concretos de até 50 MPa, a equação da curva tensão – deformação pode ser aproximada por uma parábola retângulo. Em concretos de alto desempenho ($f_{ck} > 50$ MPa), a análise da variação da tensão conforme a deformação é diferente, levando-se em conta nos cálculos da determinação da equação da curva o f_{ck} previsto para o concreto confeccionado.

BAZANT (1984) determinou para um modelo de viga biapoiada com carga centrada, o máximo momento que esta pode resistir considerando os efeitos da tração no concreto. Nesse modelo adotou-se o diagrama bilinear para a resistência do concreto à tração, como apresentado na Figura 04.

Figura 04 – Diagrama de resistência do concreto quanto à tração



Fonte: BAZANT (1984) - Adaptado

O efeito da resistência de tração está diretamente relacionado com a compressão do concreto. Desta forma, determinar equações matemáticas com base no diagrama bilinear de tensão do concreto (Figura 04) possibilita automaticamente determinar a variação da altura da linha neutra e, juntamente com o diagrama tensão – deformação do concreto de compressão, calcular o momento máximo resistente pela viga.

Os cálculos de determinação da resistência máxima do concreto quanto ao momento são para análises de ensaios laboratoriais, ou seja, tempo de execução de ensaio é muito menor que o período que uma estrutura está exposta ao meio.

Para análises de longo prazo, os cálculos de resistências são parecidos, sendo que alguns detalhes devem ser considerados, como variação do Módulo de Young do concreto, retração e fluência do concreto, além da relaxação do aço. Todas essas variáveis são referentes às perdas lentas do sistema estrutural e dependem do tempo de submissão às cargas aplicadas. (VITTORIO, 2011)

Neste presente trabalho, a análise realizada é de somente aplicação contínua e breve de carga pontual no meio do vão, ou seja, verificações de perda de resistência ao longo do tempo são desconsideradas.

Para definir a resistência do concreto quanto à tração, a Figura 04 foi analisada primeiramente por SCANLON (1971), também utilizada por BAZANT (1984), subdividindo o diagrama em 3 regiões distintas:

- Para $\varepsilon_c \leq \varepsilon_{tp} \rightarrow \sigma_c = E_c \varepsilon_c$ (2)

Esta região corresponde ao intervalo de deformação do concreto (ε_c) de zero (sem deformações) até ε_{tp} (deformação máxima de tração).

Neste caso, como possui-se referência a uma equação da reta, dispõe-se de duas coordenadas para determiná-la: (0;0) e (ε_{tp} ; f_{tk}). Nisso, tem-se que a equação corresponde à:

$$\sigma_c(\varepsilon_c) = \frac{f_{tk}}{\varepsilon_{tp}} \varepsilon_c$$

Pode-se escrever:

$$\sigma_c = E_c \varepsilon_c$$

- Para $\varepsilon_{tp} < \varepsilon_c < \varepsilon_{tf} \rightarrow \sigma_c = f_{tk} - (\varepsilon_c - \varepsilon_{tp})(-E_t)$ (3)

Para deformações de concreto entre ε_{tp} e ε_{tf} , tem-se as coordenadas para a equação da reta correspondente (ε_{tp} ; f_{tk}) e (ε_{tf} ; 0).

Esta segunda região corresponde à queda linear de tensão resistente no concreto. Esta queda se inicia na tensão máxima de tração (f_{tk}), com sua deformação correspondente, até a tensão zero e sua máxima deformação (ε_{tf})

Considerando que a equação da reta é regida pela equação geral $y = ax + b$, e substituindo as coordenadas na equação citada, obtêm-se o sistema:

$$\begin{cases} a \cdot \varepsilon_{tp} + b = f_{tk} \\ a \cdot \varepsilon_{tf} + b = 0 \end{cases}$$

Onde determina-se que os coeficientes angular e linear valem, respectivamente:

$$a = \frac{f_{tk}}{\varepsilon_{tp} - \varepsilon_{tf}} \quad e \quad b = -\frac{\varepsilon_{tf} \cdot f_{tk}}{\varepsilon_{tp} - \varepsilon_{tf}}$$

Desta forma, tem-se:

$$y = \frac{f_{tk}}{\varepsilon_{tp} - \varepsilon_{tf}} x + \left(-\frac{\varepsilon_{tf} \cdot f_{tk}}{\varepsilon_{tp} - \varepsilon_{tf}} \right)$$

Ou ainda, sendo ε_c a coordenada x e σ_c a coordenada y , tem-se:

$$\sigma_c(\varepsilon_c) = \frac{f_{tk}}{\varepsilon_{tp} - \varepsilon_{tf}} (\varepsilon_c - \varepsilon_{tf}) \quad (4)$$

Com relação à E_t , pode-se determinar:

$$\frac{f_{tk}}{\varepsilon_{tp} - \varepsilon_{tf}} = E_t$$

Logo,

$$\sigma_c(\varepsilon_c) = E_t (\varepsilon_c - \varepsilon_{tf})$$

Analisando o diagrama tensão – deformação de tração do concreto (Figura 04), pode-se afirmar que:

$$f_{tk} = E_t (\varepsilon_{tp} - \varepsilon_{tf})$$

Desta forma:

$$f_{tk} = E_t \cdot \varepsilon_{tp} - E_t \cdot \varepsilon_{tf}$$

$$\varepsilon_{tf} = \varepsilon_{tp} - \frac{f_{tk}}{E_t}$$

Substituindo a expressão acima na equação (4), encontra-se:

$$\sigma_c(\varepsilon_c) = E_t \left[\varepsilon_c - \left(\varepsilon_{tp} - \frac{f_{tk}}{E_t} \right) \right]$$

$$\sigma_c(\varepsilon_c) = E_t \varepsilon_c - E_t \varepsilon_{tp} + f_{tk}$$

$$\sigma_c(\varepsilon_c) = f_{tk} - (\varepsilon_c - \varepsilon_{tp})(-E_t)$$

- Para $\varepsilon_{tf} < \varepsilon_c \rightarrow \sigma_c = 0$ (5)

De acordo com o diagrama apresentado na Figura 04, o concreto encontra-se totalmente fissurado a partir da deformação ε_{tf} . Desta forma, na parte da seção transversal onde as deformações ε_c são maiores que ε_{tf} as tensões são nulas.

Pela comprovação experimental de que o concreto é mais eficiente em compressão do que em tração, o dimensionamento de estruturas de concreto armado é comumente baseado somente em tensões de compressão no concreto. De acordo com a teoria, o método mais comum é a adoção do diagrama retangular de tensões, apresentados por PFEIL (1969), na Figura 01 (f).

BAZANT(1984) apresenta o comportamento de uma seção de concreto armado quando submetida a uma flexão simples, apresentado as equações de tensões – deformações e, atreladas, sua ruptura diretamente relacionada com a energia mecânica aplicada na estrutura.

Baseado nisto, verificou-se que a partir das equações (2) à (5) juntamente com a energia mecânica aplicada, é possível descrever uma relação entre o módulo de elasticidade do concreto (E_c) e o módulo tangente do concreto (E_t). Esta relação é diretamente referenciada ao tamanho do agregado graúdo utilizado na confecção do concreto.

1.2. Efeito de micro fissuração, micro deformação e fraturas no concreto

BAZANT (1983) descreveu essa relação entre E_c e E_t com base na teoria mecânica da fratura, aplicada à um material heterogêneo que possui um descontinuidade de tensões atuantes na seção, provenientes das deformações ocasionadas por micro fissuração. Desta forma, é possível realizar uma modelagem da estrutura na faixa de área fissurada, a partir da relação triaxial de tensões, utilizando-se a matriz de conformidade do material.

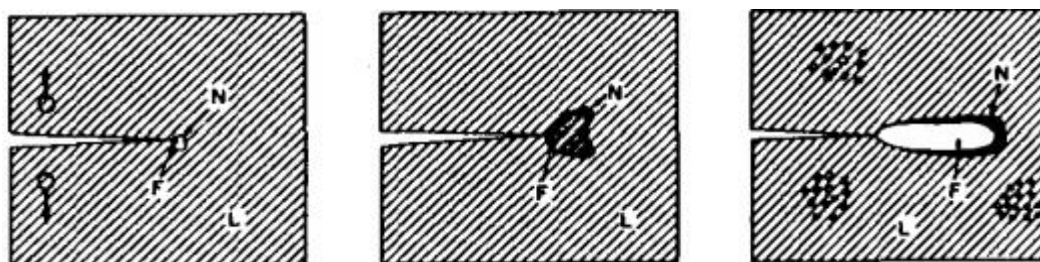
Na mecânica da fratura, sendo este sistema um material frágil (caso do concreto), o colapso se dá quando a tensão de tração do material é atingida, ocorrendo uma súbita queda de tensões no local. Esse processo de fraturamento só pode ser analisado minuciosamente quando a energia ali é calculada. Desta forma,

a mecânica da fratura averigua o colapso da estrutura mediante a propagação de fissuras. (BORGES, 2002)

Para que esta análise seja realizada, são utilizadas essencialmente três parâmetros característicos dos materiais: energia de fratura, limite de força uniaxial, e largura da zona de fissura (zona de processo de fratura). Esses fatores foram determinados e reajustados a partir de ensaios testes realizados por BAZANT (1983), considerando 3 diferentes tamanhos de agregados graúdos, atendendo como aceitável para a aproximação à um material homogêneo na modelagem.

Esta zona de processo de fratura consiste em uma região (nódulo) formada à frente da propagação da fissura, onde inicia-se o processo das fendas, como observa-se na Figura 05 a seguir. Este efeito existe em materiais que possuem um alto grau de heterogeneidade, como é o caso em particular do concreto. Além disso, a formação de tais nódulos ocasiona uma redução considerável da rigidez de toda a estrutura. Isso resulta em uma descontinuidade das tensões no elemento estrutural. (BAZANT, 1982; KWAK *et al*, 1990)

Figura 05 – Zona do processo de fratura gerada no concreto



Fonte: BAZANT (1982)

Contudo, essas considerações devem ser feitas separadamente para cada estrutura, conforme estudos realizados por WALSH (1979), onde determinou-se a seguinte proporcionalidade, com base na mecânica clássica:

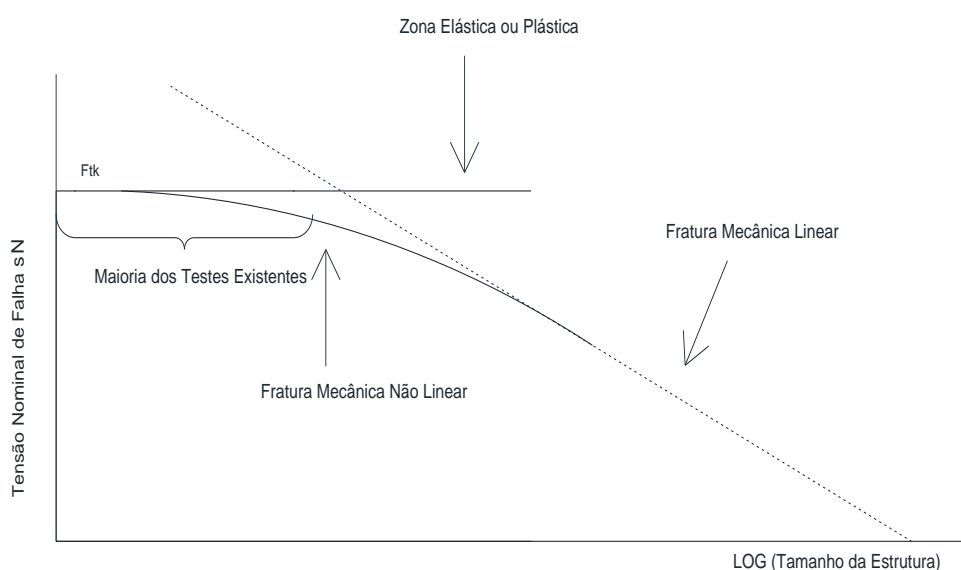
$$\sigma_N \propto \text{tamanho da estrutura}^{-\frac{1}{2}}$$

Onde σ_N corresponde à tensão máxima nominal de flexão da área líquida. Ao realizar a plotagem da tensão σ_N com o logaritmo do tamanho da estrutura, encontra-se uma reta de declive igual a $-1/2$. Nas estruturas analisadas em laboratório, as retas provenientes da fratura mecânica e da deformação elástica se distinguem bem, apresentando uma transição clara de fratura não linear, de acordo com a Figura 06 a seguir. Contudo, extrapolando para estruturas de grande porte, a

taxa de inclinação da reta na transição é menor, promovendo uma inclinação menor para a fratura linear mecânica (BAZANT, 1983; WALSH, 1979).

Ou seja, o tamanho da estrutura é o problema central na previsão das fissuras, pois o comportamento da propagação das fissuras em pequenas vigas é diferente quando comparados em estruturas maiores. Apesar disso, métodos foram desenvolvidos para se poder realizar a migração entre os resultados sem que ocorra erros matemáticos e físicos no sistema estrutural e nas previsões matemáticas, como por exemplo o Efeito Tamanho de Estruturas. (BAZANT, 1983; WALSH, 1979).

Figura 06 – Gráfico do efeito de falha de uma estrutura



Fonte: BAZANT (1983) - Adaptado

Observa-se na Figura 06 que existe uma transição entre a região de ruptura elástica (ou plástica, dependerá do material) para a fratura mecânica linear. A fratura mecânica não linear ocorre devido a heterogeneidade do material, fazendo que ocorra essa transição de forma longa na região adjacente à fissura. Esta zona é manifesta por conta da microfissuração progressiva do material, através do “amaciamento” das tensões, além de ser influenciada por conta do tamanho do agregado, já que as microfissuras percorrem as regiões de menores tensões (que se localiza nas proximidades do contato pasta de cimento - agregado), unindo-se e criando um nódulo, como foi apresentada na Figura 05. Além disso, este estado de microfissuração ocasiona uma expansão volumétrica nos estágios próximo à ruptura (BAZANT, 1983; PROENÇA, 1988).

Com isso, deve-se compreender que a análise de estruturas de grande porte é muito mais complexa que as de pequeno porte, já que se for plotado um gráfico tensão normal N pelo logaritmo neperiano do tamanho da estrutura, conforme apresentado na Figura 05, observa-se uma variação suave da mecânica linear para a não linear. Assim, estruturas menores, cujas são ensaiadas em laboratórios, fornecem valores mais consistentes e uma variação mais nítida.

Nesta propagação da fissura, utiliza-se o conceito de energia de fratura na fissura, onde considera-se um decaimento das tensões à medida que a microfissuração se propaga, ao contrário de pressupor que as tensões caem a zero no momento da fissura (BAZANT, 1983).

Para a realização da análise quanto à resistência do concreto armado, considera-se um material homogêneo, onde é realizada de forma clara a distinção entre microtensões, microdeformações e microfissurações. Isso é feito simplesmente para facilitar a análise, já que na teoria dos materiais não homogêneos, as tensões e deformações contínuas são calculadas a partir da média de micro tensões e micro deformações.

É válido ressaltar que vários fatores acabam influenciando o desenvolvimento das microfissuras na seção, já que as diferentes características dos agregados e da pasta de cimento, textura dos agregados, índice de vazios, relação água – aglomerante influenciam na mecânica global da estrutura, além de definir a baixa resistência à tração do concreto (PROENÇA, 1988).

A propagação da fissura dentro do concreto depende fundamentalmente do fluxo de energia ao qual está submetida, sendo este fluxo uma característica global da estrutura. Contudo, esta só ocorre quando uma fissura é inicializada (BAZANT, 1983; BAZANT *et al* 1983).

Todavia, deve-se ter conhecimento que a propagação da fissura na massa de concreto puro é diferente de sua propagação no concreto armado. Isso porque o fenômeno da aderência entre a pasta de cimento e o aço faz com que o concreto entre fissura ainda tenha capacidade de absorver a energia proveniente da solicitação imposta na estrutura (PROENÇA, 1988).

Para verificar o processo de fissuração, considera-se o concreto como um material elástico e isotrópico caracterizado pelo módulo de elasticidade E_c (ou módulo de Young) e o coeficiente de Poisson ν , além de pressupor um sistema que

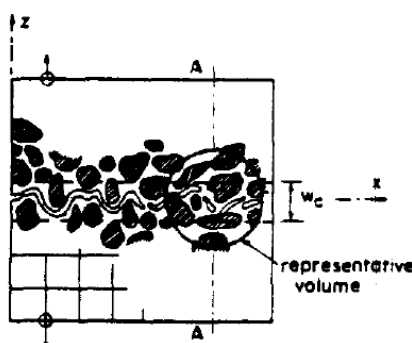
constitui os materiais do concreto denso e uniformemente distribuídos. Não tão apenas, a análise é realizada com base nas três direções vetoriais principais (x, y, z), onde baseia-se no princípio da deformação dos materiais, ou seja, quando um infinitesimal da estrutura sofre alguma solicitação, a direção principal que atuante a solicitação corresponderá a tais princípios, enquanto as outras direções atuarão os princípios da conservação do volume, de acordo com Poisson (BAZANT, 1983).

De forma complementar, é considerado que as microfissuras são uniformemente distribuídas com relação ao eixo z , desenvolvendo-se no material enquanto a tensão é mantida constante, ocasionando um aumento de tensões de σ_z , enquanto a variação pelo efeito de deformações em σ_x e σ_y é nulo (BAZANT, 1983). Aqui, trabalha-se com os três eixos cartesianos principais (x, y, z), assumindo que $(\sigma_x, \sigma_y, \sigma_z)$ correspondem as tensões principais e $(\varepsilon_x, \varepsilon_y, \varepsilon_z)$ as deformações principais. Como afirmado por BAZANT (1982), tem-se:

$$\begin{Bmatrix} \varepsilon_x \\ \varepsilon_y \\ \varepsilon_z \end{Bmatrix} = \frac{1}{E_c} \begin{bmatrix} 1 & -\nu & -\nu \\ -\nu & 1 & -\nu \\ -\nu & -\nu & 1 \end{bmatrix} \begin{Bmatrix} \sigma_x \\ \sigma_y \\ \sigma_z \end{Bmatrix} + \begin{Bmatrix} 0 \\ 0 \\ \varepsilon_f \end{Bmatrix} \quad (6)$$

Onde ε_f corresponde à deformação adicional devida à abertura de fissuras. Para uma deflexão total aplicada δ , existe uma largura de região fissurada w_c , conforme apresentada na Figura 07 a seguir:

Figura 07 – Região de largura w_c fissurada

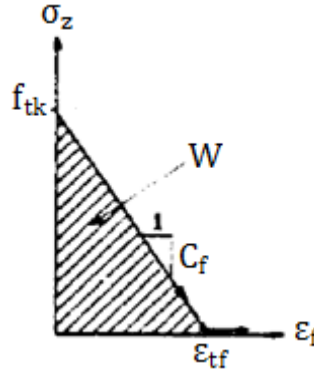


Fonte: BAZANT (1983)

Esta relação da matriz de conformidade com a região de abertura de fissura possibilita determinar uma relação direta entre o módulo de elasticidade e o módulo tangente do concreto, que é de suma importância para a determinação do momento máximo resistente de uma viga de concreto armado.

Observa-se a seguir, na Figura 08, parte do diagrama correspondente à tração do concreto:

Figura 08 – Região de descensão da reta de tensão de tração do concreto



Fonte: BAZANT (1983) - Adaptado

Para o diagrama em questão, a equação da reta é composta pelas coordenadas conhecidas: $(0; f_{tk})$ e $(\varepsilon_{tf}; 0)$.

Substituindo estas coordenadas na equação geral da reta $y = ax + b$, encontra-se como coeficientes angular e linear, respectivamente:

$$a = -\frac{f_{tk}}{\varepsilon_{tf}} \quad e \quad b = f_{tk}$$

Nisso, é possível escrever uma relação entre a tensão e a deformação, de acordo com o diagrama:

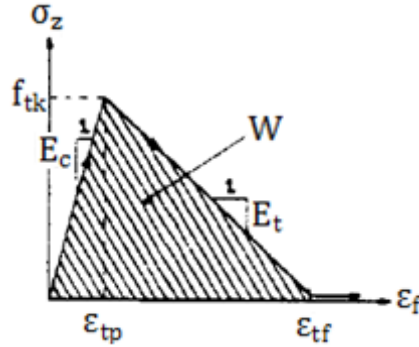
$$\begin{aligned} \sigma_z(\varepsilon_f) &= -\frac{f_{tk}}{\varepsilon_{tf}} \varepsilon_f + f_{tk} \\ \sigma_z(\varepsilon_f) &= f_{tk} \left(\frac{-\varepsilon_f + \varepsilon_{tf}}{\varepsilon_{tf}} \right) \end{aligned} \quad (7)$$

Considerando que $C_f = \frac{f_{tk}}{\varepsilon_{tf}}$, logo:

$$\begin{aligned} \sigma_z(\varepsilon_f) &= -C_f \cdot \varepsilon_f + f_{tk} \\ C_f \cdot \varepsilon_f &= f_{tk} - \sigma_z \\ \varepsilon_f &= \frac{1}{C_f} (f_{tk} - \sigma_z) \end{aligned} \quad (8)$$

De acordo com o diagrama de tração a seguir (Figura 09), determina-se o coeficiente angular de ambas as retas, que corresponde à Lei de Hooke aplicada.

Figura 09 – Diagrama de tensão de tração do concreto



Fonte: BAZANT (1983) - Adaptado

$$E_c = \frac{f_{tk}}{\epsilon_{tp}} \quad (9)$$

$$E_t = \frac{f_{tk}}{-\epsilon_{tf} + \epsilon_{tp}} \quad (10)$$

Onde ϵ_{tf} , apresentada anteriormente na Figura 09, representa a deformação correspondente à tensão nula, ou seja, à tensão final de “amolecimento”, onde as microfissuras em uma fenda contínua, na qual σ_z torna-se zero.

Observando que existe um termo em comum as equações (9) e (10), que é a tensão de tração, pode-se determinar uma relação entre essas duas equações:

$$\begin{aligned} E_c \epsilon_{tp} &= E_t (-\epsilon_{tf} + \epsilon_{tp}) \\ E_c \epsilon_{tp} - E_t \epsilon_{tp} &= -E_t \epsilon_{tf} \\ \epsilon_{tp} (E_c - E_t) &= -E_t \epsilon_{tf} \\ \epsilon_{tp} &= \frac{E_t \epsilon_{tf}}{E_t - E_c} \end{aligned} \quad (11)$$

Sabendo que $f_{tk} = \epsilon_{tp} \cdot E_c$, aplicando na equação (8), tem-se:

$$\epsilon_f = \frac{1}{C_f} (\epsilon_{tp} \cdot E_c - \sigma_z) \quad (12)$$

Desta forma, pela equação (7) e aplicando na equação (12) tem-se:

$$\begin{aligned} \epsilon_f &= \frac{1}{C_f} \left[\epsilon_{tp} \cdot E_c - f_{tk} \left(\frac{-\epsilon_f + \epsilon_{tf}}{\epsilon_{tf}} \right) \right] \\ \epsilon_f &= \frac{1}{C_f} \left[\epsilon_{tp} \cdot E_c - \epsilon_{tp} \cdot E_c \left(\frac{-\epsilon_f + \epsilon_{tf}}{\epsilon_{tf}} \right) \right] \\ \epsilon_f &= \frac{\epsilon_{tp} \cdot E_c}{C_f} \left[1 - \left(\frac{-\epsilon_f + \epsilon_{tf}}{\epsilon_{tf}} \right) \right] \end{aligned}$$

$$\begin{aligned}\varepsilon_f &= \frac{\varepsilon_{tp} \cdot E_c \cdot \varepsilon_f}{C_f \cdot \varepsilon_{tf}} \\ 1 &= \frac{\varepsilon_{tp} \cdot E_c}{C_f \cdot \varepsilon_{tf}}\end{aligned}\quad (13)$$

Aplicando a equação (11) em (13), obtêm-se:

$$\begin{aligned}\frac{1}{E_c} &= \frac{1}{C_f} \cdot \frac{E_t \varepsilon_{tf}}{E_t - E_c} \\ \frac{1}{E_c} &= \frac{1}{C_f} \cdot \frac{E_t}{E_t - E_c} \\ \frac{E_t - E_c}{E_c \cdot E_t} &= \frac{1}{C_f} \\ \frac{E_t}{E_c \cdot E_t} - \frac{E}{E_c \cdot E_t} &= \frac{1}{C_f} \\ \frac{1}{E_c} - \frac{1}{E_t} &= \frac{1}{C_f} \\ \frac{1}{E_t} &= \frac{1}{E_c} - \frac{1}{C_f}\end{aligned}\quad (14)$$

Com isso, desenvolvendo a equação (6) e utilizando a expressão (11) e (14) tem-se:

$$\begin{aligned}\begin{Bmatrix} \varepsilon_x \\ \varepsilon_y \\ \varepsilon_z \end{Bmatrix} &= \begin{bmatrix} E_c^{-1} & -\nu E_c^{-1} & -\nu E_c^{-1} \\ -\nu E_c^{-1} & E_c^{-1} & -\nu E_c^{-1} \\ -\nu E_c^{-1} & -\nu E_c^{-1} & E_c^{-1} \end{bmatrix} \begin{Bmatrix} \sigma_x \\ \sigma_y \\ \sigma_z \end{Bmatrix} + \begin{bmatrix} 0 \\ 0 \\ \varepsilon_f \end{bmatrix} \\ \begin{Bmatrix} \varepsilon_x \\ \varepsilon_y \\ \varepsilon_z \end{Bmatrix} &= \begin{bmatrix} E_c^{-1} & -\nu E_c^{-1} & -\nu E_c^{-1} \\ -\nu E_c^{-1} & E_c^{-1} & -\nu E_c^{-1} \\ -\nu E_c^{-1} & -\nu E_c^{-1} & E_t^{-1} + C_f^{-1} \end{bmatrix} \begin{Bmatrix} \sigma_x \\ \sigma_y \\ \sigma_z \end{Bmatrix} + \begin{bmatrix} 0 \\ 0 \\ C_f^{-1}(f_{tk} - \sigma_z) \end{bmatrix} \\ \begin{Bmatrix} \varepsilon_x \\ \varepsilon_y \\ \varepsilon_z \end{Bmatrix} &= \begin{bmatrix} E_c^{-1} & -\nu E_c^{-1} & -\nu E_c^{-1} \\ -\nu E_c^{-1} & E_c^{-1} & -\nu E_c^{-1} \\ -\nu E_c^{-1} & -\nu E_c^{-1} & E_t^{-1} + C_f^{-1} - C_f^{-1} \end{bmatrix} \begin{Bmatrix} \sigma_x \\ \sigma_y \\ \sigma_z \end{Bmatrix} + \begin{bmatrix} 0 \\ 0 \\ C_f^{-1} f_{tk} \end{bmatrix} \\ \begin{Bmatrix} \varepsilon_x \\ \varepsilon_y \\ \varepsilon_z \end{Bmatrix} &= \begin{bmatrix} E_c^{-1} & -\nu E_c^{-1} & -\nu E_c^{-1} \\ -\nu E_c^{-1} & E_c^{-1} & -\nu E_c^{-1} \\ -\nu E_c^{-1} & -\nu E_c^{-1} & E_t^{-1} \end{bmatrix} \begin{Bmatrix} \sigma_x \\ \sigma_y \\ \sigma_z \end{Bmatrix} + \begin{bmatrix} 0 \\ 0 \\ \varepsilon_{tf} \end{bmatrix}\end{aligned}\quad (15)$$

É interessante notar na equação (15) a independência das microfissurações com relação ao efeito do coeficiente de Poisson ao se analisar os elementos fora da diagonal principal da matriz de conformidade. (BAZANT, 1983)

Desta forma, determinou-se a relação entre o módulo de Young e o módulo de elasticidade tangente do concreto, ambos no eixo principal z.

Caso uma análise seja feita para um plano de tensões nos eixos x e z, o sistema reduz-se a:

$$\begin{Bmatrix} \varepsilon_x \\ \varepsilon_z \end{Bmatrix} = \begin{bmatrix} E_c^{-1} & -\nu E_c^{-1} \\ -\nu E_c^{-1} & E_t^{-1} \end{bmatrix} \begin{Bmatrix} \sigma_x \\ \sigma_z \end{Bmatrix} + \begin{bmatrix} 0 \\ \varepsilon_{tf} \end{bmatrix} \quad (16)$$

Como é necessário encontrar uma relação da tensão em função da deformação, da equação (16) pode-se escrever:

$$\begin{Bmatrix} \sigma_x \\ \sigma_z \end{Bmatrix} = E_c \begin{Bmatrix} \varepsilon_x \\ \varepsilon_z - \varepsilon_{tf} \end{Bmatrix} \begin{bmatrix} 1 & -\nu \\ -\nu & E_c \cdot E_t^{-1} \end{bmatrix}^{-1}$$

Resolvendo a inversa da matriz indicada acima, tem-se a seguinte expressão:

$$\begin{aligned} \begin{Bmatrix} \sigma_x \\ \sigma_z \end{Bmatrix} &= E_c \begin{Bmatrix} \varepsilon_x \\ \varepsilon_z - \varepsilon_{tf} \end{Bmatrix} \begin{bmatrix} \frac{E_c}{E_c - \nu^2 E_t} & \frac{\nu E_t}{E_c - \nu^2 E_t} \\ \frac{\nu E_t}{E_c - \nu^2 E_t} & \frac{E_t}{E_c - \nu^2 E_t} \end{bmatrix} \\ \begin{Bmatrix} \sigma_x \\ \sigma_z \end{Bmatrix} &= \frac{E_c}{E_c - \nu^2 E_t} \begin{bmatrix} E_c & \nu E_t \\ \nu E_t & E_t \end{bmatrix} \begin{Bmatrix} \varepsilon_x \\ \varepsilon_z - \varepsilon_{tf} \end{Bmatrix} \\ \begin{Bmatrix} \sigma_x \\ \sigma_z \end{Bmatrix} &= \frac{E_c \cdot E_t}{E_c - \nu^2 E_t} \begin{bmatrix} E_c/E_t & \nu \\ \nu & 1 \end{bmatrix} \begin{Bmatrix} \varepsilon_x \\ \varepsilon_z - \varepsilon_{tf} \end{Bmatrix} \end{aligned} \quad (17)$$

Considera-se a seguinte expressão:

$$E'_t = \frac{E_c \cdot E_t}{E_c - \nu^2 E_t} \quad (18)$$

Desenvolvendo a equação (18) tem-se:

$$\begin{aligned} \frac{1}{E'_t} &= \frac{E_c - \nu^2 E_t}{E_c \cdot E_t} \\ \frac{1}{E'_t} &= \frac{E_c}{E_c \cdot E_t} - \frac{\nu^2 E_t}{E_c \cdot E_t} \\ \frac{1}{E'_t} &= \frac{1}{E_t} - \frac{\nu^2}{E_c} \end{aligned} \quad (19)$$

Substituindo a equação (14) na expressão acima:

$$\begin{aligned}\frac{1}{E'_t} &= \left(\frac{1}{E_c} - \frac{1}{C_f} \right) - \frac{\nu^2}{E_c} \\ \frac{1}{E'_t} &= \frac{C_f - E_c}{E_c C_f} - \frac{\nu^2}{E_c} \\ \frac{1}{E'_t} &= \frac{C_f - E_c - \nu^2 C_f}{E_c C_f} \\ \frac{1}{E'_t} &= \frac{C_f(1 - \nu^2) - E_c}{E_c C_f} \\ \frac{1}{E'_t} &= \frac{C_f(1 - \nu^2)}{E_c C_f} - \frac{E_c}{E_c C_f} \\ \frac{1}{E'_t} &= \frac{(1 - \nu^2)}{E_c} - \frac{1}{C_f}\end{aligned}$$

Considerando-se a expressão:

$$\begin{aligned}\frac{1}{E'_c} &= \frac{(1 - \nu^2)}{E_c} \\ E'_c &= \frac{E_c}{(1 - \nu^2)}\end{aligned}\tag{20}$$

Substituindo a equação (19) utilizada por BAZANT (1983) na expressão acima (20), determina-se:

$$\frac{1}{E'_t} = \frac{1}{E'_c} - \frac{1}{C_f}\tag{21}$$

As expressões (18), (20) e (21) são abordadas por BAZANT (1983) para desenvolver a equação (17). Com isso:

$$\begin{aligned}\begin{Bmatrix} \sigma_x \\ \sigma_z \end{Bmatrix} &= E'_t \begin{bmatrix} E_c/E_t & \nu \\ \nu & 1 \end{bmatrix} \begin{Bmatrix} \varepsilon_x \\ \varepsilon_z - \varepsilon_{tf} \end{Bmatrix} \\ \begin{Bmatrix} \sigma_x \\ \sigma_z \end{Bmatrix} &= \begin{bmatrix} E_c E'_t/E_t & \nu E'_t \\ \nu E'_t & E'_t \end{bmatrix} \begin{Bmatrix} \varepsilon_x \\ \varepsilon_z - \varepsilon_{tf} \end{Bmatrix}\end{aligned}\tag{22}$$

Com base na equação (19), a expressão $E_c E'_t / E_t$ pode ser escrita como:

$$\frac{E_c E'_t}{E_t} = E_c E'_t \left(\frac{1}{E'_t} + \frac{\nu^2}{E_c} \right)$$

$$\frac{E_c E'_t}{E_t} = \frac{E_c E'_t}{E'_t} + \frac{E_c E'_t \nu^2}{E_c}$$

$$\frac{E_c E'_t}{E_t} = E_c + E'_t \nu^2$$

Desta forma, com a expressão encontrada acima, substituindo na equação (22) tem-se:

$$\begin{Bmatrix} \sigma_x \\ \sigma_z \end{Bmatrix} = \begin{bmatrix} E_c + E'_t \nu^2 & \nu E'_t \\ \nu E'_t & E'_t \end{bmatrix} \begin{Bmatrix} \varepsilon_x \\ \varepsilon_z - \varepsilon_{tf} \end{Bmatrix} \quad (23)$$

As expressões (6) e (23) correspondem ao concreto como um material homogêneo e uniformemente distribuído, onde as tensões aplicadas são as mesmas nas três direções principais, no caso da equação (6) e um plano de tensões com relação à equação (23).

Contudo, a análise com relação a um material elástico anisotrópico deve ser realizada.

Para este caso, o concreto sem fissuras é caracterizado pela relação $[\varepsilon] = [C] \times [\sigma]$, que corresponde à matriz constitutiva do material, ou seja, uma formulação da matriz de rigidez. Com isso, como as tensões principais e as direções das mesmas coincidam, a expressão geral para o concreto ainda não fissurado é:

$$\begin{Bmatrix} \varepsilon_x \\ \varepsilon_y \\ \varepsilon_z \end{Bmatrix} = \begin{bmatrix} C_{11} & C_{12} & C_{13} \\ C_{21} & C_{22} & C_{23} \\ C_{31} & C_{13} & C_{33} \mu^{-1} \end{bmatrix} \begin{Bmatrix} \sigma_x \\ \sigma_y \\ \sigma_z \end{Bmatrix} \quad (24)$$

Onde a matriz $[C]$ corresponde a uma conformidade do concreto antes da fissuração e μ a um parâmetro de fissura que depende da tensão e da deformação do concreto, podendo variar $0 < \mu < 1$. Quando $\mu = 1$, simboliza que o concreto não está fissurado. O outro valor extremo significa que a seção está completamente fissurada. (BAZANT, 1982)

Para que as equações (15) e (24) sejam equivalentes, desenvolvendo as expressões, é necessário que:

$$\begin{Bmatrix} \varepsilon_x \\ \varepsilon_y \\ \varepsilon_z \end{Bmatrix} = \begin{Bmatrix} C_{11}\sigma_x + C_{12}\sigma_y + C_{13}\sigma_z \\ C_{21}\sigma_x + C_{22}\sigma_y + C_{23}\sigma_z \\ C_{31}\sigma_x + C_{13}\sigma_y + C_{33}\mu^{-1}\sigma_z \end{Bmatrix} = \begin{Bmatrix} E_c^{-1}\sigma_x - \nu E_c^{-1}\sigma_y - \nu E_c^{-1}\sigma_z \\ -\nu E_c^{-1}\sigma_x + E_c^{-1}\sigma_y - \nu E_c^{-1}\sigma_z \\ -\nu E_c^{-1}\sigma_x - \nu E_c^{-1}\sigma_y + E_t^{-1}\sigma_z + \varepsilon_{tf} \end{Bmatrix}$$

Ou seja, além dos coeficientes C_{ij} da equação (15) serem os da equação (24), a coordenada (3;1) de ambas as matrizes devem ser equivalentes. Para isso, tem-se:

$$\begin{aligned} C_{31}\sigma_x + C_{13}\sigma_y + C_{33}\mu^{-1}\sigma_z &= -\nu E_c^{-1}\sigma_x - \nu E_c^{-1}\sigma_y + E_t^{-1}\sigma_z + \varepsilon_{tf} \\ \varepsilon_z &= C_{33}\mu^{-1}\sigma_z = E_t^{-1}\sigma_z + \varepsilon_{tf} \end{aligned} \quad (25)$$

Sendo a expressão (25) a determinada por BAZANT (1983) e ainda fazendo a consideração de $C_{33} = E_c^{-1}$, tem-se:

$$\begin{aligned} E_c^{-1}\mu^{-1}\sigma_z &= E_t^{-1}\sigma_z + \varepsilon_{tf} \\ E_c^{-1}\mu^{-1} &= E_t^{-1} + \frac{\varepsilon_{tf}}{\sigma_z} \\ \frac{1}{\mu} &= E_c \left(E_t^{-1} + \frac{\varepsilon_{tf}}{\sigma_z} \right) \end{aligned} \quad (26)$$

De acordo com a equação (25), tem-se:

$$\begin{aligned} \varepsilon_z &= E_t^{-1}\sigma_z + \varepsilon_{tf} \\ \sigma_z &= E_t(\varepsilon_z - \varepsilon_{tf}) \end{aligned} \quad (27)$$

Substituindo a equação (27) na (26), tem-se:

$$\begin{aligned} \frac{1}{\mu} &= E_c \left(E_t^{-1} + \frac{\varepsilon_{tf}}{E_t(\varepsilon_z - \varepsilon_{tf})} \right) \\ \frac{1}{\mu} &= E_c \left(\frac{\varepsilon_{tf} + (\varepsilon_z - \varepsilon_{tf})}{E_t(\varepsilon_z - \varepsilon_{tf})} \right) \\ \frac{1}{\mu} &= E_c \left(\frac{\varepsilon_z}{E_t(\varepsilon_z - \varepsilon_{tf})} \right) \\ \frac{1}{\mu} &= -\frac{E_c}{E_t} \cdot \frac{\varepsilon_z}{\varepsilon_{tf} - \varepsilon_z} \end{aligned}$$

Com isso, pode-se afirmar que:

$$\frac{1}{\mu} = E_c \left(E_t^{-1} + \frac{\varepsilon_{tf}}{\sigma_z} \right) = -\frac{E_c}{E_t} \cdot \frac{\varepsilon_z}{\varepsilon_{tf} - \varepsilon_z} \quad (28)$$

Neste caso, considerando-se as equações (8) e (14) aplicadas na expressão (28), é possível determinar o valor de μ para quando o material concreto não possui nenhuma fissura. Desta forma, tem-se:

$$\varepsilon_f = \frac{1}{C_f} (f_{tk} - \sigma_z)$$

Para $\sigma_z = 0 \leftrightarrow \varepsilon_f = \varepsilon_{tf}$, desta forma, pode-se escrever a expressão como sendo:

$$\sigma_z = f_{tk} = \varepsilon_{tf} C_f$$

Com isso, para um material sem fissuras, tem-se o valor de μ como:

$$\frac{1}{\mu} = E_c \left(E_t^{-1} + \frac{\varepsilon_{tf}}{\sigma_z} \right)$$

$$\frac{1}{\mu} = E_c \left(E_t^{-1} + \frac{\varepsilon_{tf}}{\varepsilon_{tf} C_f} \right)$$

$$\frac{1}{\mu} = E_c \left(E_t^{-1} + \frac{1}{C_f} \right)$$

$$\mu = 1$$

Ou seja, μ está compreendido entre 0 e 1, onde 0 corresponde a um material totalmente fissurado e 1 ao material sem fissuras.

As análises aqui realizadas possuem a influência do parâmetro μ , que representa a taxa na qual a peça está fissurada. Este parâmetro, como se pode observar na equação (24), está relacionado somente ao termo C_{33} , o qual está diretamente relacionado somente com σ_z , sob a hipótese de que as fissuras dão-se somente na região normal ao eixo z.

Esse tratamento é feito por causa da redução da rigidez da peça, que provoca a propagação das fissuras. Além disso, foi considerado que o concreto corresponde a um material anisotrópico. (BAZANT, 1982; BAZANT 1983)

$$[C] = \frac{1}{E_c} \begin{bmatrix} 1 & -\nu & -\nu \\ -\nu & 1 & -\nu \\ -\nu & -\nu & \mu^{-1} \end{bmatrix} \quad (29)$$

Ou seja, a matriz $[C]$ representando a conformidade inicial do concreto, antes da fissuração, apresentada na equação (24) assemelhando-se à matriz (15) de conformidade do concreto. Contudo, para esta matriz $[C]$ é analisada a abertura da fissura ao longo do eixo cartesiano z.

Com isso, para se determinar a matriz conformidade do concreto para quando a seção se encontra totalmente fissurada, baseando-se na expressão (29) e substituindo na equação (24), pode-se escrever:

$$[\varepsilon] = [C].[\sigma]$$

$$\begin{Bmatrix} \varepsilon_x \\ \varepsilon_y \\ \varepsilon_z \end{Bmatrix} = \frac{1}{E_c} \begin{bmatrix} 1 & -\nu & -\nu \\ -\nu & 1 & -\nu \\ -\nu & -\nu & \mu^{-1} \end{bmatrix} \begin{Bmatrix} \sigma_x \\ \sigma_y \\ \sigma_z \end{Bmatrix} \quad (30)$$

A atuação do parâmetro μ só é considerável para a relação entre σ_z e ε_z . Já para σ_x e σ_y a influência é tão pequena que torna-se insignificante. Desta forma, como considerou-se que a abertura da fissura e suas tensões são geradas ao longo do eixo z , gera uma correção do parâmetro C_{33} da matriz constitutiva, onde só neste está presente o coeficiente μ .

Para análise de cargas, é necessária uma relação de tensão – deformação incremental, ou seja, a curva do diagrama é verificada de forma linear por partes, através do método da diferenciação, apresentado nas equações (15) e (23). Para o caso deste trabalho em específico, a verificação compreende somente o comportamento de flexão da viga e modo I de fratura, desconsiderando qualquer efeito de cisalhamento. (BAZANT 1983).

Vale ressaltar que quando a aplicação da carga não se torna proporcional pode ocasionar surgimento de outros tipos de fissuras localizadas em regiões entre fissuras primárias. Com isso, as dimensões da matriz de conformidade ampliam para 6x6. (BAZANT, 1982; BAZANT 1983)

1.3. Energia de fissuração do concreto

A aplicação da carga sobre o sistema estrutural gera trabalho. Sabendo que, de acordo com o teorema do trabalho:

$$W = \Delta E$$

Ou seja, o trabalho W gera variação de energia ΔE . A energia que ocasiona as fissuras é chamada de *energia de fratura*, e esta é consumida durante a formação das fissuras por unidade de área (x, y), conforme analisado por BAZANT (1982):

$$\mathcal{G}_f = w_c \int_{\sigma_z = f_{tk}}^0 \sigma_z d\varepsilon_f \quad (31)$$

Retomando à Figura 07, é válido ressaltar que a energia de fratura aqui calculada está considerando que as fissuras que se encontram na largura efetiva w_c estão disposta uniformemente, onde este parâmetro é determinado experimentalmente (BAZANT, 1982; BAZANT, 1985).

Com isso, de acordo com a equação (8) e sabendo que $C_f = \frac{\sigma_z}{\varepsilon_{tf}}$, tem-se:

$$\begin{aligned} \sigma_z &= C_f \varepsilon_{tf} \\ \varepsilon_f &= \frac{1}{C_f} (f_{tk} - C_f \varepsilon_{tf}) \\ d\varepsilon_f &= -d\varepsilon_{tf} \end{aligned}$$

Desta forma, substituindo na equação (31), tem-se:

$$\begin{aligned} \mathcal{G}_f &= -w_c \int_{\sigma_z = f_{tk}}^0 \sigma_z d\varepsilon_{tf} \\ \mathcal{G}_f &= w_c \int_0^{f_{tk}} C_f \varepsilon_{tf} d\varepsilon_{tf} \\ \mathcal{G}_f &= -w_c \left(\frac{C_f \varepsilon_{tf}^2}{2} \right) \Big|_0^{f_{tk}} \\ \mathcal{G}_f &= w_c \frac{f_{tk}^2}{2C_f} \end{aligned} \quad (32)$$

Sendo $C_f = \frac{f_{tk}}{\varepsilon_{tf}}$, substituindo na equação (32), tem-se:

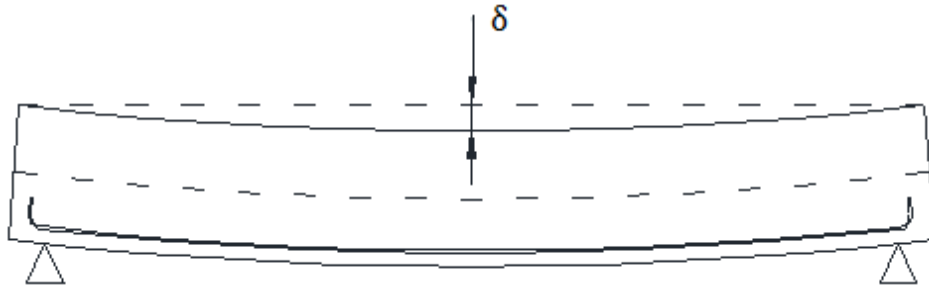
$$\begin{aligned} \mathcal{G}_f &= w_c \frac{f_{tk}^2}{2 \left(\frac{f_{tk}}{\varepsilon_{tf}} \right)} \\ \mathcal{G}_f &= w_c \frac{C_f \varepsilon_{tf}}{2 f_{tk}} \end{aligned} \quad (33)$$

Onde w_c corresponde à largura efetiva da zona do processo de fissura.

O que pode ser comprovado é que a zona de fissura é o resultado da materialização da energia gerada pela aplicação de uma força na estrutura, força esta que gera o *trabalho* W .

Para este *trabalho* W , é necessário que seja aplicado uma quantidade de carga e que esta gere um deslocamento δ , ou seja:

Figura 10 – Esquema de deflexão em viga isostática de concreto armado



Fonte: O autor

Além disso, a equação (32) pode ser escrita em função da área abaixo do diagrama da Figura 08, ou seja, o *trabalho* necessário para iniciar o processo de fissuras corresponde à integral da função tensão aplicada na seção da peça estrutural.

Vinculando a equação (14) com a (32), pode-se determinar uma expressão que relaciona diretamente os módulos de elasticidade e de tangente do concreto com a energia de fissuração:

$$\begin{aligned}\frac{1}{E_t} &= \frac{1}{E_c} - \frac{1}{w_c \frac{f_{tk}^2}{2G_f}} \\ \frac{2G_f}{w_c f_{tk}^2} &= \frac{1}{E_c} - \frac{1}{E_t} \\ G_f &= \frac{1}{2} \left(\frac{1}{E_c} - \frac{1}{E_t} \right) w_c f_{tk}^2\end{aligned}\quad (34)$$

Utilizando a equação (25), é necessário determinar o máximo *trabalho*, ou a máxima energia necessária para a viga atingir a sua máxima tensão de tração, de acordo com o diagrama da Figura 09. Com isso, aplicando na equação (25) a seguinte consideração e com a consideração $\sigma_z = f_{tk}$, pode-se determinar, então, a energia necessária para a formação das fissuras:

$$\begin{aligned}\varepsilon_z &= E_t^{-1} \sigma_z + \varepsilon_{tf} \\ \varepsilon_z &= E_t^{-1} f_{tk} + \varepsilon_{tf}\end{aligned}\quad (35)$$

Substituindo a equação (35) na (34), tem-se:

$$G_f = \frac{1}{2} \left[\frac{f_{tk}^2}{E_c} + f_{tk}(\varepsilon_{tf} - \varepsilon_z) \right] w_c \quad (36)$$

A equação acima descrita ainda pode ser desenvolvida. Sabendo-se que o princípio da equação (14) ainda é conservado para todas as aplicações e que $C_f = \frac{\sigma_f}{\varepsilon_{tf}}$, é possível determinar a área sob a curva descrita na Figura 09. Assim, tem-se:

$$\begin{aligned} \frac{\varepsilon_z - \varepsilon_{tf}}{f_{tk}} &= \frac{1}{E_c} - \frac{1}{C_f} \\ \frac{\varepsilon_z - \varepsilon_{tf}}{f_{tk}} &= \frac{1}{E_c} - \frac{\varepsilon_{tf}}{f_{tk}} \\ \frac{1}{E_c} &= \frac{\varepsilon_z}{f_{tk}} \end{aligned}$$

Com isso, aplicando a expressão acima na equação (36), determina-se a energia G_f consumida na formação das fissuras:

$$\begin{aligned} G_f &= \frac{1}{2} \left[f_{tk}^2 \frac{\varepsilon_z}{f_{tk}} + f_{tk}(\varepsilon_{tf} - \varepsilon_z) \right] w_c \\ G_f &= \frac{1}{2} [f_{tk} \varepsilon_z + f_{tk}(\varepsilon_{tf} - \varepsilon_z)] w_c \end{aligned} \quad (37)$$

Onde:

$$W = \int \sigma_z d\varepsilon_z = \frac{1}{2} (f_{tk} \varepsilon_z + f_{tk}(\varepsilon_{tf} - \varepsilon_z)) \quad (38)$$

Contudo, esta conclusão só poderá ser assumida como verdade se, e somente se, a propagação das fissuras não for acompanhada com uma deformação plástica, isto é, como o concreto é um material frágil, a deformação deve ser considerada elástica.

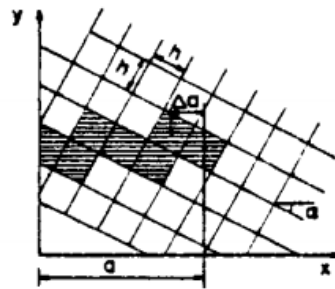
Assim sendo, a largura da região fissurada, conforme apresentado por BAZANT (1985), baseando-se nas equações (14) e (32), vale:

$$\begin{aligned} w_c &= \frac{2C_f G_f}{f_{tk}^2} \\ w_c &= \frac{2 G_f}{f_{tk}^2} \left(\frac{1}{E_c} - \frac{1}{E_t} \right)^{-1} \end{aligned} \quad (39)$$

Nota-se que os módulos de elasticidade de Young e tangente do concreto estão diretamente relacionados com a energia de propagação de fissura do mesmo. Esta energia ocasiona uma região de abertura de fissura w_c . Todas estas relações são dependentes da resistência à tração do concreto.

Em casos gerais, onde ocorre a modelagem da propagação da fissura utiliza-se como base a malha apresentada na Figura 11 a seguir:

Figura 11 – Malha utilizada na propagação da fissura



Fonte: BAZANT (1983)

O modelo aqui apresentado contém dois elementos importantes: a energia de fratura e a tensão limite f_{tk} . Vale ressaltar que, paralelamente à tensão limite, tem-se a deformação limite ε_z , a qual é definida como o deslocamento relativo global de $\varepsilon_z w_c$ ao longo da abertura w_c . Isso determina o trabalho da estrutura circundante no processo de fratura, onde não importa a precisão do valor de w_c , desde que a energia da fratura seja preservada.

$$\mathcal{G}_f = h \frac{f_{tk}^2}{2C_f}$$

$$C_f = h \frac{f_{tk}^2}{2\mathcal{G}_f} \quad (40)$$

$$\mathcal{G}_f = w_c \frac{C_f \varepsilon_{tf}}{2f_{tk}}$$

$$\varepsilon_{tf} = \frac{2\mathcal{G}_f f_{tk}}{h C_f} \quad (41)$$

De acordo com os estudos de BAZANT (1983), algumas pesquisas foram realizadas com relação a resistência do concreto, comparando as teorias não linear com a linear. Vários tipos de concretos foram ensaiados pressupondo parâmetros como \mathcal{G}_f , f_{tk} e w_c . Valores testados como geometria da seção, condições de carga e

tamanhos de agregados foram considerados e ensaiados. Para este último, considerados nos ajustes, tamanhos de agregados variados (d_a) levaram a uma relação de w_c entre 1,5 a 4 para vários tipos de concretos ensaiados, levando a conclusão, experimentalmente de que, uma relação ótima entre a abertura de fissura e o diâmetro do agregado seria (BAZANT, 1983; BAZANT, 1985):

$$w_c = 3d_a \quad (42)$$

Os resultados obtidos foram considerados sob deformação uniforme e a distribuição uniforme de microfissuras, sob a suposição de distribuição uniforme de tensões. A largura real w_c da zona de microfissura será um pouco diferente da encontrada analiticamente, já que a densidade da microfissura varia ao longo da mesma zona. No caso de concreto de alta resistência, por exemplo, os materiais devem estar dispostos homogeneamente no espaço, desta forma, a relação w_c/d_a tende a diminuir, o oposto também deve acontecer. (BAZANT, 1983)

A seguir apresenta-se a tabela com algumas séries desenvolvidas por pesquisadores:

Tabela 01 – Dados sobre testes de diferentes tipos de concreto

Test Series	f'_i (psi)	E_c (ksi)	\mathcal{G}_f (lb./in.)	d_a (in.)	w_c (in.)	\mathcal{G}_f^{jn} (lb./in.)	c_f	\mathcal{G}_f (lb./in.)
1. Naus-No. 1	460 *	4,450 *	0.205 *	0.375	1.125 *	0.430 *	7.664 *	0.224 *
2. Naus-No. 2	360 *	4,500 *	0.099 *	0.375	1.125 *	0.249 *	6.111 *	0.113 *
3. Walsh-No. 1	347 *	3,299 *	0.174 *	0.50	1.50 *	0.188 *	6.356 *	0.185 *
4. Walsh-No. 2	430 *	4,083 *	0.188 *	0.50	1.50 *	0.173 *	5.535 *	0.270 *
5. Walsh-No. 3	273 *	2,593 *	0.126 *	0.50	1.50 *	0.158 *	5.845 *	0.123 *
6. Walsh-No. 4	286 *	2,716 *	0.133 *	0.50	1.50 *	0.162 *	5.888 *	0.133 *
7. Walsh-No. 5	495 *	4,697 *	0.224 *	0.50	1.50 *	0.173 *	5.725 *	0.348 *
8. Walsh-No. 6	414 *	3,928 *	0.193 *	0.50	1.50 *	0.176 *	5.897 *	0.253 *
9. Mindess, Lawrence, Kesler	370 *	6,260	0.088 *	0.375	1.125 *	0.170 *	7.154 *	0.087 *
10. Shah, McGarry	300 *	3,000 *	0.108 *	0.375	1.125 *	0.047 *	6.400 *	0.103 *
11. Gjrv, Srensen, Arnesen	300 *	3,000 *	0.108 *	0.375	1.125 *	0.047 *	6.400 *	0.103 *
12. Kaplan	300 *	4,190	0.101	0.50	1.50 *	0.177 *	6.269 *	0.098 *
13. Huang-No. 1	360 *	3,122 *	0.225 *	0.50	1.50 *	0.337 *	7.227 *	0.217 *
14. Huang-No. 2	360 *	3,122 *	0.225 *	0.50	1.50 *	0.245 *	7.227 *	0.217 *
15. Carpinteri-No. 1	313 *	2,700 *	0.207 *	0.375	1.125 *	0.147 *	10.14 *	0.128 *
16. Carpinteri-No. 2	356 *	3,130 *	0.280 *	0.752	2.256 *	0.201 *	6.130 *	0.315 *
17. Hillerborg, Moder, Petersson	400 *	3,300 *	0.100 *	0.157	0.471 *	0.118 *	8.758 *	0.086 *
18. Sok, Baron, Franois	740 *	3,000 *	2.800 *	0.472	1.416 *	2.910 *	21.66 *	1.600 *
19. Brown	690 *	2,200 *	0.182 *	0.047	0.141 *	0.185 *	11.93 *	0.178 *
20. Wecharatana, Shah	740 *	3,000 *	0.855 *	0.250	0.750 *	0.860 *	12.49 *	0.848 *
21. Entov, Yagust-No. 1	450 *	3,000 *	0.746 *	0.787	2.360 *	0.755 *	9.366 *	0.657 *
22. Entov, Yagust-No. 2	440 *	3,000 *	0.640 *	0.787	2.360 *	0.630 *	8.405 *	0.617 *

Note: psi = 6 895 N/m², lb./in. = 175.1 N/m, in. = 25.4 mm, ksi = 1 000 psi.

*asterisk indicates numbers estimated by calculations; without asterisk-as reported.

Fonte: BAZANT (1983)

De acordo com o conjunto de dados pertencentes à tabela acima, pode-se afirmar que o espaço amostral utilizado por BAZANT (1983) para os cálculos da relação f_{tk} com C_f é dado por:

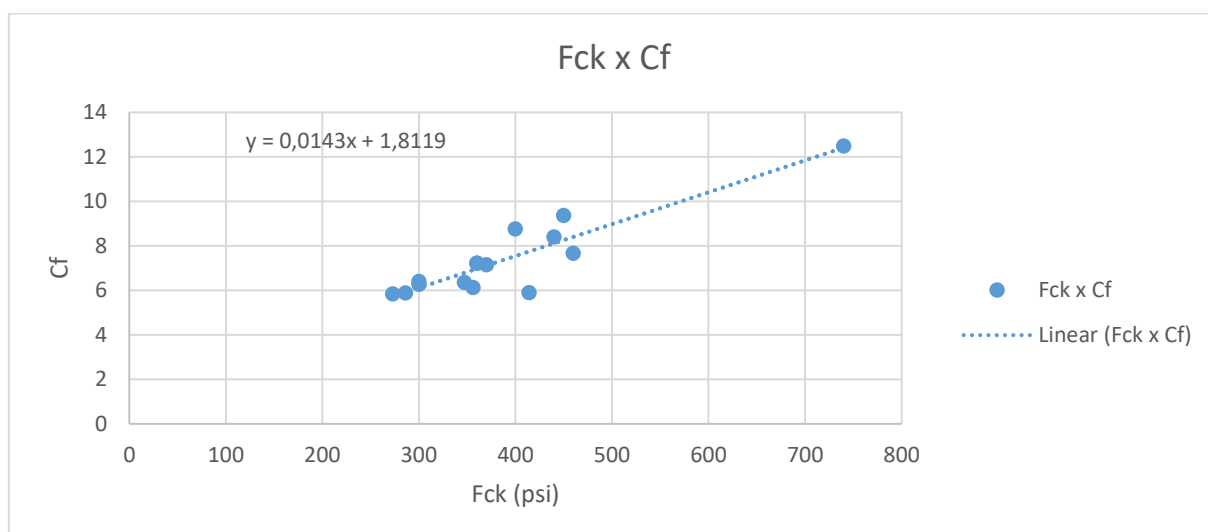
Tabela 02 – Valores a serem considerados na plotagem do gráfico

f_{tk} (psi)	C_f	f_{tk} (psi)	C_f
273	5,845	370	7,154
286	5,888	400	8,758
300	6,4	414	5,897
300	6,269	440	8,405
347	6,356	450	9,366
356	6,13	460	7,664
360	7,227	740	12,49
360	7,227		

Fonte: O autor

Com estes dados extraídos da tabela, é possível determinar a equação da reta que mais se aproxima da amostragem:

Gráfico 01 – Reta gerada a partir dos dados na literatura, com base na resistência e energia de fissuração do concreto



Fonte: O autor

Ou seja,

$$C_f = 1,811 + 0,0143f_{tk} \quad (43)$$

Desta forma, é possível determinar uma relação entre o módulo de elasticidade tangente e a tensão aplicada, com base na equação (43) determinada pela Tabela 02 e das equações (14), (39) e (42), pode-se determinar:

$$w_c = \frac{2 G_f}{f_{tk}^2} \left(\frac{1}{E_c} - \frac{1}{E_t} \right)^{-1}$$

$$G_f = \frac{w_c f_{tk}^2}{2} \left(\frac{1}{E_c} - \frac{1}{E_t} \right) \quad (44)$$

Dada a relação (42) encontrada com base em análise experimental, tem-se:

$$\begin{aligned} G_f &= \frac{3d_a f_{tk}^2}{2} \left(\frac{1}{E_c} - \frac{1}{E_t} \right) \\ G_f &= 1,5d_a f_{tk}^2 \left(\frac{1}{E_c} - \frac{1}{E_t} \right) \end{aligned} \quad (45)$$

Com base na equação (14), tem-se que:

$$\begin{aligned} \frac{1}{E_c} - \frac{1}{E_t} &= \frac{E_t - E_c}{E_c \cdot E_t} = \frac{E_t}{E_c \cdot E_t} - \frac{E_c}{E_c \cdot E_t} \\ \frac{E_t}{E_c \cdot E_t} - \frac{E_c}{E_c \cdot E_t} &= \frac{1}{E_c} \left(\frac{E_t}{E_t} - \frac{E_c}{E_t} \right) \\ \frac{1}{E_c} - \frac{1}{E_t} &= \frac{1}{E_c} \left(1 - \frac{E_c}{E_t} \right) = \frac{1}{E_c} C_f \end{aligned} \quad (46)$$

Aplicando a expressão encontrada em (46) na equação (45), tem-se:

$$G_f = 1,5d_a f_{tk}^2 \frac{1}{E_c} C_f \quad (47)$$

De acordo com a equação da reta encontrada em (43), aplicando em (47) tem-se:

$$\begin{aligned} G_f &= 1,5d_a f_{tk}^2 \frac{1}{E_c} (1,811 + 0,0143f_{tk}) \\ G_f &= (2,7165 + 0,02145f_{tk}) \cdot f_{tk}^2 \frac{d_a}{E_c} \end{aligned} \quad (48)$$

A equação (48) determina uma relação direta entre a energia de deformação e as dimensões do agregado.

Além disso, pode-se determinar a equação que relaciona o módulo de elasticidade tangente com a tensão de tração do concreto, igualando as equações (43) e (46):

$$\begin{aligned} 1,811 + 0,0143f_{tk} &= 1 - \frac{E_c}{E_t} \\ \frac{E_c}{E_t} &= -0,811 - 0,0143f_{tk} \end{aligned}$$

$$\begin{aligned}
\frac{E_c}{E_t} &= -0,0143(56,7 + f_{tk}) \\
E_t &= - \frac{E_c}{0,0143(56,7 + f_{tk})} \\
E_t &= \frac{-69,9E_c}{56,7 + f_{tk}}
\end{aligned} \tag{49}$$

Com isso, verifica-se que a partir da análise da energia de fratura e a região de abertura de fissura foi passível determinar uma relação direta entre o módulo de Young e o módulo tangente do concreto, com base na resistência à tração.

Desta forma, observa-se que a obtenção da equação (49) teve por base a fratura de um material heterogêneo, tal como o concreto, ocorre sob forma de micro fissuração progressiva caracterizada por uma relação tensão – deformação que apresenta o “amolecimento” das tensões. A consideração foi realizada de que as fissuras se propagassem normalmente em relação ao eixo z. Desta forma, o termo da matriz de conformidade que estivesse diretamente relacionado com tal eixo (C_{33} , para o caso de matriz 3x3), deveria ser ajustada a partir de um parâmetro de fissuração μ .

A energia de fratura está diretamente relacionada ao módulo tangente da tensão do concreto, seu f_{tk} e a largura da zona de processo de fratura. Este último, de acordo com experimentos realizados por diversos autores, foi encontrado um valor ótimo, que corresponde ao representativo utilizado na teoria estatística para meios heterogêneos, $w_c = 3d_a$.

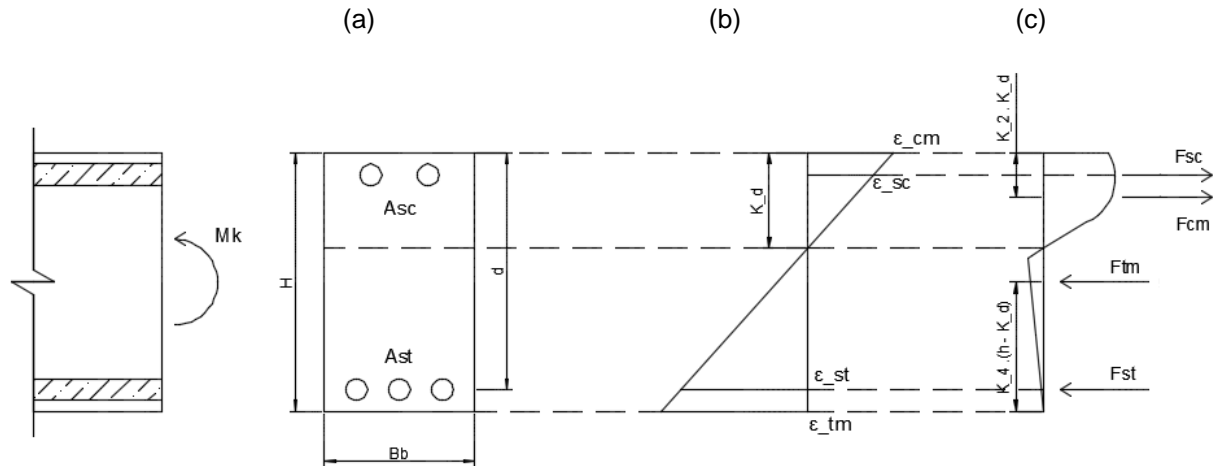
1.4. A equação de tensão – deformação do concreto

A hipótese de Bernoulli – Navier, usualmente adotada, é que as seções transversais continuam planas e ortogonais ao eixo principal mesmo depois de serem carregadas (BAZANT, 1984).

De acordo com a Figura 03, observa-se que o diagrama de tensão do concreto é dado por uma curva na região de compressão. Já a região de tração do mesmo, caracterizada pela Figura 04, é dada por um aumento linear até a tensão máxima de tração, que depois desencadeia em um decréscimo também linear, onde corresponde a sua deformação máxima.

A Figura 12 a seguir faz uma representação de uma seção transversal de concreto armado, com os aços de tração e compressão (a), o diagrama de deformação dos materiais (b), bem como o diagrama de tensão atuante em (c):

Figura 12 – (a) Seção de concreto armado; (b) Diagrama de deformação; (c) Diagrama de tensão



Fonte: O autor

Com base na Figura 12 (b), pode-se escrever a proporcionalidade das relações de deformações sofridas pelos materiais:

$$\frac{\varepsilon_{cm}}{k_d} = \frac{\varepsilon_{st}}{d - k_d} = \frac{\varepsilon_{sj}}{d_j - k_d} \quad (50)$$

Onde, no caso, $j = 1,2$ (considerando o cobrimento do mesmo para as armaduras de compressão e altura útil para a armadura de tração).

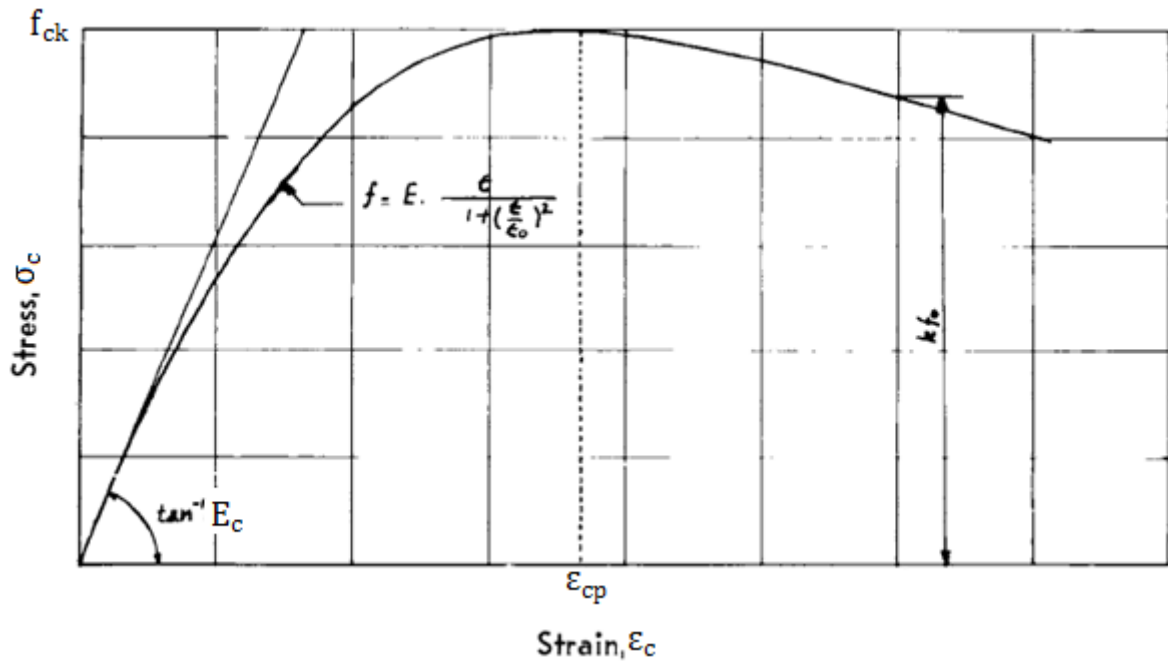
Com isso, pode-se criar uma relação entre a deformação do concreto e a deformação do aço:

$$\varepsilon_{sj} = \varepsilon_{cm} \frac{d_j - k_d}{k_d} \quad (51)$$

De acordo com a Figura 12 (c), para que as forças F_{cm} e F_{tm} possam ser determinadas, de acordo com a tensão do concreto e sua deformação, é necessário definir, portanto, a equação de compressão da curva do concreto. Para isso, SAENZ (1964) sugeriu uma equação geral para a curva do concreto (Figura 13):

$$y = \frac{x}{A + Bx + Cx^2} \quad (52)$$

Figura 13 – Diagrama da curva de compressão do concreto



Fonte: SAENS (1964) - Adaptado

Observando a proposta de equação geral (52) apresentada por SAENZ (1964), deve-se saber que para cada concreto a forma da sua curva de tensão – deformação varia conforme seu f_{ck} . A equação, a partir disso, deve contemplar e se adaptar a essa condição mutável. Com isso, para que se tenha tamanha flexibilidade dificilmente é admitida uma equação simples (KABAILA, 1961).

Para a nomenclatura deste trabalho, adota-se $y = \sigma_c$ e $x = \varepsilon_c$.

De acordo com a Figura 13 apresentada, é possível concluir algumas características matemáticas que a mesma possui, para enfim poder deduzir a formula sugerida:

- É conhecida a coordenada: $(x, y) = (\varepsilon_{cp}, f_{ck})$

$$f_{ck} = \frac{\varepsilon_{cp}}{A + B\varepsilon_{cp} + C\varepsilon_{cp}^2}$$

$$A + B\varepsilon_{cp} + C\varepsilon_{cp}^2 = \frac{\varepsilon_{cp}}{f_{ck}} \quad (53)$$

- É conhecida a tangente na coordenada $(0, 0)$: $\sigma'_c(0) = E_c$

$$\frac{1 \cdot (A + B\varepsilon_c + C\varepsilon_c^2) - \varepsilon_c(2C\varepsilon_c + B)}{(A + B\varepsilon_c + C\varepsilon_c^2)^2} = \sigma'_c(\varepsilon_c)$$

$$\frac{1 \cdot (A + B \cdot 0 + C \cdot 0^2) - 0 \cdot (2 \cdot 0 \cdot C + B)}{(A + B \cdot 0 + C \cdot 0)^2} = \sigma'_c(0)$$

$$\frac{A}{A^2} = E_c \Rightarrow A = \frac{1}{E_c} \quad (54)$$

- É conhecida a tangente na coordenada (ε_0, f_0) : $\sigma'_c(\varepsilon_{cp}) = 0$

$$\frac{1 \cdot (A + B\varepsilon_c + C\varepsilon_c^2) - \varepsilon_c(2C\varepsilon_c + B)}{(A + B\varepsilon_c + C\varepsilon_c^2)^2} = \sigma'_c(\varepsilon_{cp})$$

$$\frac{1 \cdot (A + B\varepsilon_{cp} + C\varepsilon_{cp}^2) - \varepsilon_{cp}(2C\varepsilon_{cp} + B)}{(A + B\varepsilon_{cp} + C\varepsilon_{cp}^2)^2} = 0$$

$$A + B\varepsilon_{cp} + C\varepsilon_{cp}^2 - 2C\varepsilon_{cp}^2 - B\varepsilon_{cp} = 0$$

$$C = \frac{1}{E_c \cdot \varepsilon_{cp}^2} \quad (55)$$

Aplicando as equações (54) e (55) na equação (53) podemos obter o coeficiente B:

$$\begin{aligned} \frac{1}{E_c} + B\varepsilon_{cp} + \varepsilon_{cp}^2 \cdot \frac{1}{E_c \cdot \varepsilon_{cp}^2} &= \frac{\varepsilon_{cp}}{f_{ck}} \\ B &= \frac{1}{f_{ck}} - \frac{2}{E_c \cdot \varepsilon_{cp}} \end{aligned} \quad (56)$$

Uma consideração importante feita por SAENZ (1964) é que o módulo de elasticidade do concreto corresponde ao dobro do ponto de inflexão de tangente máxima, ou seja:

$$E_c = 2 \frac{f_{ck}}{\varepsilon_{cp}}$$

Com base na equação acima e com os coeficientes determinados (equações (54), (55) e (56)), é possível escrever a equação da curva de compressão do concreto proposta por SAENZ (1964), apresentada na equação (52):

$$\sigma_c = \frac{\varepsilon_c}{\frac{1}{E_c} + \varepsilon_c \left(\frac{1}{f_{ck}} - \frac{2}{E_c \cdot \varepsilon_{cp}} \right) + \varepsilon_c^2 \left(\frac{1}{E_c \cdot \varepsilon_{cp}^2} \right)}$$

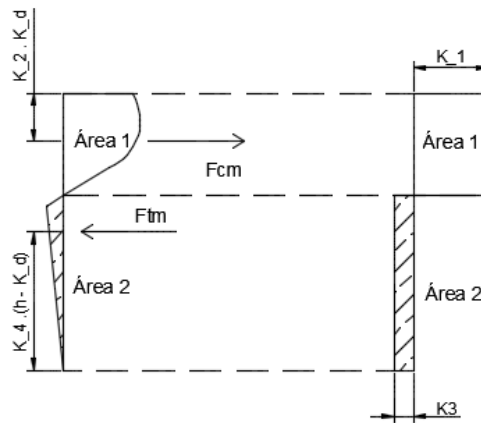
$$\sigma_c = \frac{\varepsilon_c}{\frac{1}{E_c} + \frac{\varepsilon_c}{\varepsilon_{cp}} \left(\frac{E_c \cdot \varepsilon_{cp} - 2f_{ck}}{f_{ck}} \cdot \frac{1}{E_c} \right) + \frac{\varepsilon_c^2}{\varepsilon_{cp}^2} \cdot \frac{1}{E_c}}$$

$$\sigma_c = \frac{E_c \cdot \varepsilon_c}{1 + \left(\frac{E_c \cdot \varepsilon_{cp}}{f_{ck}} - 2 \right) \left(\frac{\varepsilon_c}{\varepsilon_{cp}} \right) + \left(\frac{\varepsilon_c}{\varepsilon_{cp}} \right)^2} \quad (57)$$

1.5. Coeficientes de tensões médias

Os coeficientes de tensões médias são empregados para a determinação da área equivalente das distribuições de tensão do concreto, nas quais atuam as forças de reação dos materiais, como pode-se observar na Figura 14 a seguir:

Figura 14 – Coeficientes de tensões



Fonte: O autor

De acordo com CARLIN (1998) as constantes k_1 e k_2 são definidas como:

$$\int_0^{\varepsilon_{cm}} \sigma_c(\varepsilon_c) d\varepsilon_c = k_1 f_{ck} \varepsilon_c$$

Com isso,

$$k_1 = \frac{\int_0^{\varepsilon_{cm}} \sigma_c(\varepsilon_c) d\varepsilon_c}{f_{ck} \varepsilon_c} \quad (58)$$

Neste caso, o coeficiente k_1 corresponde à altura relativa de um retângulo equivalente, ou seja, com a mesma área do diagrama gerado pelo gráfico de tensões e deformações do concreto. Neste caso em particular, aplicado à curva tensão – deformação da região comprimida da seção de concreto.

Para a demonstração do coeficiente k_2 , temos o momento estático dado por:

$$M_s = s \cdot \varepsilon_{CEN} \quad (59)$$

Onde ε_{CEN} pode ser escrito como:

$$\varepsilon_{CEN} = (1 - k_2)\varepsilon_{cm} \quad (60)$$

Substituindo (60) em (59) tem-se:

$$M_s = s \cdot (1 - k_2)\varepsilon_{cm}$$

$$M_s = \left(\int \sigma_c d\varepsilon_c \right) (1 - k_2)\varepsilon_{cm} \quad (61)$$

Como o momento também pode ser definido como:

$$M_s = \int \sigma_c \cdot \varepsilon_c d\varepsilon_c \quad (62)$$

Assim, igualando as expressões (61) e (62) tem-se:

$$\int \sigma_c \cdot \varepsilon_c d\varepsilon_c = \left(\int \sigma_c d\varepsilon_c \right) (1 - k_2)\varepsilon_{cm}$$

$$(1 - k_2) = \frac{\int \sigma_c \cdot \varepsilon_c d\varepsilon_c}{\varepsilon_{cm} \int \sigma_c d\varepsilon_c}$$

$$k_2 = 1 - \frac{\int \sigma_c \cdot \varepsilon_c d\varepsilon_c}{\varepsilon_{cm} \int \sigma_c d\varepsilon_c} \quad (63)$$

O coeficiente k_2 representa o braço de alavanca resultante correspondente à resultante de distribuição equivalente de tensões provocadas na região comprimida da seção.

As constantes k_3 e k_4 são definidas da mesma forma que k_1 e k_4 , respectivamente, contudo, aplicadas a casos de tração, ou seja:

$$k_3 = \frac{\int_0^{\varepsilon_{tm}} \sigma_c(\varepsilon_c) d\varepsilon_c}{f_{ck} \varepsilon_c} \quad (64)$$

$$k_4 = 1 - \frac{\int_0^{\varepsilon_{tm}} \sigma_c \cdot \varepsilon_c d\varepsilon_c}{\varepsilon_{cm} \int_0^{\varepsilon_{tm}} \sigma_c d\varepsilon_c} \quad (65)$$

Da mesma forma que k_1 , o coeficiente k_3 também está relacionado à altura de um retângulo equivalente com mesma área da curva de tensão – deformação do concreto, contudo de sua região tracionada.

O coeficiente k_4 possui o mesmo significado teórico que o coeficiente k_2 , contudo aplicado à região tracionada da seção de concreto.

1.5.1. Coeficientes para $\varepsilon_c \leq \varepsilon_{tp}$

Com isso, pode-se determinar os valores de k_m , $m = 1,2,3,4$ para uma deformação $\varepsilon_c \leq \varepsilon_{tp}$, conforme apresentado na Figura 04.

1.5.1.1. Coeficiente k_1

Substituindo a equação (57) em (58), temos:

$$k_1 = \frac{1}{f_{tk} \cdot \varepsilon_{cm}} \int_0^{\varepsilon_{cm}} \frac{E_c \cdot \varepsilon_c}{1 + \left(\frac{E_c \cdot \varepsilon_{cp}}{\sigma_{cp}} - 2 \right) \left(\frac{\varepsilon_c}{\varepsilon_{cp}} \right) + \left(\frac{\varepsilon_c}{\varepsilon_{cp}} \right)^2} d\varepsilon_c \quad (66)$$

Considera-se:

$$A = \frac{1}{\varepsilon_{cp}} \left(\frac{E_c \cdot \varepsilon_{cp}}{\sigma_{cp}} - 2 \right), \quad B = \left(\frac{1}{\varepsilon_{cp}} \right)^2 \quad e \quad q = 4B - A^2 \quad (67)$$

Onde A e B são constantes.

Com isso, substituindo as expressões de (67) na equação (66), tem-se:

$$k_1 = \frac{1}{f_{tk} \cdot \varepsilon_{cm}} \int_0^{\varepsilon_{cm}} \frac{E_c \cdot \varepsilon_c}{1 + A\varepsilon_c + B\varepsilon_c^2} d\varepsilon_c \quad (68)$$

Observa-se que a integral apresentada na equação (68) é similar à integral geral a seguir:

$$\int \frac{x}{ax^2 + bx + c} dx \quad (69)$$

Desta forma, resolvendo a integral (68), torna-se possível resolver a expressão apresentada em (67). Com isso, a integral (68) é resolvida inicialmente por partes:

$$\int \frac{x}{ax^2 + bx + c} dx = \int \frac{2ax + b}{2a(ax^2 + bx + c)} - \frac{b}{2a(ax^2 + bx + c)} dx$$

Onde:

$$\int \frac{2ax + b}{2a(ax^2 + bx + c)} dx \quad (70)$$

$$\int \frac{b}{2a(ax^2 + bx + c)} dx \quad (71)$$

Para a integral (70), por substituição, pode-se escrever:

$$u = ax^2 + bx + c \Rightarrow du = (2ax + b)dx \Rightarrow dx = \frac{du}{2ax + b} \quad (72)$$

$$\int \frac{2ax + b}{2au} \cdot \frac{du}{2ax + b} = \int \frac{1}{2a} \cdot \frac{1}{u} du = \frac{1}{2a} \ln(u)$$

Assim, sabendo que $u = ax^2 + bx + c$, o valor da integral (70) é:

$$\int \frac{2ax + b}{2a(ax^2 + bx + c)} dx = \frac{1}{2a} \ln(ax^2 + bx + c) \quad (73)$$

No caso da integral (71), esta pode ser reescrita como:

$$\frac{b}{2a} \int \frac{1}{ax^2 + bx + c} dx$$

Onde:

$$\int \frac{1}{ax^2 + bx + c} dx = \int \frac{1}{\left(\sqrt{a}x + \frac{b}{2\sqrt{a}}\right)^2 + c - \frac{b^2}{4a}} dx \quad (74)$$

Por substituição:

$$u = \sqrt{a}x + \frac{b}{2\sqrt{a}} \Rightarrow du = \sqrt{a}dx \quad (75)$$

Tem-se, da expressão (74):

$$\int \frac{1}{\left(\sqrt{a}x + \frac{b}{2\sqrt{a}}\right)^2 + c - \frac{d^2}{4a}} dx = \frac{1}{\sqrt{a}} \int \frac{1}{u^2 + \frac{4ac - b^2}{4a}} du \quad (76)$$

Realizando o procedimento de substituição, temos:

$$u = \frac{\sqrt{4ac - b^2}}{2\sqrt{a}} \cdot \operatorname{tg} \theta \Rightarrow du = \frac{\sqrt{4ac - b^2}}{2\sqrt{a}} \cdot \sec^2 \theta \cdot d\theta \quad (77)$$

Com isso, a expressão (76) é reescrita como:

$$\begin{aligned} \frac{1}{\sqrt{a}} \int \frac{1}{\frac{4ac - b^2}{4a} \cdot \operatorname{tg}^2 \theta + \frac{4ac - b^2}{4a}} \cdot \frac{\sqrt{4ac - b^2}}{2\sqrt{a}} \cdot \sec^2 \theta \cdot d\theta \\ \frac{1}{\sqrt{a}} \int \frac{1}{\frac{4ac - b^2}{4a} \cdot (1 + \operatorname{tg}^2 \theta)} \cdot \frac{\sqrt{4ac - b^2}}{2\sqrt{a}} \cdot \sec^2 \theta \cdot d\theta \end{aligned} \quad (78)$$

Pela identidade trigonométrica:

$$1 + \operatorname{tg}^2 \theta = \sec^2 \theta \quad (79)$$

Assim, a solução da integral (74) é dada por:

$$\begin{aligned} \frac{1}{\sqrt{a}} \int \frac{1}{\frac{4ac - b^2}{4a} \cdot \sec^2 \theta} \cdot \frac{\sqrt{4ac - b^2}}{2\sqrt{a}} \cdot \sec^2 \theta \cdot d\theta \\ \frac{1}{\sqrt{a}} \int \frac{4a}{4ac - b^2} \cdot \frac{\sqrt{4ac - b^2}}{2\sqrt{a}} \cdot d\theta \\ \int \frac{2}{\sqrt{4ac - b^2}} \cdot d\theta = \frac{2}{\sqrt{4ac - b^2}} \theta \end{aligned} \quad (80)$$

Substituindo as variáveis apresentadas em (75) e (79), tem-se:

$$\int \frac{1}{ax^2 + bx + c} dx = \frac{2}{\sqrt{4ac - b^2}} \cdot \operatorname{arctg} \left(\frac{2u\sqrt{a}}{\sqrt{4ac - b^2}} \right)$$

$$\int \frac{1}{ax^2 + bx + c} dx = \frac{2}{\sqrt{4ac - b^2}} \cdot \operatorname{arctg} \left[\frac{2\sqrt{a} \left(\sqrt{a} x + \frac{b}{2\sqrt{a}} \right)}{\sqrt{4ac - b^2}} \right]$$

Com isso:

$$\int \frac{1}{ax^2 + bx + c} dx = \frac{2}{\sqrt{4ac - b^2}} \cdot \operatorname{arctg} \left[\frac{2\sqrt{a} \left(\sqrt{a} x + \frac{b}{2\sqrt{a}} \right)}{\sqrt{4ac - b^2}} \right]$$

$$\int \frac{1}{ax^2 + bx + c} dx = \frac{2}{\sqrt{4ac - b^2}} \cdot \operatorname{arctg} \left(\frac{2ax + b}{\sqrt{4ac - b^2}} \right) \quad (81)$$

Desta forma, o resultado da integral apresentada em (78) corresponde à soma das expressões encontradas em (73) e (81), ou seja:

$$\int \frac{x}{ax^2 + bx + c} dx = \left[\frac{\frac{1}{2a} \ln(ax^2 + bx + c) - \frac{b}{2a} \cdot \frac{2}{\sqrt{4ac - b^2}} \cdot \operatorname{arctg} \left(\frac{2ax + b}{\sqrt{4ac - b^2}} \right)}{2} \right] \quad (82)$$

Entretanto, como a expressão original é a apresentada em (68), assim o resultado da mesma é dado por:

$$\int_0^{\varepsilon_{cm}} \frac{E_c \cdot \varepsilon_c}{1 + A\varepsilon_c + B\varepsilon_c^2} d\varepsilon_c = E_c \left[-\frac{A}{2B} \cdot \frac{2}{\sqrt{4Bc - A^2}} \cdot \operatorname{arctg} \left(\frac{2Bx + A}{\sqrt{4Bc - A^2}} \right) \right] \Bigg|_0^{\varepsilon_{cm}}$$

$$\int_0^{\varepsilon_{cm}} \frac{E_c \cdot \varepsilon_c}{1 + A\varepsilon_c + B\varepsilon_c^2} d\varepsilon_c = E_c \left[\begin{aligned} &\frac{1}{2B} \ln(B\varepsilon_{cm}^2 + A\varepsilon_{cm} + 1) + \\ &+ \frac{A}{2B} \cdot \frac{2}{\sqrt{4B - A^2}} \cdot \\ &\cdot \left(\arctg\left(\frac{A}{\sqrt{q}}\right) - \arctg\left(\frac{2B\varepsilon_{cm} + A}{\sqrt{q}}\right) \right) \end{aligned} \right] \quad (83)$$

Assim, o valor de k_1 apresentada na expressão (68) é:

$$k_1 = \frac{E_c}{f_{tk} \cdot \varepsilon_{cm}} \left[\begin{aligned} &\frac{1}{2B} \ln(B\varepsilon_{cm}^2 + A\varepsilon_{cm} + 1) + \\ &+ \frac{A}{2B} \cdot \frac{2}{\sqrt{4B - A^2}} \cdot \left(\arctg\left(\frac{A}{\sqrt{q}}\right) - \arctg\left(\frac{2B\varepsilon_{cm} + A}{\sqrt{q}}\right) \right) \end{aligned} \right] \quad (84)$$

1.5.1.2. Coeficiente k_2

Para k_2 temos:

$$k_2 = 1 - \frac{\int_0^{\varepsilon_{cm}} \varepsilon_c \cdot \sigma_c d\varepsilon_c}{\varepsilon_{cm} \int_0^{\varepsilon_{cm}} \sigma_c d\varepsilon_c} \quad (85)$$

O resultado da integral $\int_0^{\varepsilon_{cm}} \sigma_c d\varepsilon_c$ está apresentado na expressão (63), basta, portanto, conhecer o resultado de $\int_0^{\varepsilon_{cm}} \varepsilon_c \cdot \sigma_c d\varepsilon_c$.

Da mesma forma, as considerações feitas em (68) permanecerão para os cálculos de k_2 . Desta forma, tem-se a seguinte expressão:

$$\int_0^{\varepsilon_{cm}} \varepsilon_c \cdot \sigma_c d\varepsilon_c = \int_0^{\varepsilon_{cm}} \frac{E_c \cdot \varepsilon_c^2}{1 + A\varepsilon_c + B\varepsilon_c^2} d\varepsilon_c \quad (86)$$

A integral apresentada em (86) é semelhante a apresentada a seguir:

$$\int \frac{x^2}{ax^2 + bx + c} dx \quad (87)$$

Resolvendo a integral (87), tem-se:

$$\int \frac{x^2}{ax^2 + bx + c} dx = \int \frac{1}{a} - \frac{bx + c}{a(ax^2 + bx + c)} dx$$

$$\int \frac{x^2}{ax^2 + bx + c} dx = \int \frac{1}{a} dx - \int \frac{b}{a} \cdot \frac{x}{ax^2 + bx + c} dx - \int \frac{c}{a} \cdot \frac{1}{ax^2 + bx + c} dx$$

Todas as integrais já foram determinadas anteriormente, a saber equações (81) e (82).

$$\int \frac{x^2}{ax^2 + bx + c} dx$$

$$= \left[\frac{x}{a} - \frac{b}{a} \left[\frac{1}{2a} \ln(ax^2 + bx + c) - \frac{b}{2a} \cdot \frac{2}{\sqrt{4ac - b^2}} \cdot \arctg \left(\frac{2ax + b}{\sqrt{4ac - b^2}} \right) \right] - \frac{c}{a} \left[\frac{2}{\sqrt{4ac - b^2}} \cdot \arctg \left(\frac{2ax + b}{\sqrt{4ac - b^2}} \right) \right] \right] \quad (88)$$

Aplicando o intervalo de integração apresentado em (86) e as condições impostas em (68), tem-se:

$$\int_0^{\varepsilon_{cm}} \varepsilon_c \cdot \sigma_c d\varepsilon_c = \int_0^{\varepsilon_{cm}} \frac{E_c \cdot \varepsilon_c^2}{1 + A\varepsilon_c + B\varepsilon_c^2} d\varepsilon_c =$$

$$= \left[\frac{x}{a} - \frac{b}{a} \left[\frac{1}{2a} \ln(ax^2 + bx + c) - \frac{b}{2a} \cdot \frac{2}{\sqrt{4ac - b^2}} \cdot \arctg \left(\frac{2ax + b}{\sqrt{4ac - b^2}} \right) \right] - \frac{c}{a} \left[\frac{2}{\sqrt{4ac - b^2}} \cdot \arctg \left(\frac{2ax + b}{\sqrt{4ac - b^2}} \right) \right] \right] \Bigg|_0^{\varepsilon_{cm}}$$

$$\int_0^{\varepsilon_{cm}} \varepsilon_c \cdot \sigma_c d\varepsilon_c = \frac{\varepsilon_c}{B} - \frac{2}{B\sqrt{q}} \cdot \arctg \left(\frac{2B\varepsilon_c + A}{\sqrt{q}} \right) + \frac{A^2}{B^2\sqrt{q}} \cdot \arctg \left(\frac{2B\varepsilon_c + A}{\sqrt{q}} \right)$$

$$- \frac{A}{2B^2} \ln(B\varepsilon_c^2 + A\varepsilon_c + 1)$$

$$\int_0^{\varepsilon_{cm}} \varepsilon_c \cdot \sigma_c d\varepsilon_c = \left[\frac{\varepsilon_{cm}}{B} + \left(\frac{A^2 - 2B}{B^2 \sqrt{q}} \right) \cdot \operatorname{arctg} \left(\frac{2B\varepsilon_{cm} + A}{\sqrt{q}} \right) - \frac{A}{2B^2} \ln(B\varepsilon_{cm}^2 + A\varepsilon_{cm} + 1) - \left(\frac{A^2 - 2B}{B^2 \sqrt{q}} \right) \cdot \operatorname{arctg} \frac{A}{\sqrt{q}} \right] \quad (89)$$

Com isso, o resultado de k_2 é:

$$k_2 = 1 - \frac{\left[\frac{\varepsilon_{cm}}{B} + \left(\frac{A^2 - 2B}{B^2 \sqrt{q}} \right) \cdot \operatorname{arctg} \left(\frac{2B\varepsilon_{cm} + A}{\sqrt{q}} \right) - \frac{A}{2B^2} \ln(B\varepsilon_{cm}^2 + A\varepsilon_{cm} + 1) - \left(\frac{A^2 - 2B}{B^2 \sqrt{q}} \right) \cdot \operatorname{arctg} \frac{A}{\sqrt{q}} \right]}{\varepsilon_{cm} \left[\frac{1}{2B} \ln(B\varepsilon_{cm}^2 + A\varepsilon_{cm} + 1) + \frac{A}{2B} \cdot \frac{2}{\sqrt{4B - A^2}} \cdot \left(\operatorname{arctg} \left(\frac{A}{\sqrt{q}} \right) - \operatorname{arctg} \left(\frac{2B\varepsilon_{cm} + A}{\sqrt{q}} \right) \right) \right]} \quad (90)$$

1.5.1.3. Coeficiente k_3

Para o caso de k_3 , a constante apresentada na equação (64), com base no princípio da mecânica linear anteriormente mencionada na equação (2). Assim:

$$\int_0^{\varepsilon_{tm}} \sigma_c(\varepsilon_c) d\varepsilon_c = \int_0^{\varepsilon_{tm}} E_c \varepsilon_c d\varepsilon_c$$

$$\int_0^{\varepsilon_{tm}} E_c \varepsilon_c d\varepsilon_c = \frac{E_c \cdot \varepsilon_c^2}{2} \Big|_0^{\varepsilon_{tm}} = \frac{E_c \cdot \varepsilon_{tm}^2}{2} \quad (91)$$

Desta forma, k_3 é determinado por:

$$k_3 = \frac{\frac{E_c \cdot \varepsilon_{tm}^2}{2}}{f_{tk} \varepsilon_c} \Rightarrow k_3 = \frac{E_c \cdot \varepsilon_{tm}}{2f_{tk}} \quad (92)$$

1.5.1.4. Coeficiente k_4

Aplicando o mesmo raciocínio para k_4 , apresentado na equação (65), pode-se escrever:

$$\int_0^{\varepsilon_{tm}} \sigma_c \cdot \varepsilon_c d\varepsilon_c = \int_0^{\varepsilon_{tm}} E_c \varepsilon_c \varepsilon_c d\varepsilon_c = \int_0^{\varepsilon_{tm}} E_c \varepsilon_c^2 d\varepsilon_c$$

$$\int_0^{\varepsilon_{tm}} E_c \varepsilon_c^2 d\varepsilon_c = \left. \frac{\varepsilon_c^3 E_c}{3} \right|_0^{\varepsilon_{tm}} = \frac{\varepsilon_{tm}^3 E_c}{3} \quad (93)$$

Com isso, a partir dos resultados apresentados em (91) e (93), k_4 pode ser determinado :

$$k_4 = 1 - \frac{\frac{\varepsilon_{tm}^3 E_c}{3}}{\varepsilon_{tm} \frac{E_c \cdot \varepsilon_{tm}^2}{2}} \Rightarrow k_4 = \frac{1}{3} \quad (94)$$

1.5.2. Coeficientes para $\varepsilon_{tp} < \varepsilon_{tm} < \varepsilon_{tf}$

Para este caso, não há necessidade de calcular normalmente os coeficientes k_1 e k_2 , pois ambos dependem exclusivamente da variação de tensão e deformação do concreto comprimido, enquanto os coeficientes k_3 e k_4 estão relacionados com as tensões – deformações do concreto tracionado.

1.5.2.1. Coeficiente k_3

Para o caso aplicado a deformações no intervalo $\varepsilon_{tp} < \varepsilon_{tm} < \varepsilon_{tf}$, as constantes k_3, k_4 determinadas conforme as verificações realizadas em (2) e (3). Isso é feito porque a deformação é acumulativa ao longo do diagrama apresentado na Figura 04.

Assim, para o valor de k_3 deve-se calcular:

$$k_3 = \frac{\int_0^{\varepsilon_{tm}} \sigma_c(\varepsilon_c) d\varepsilon_c}{f_{tk} \varepsilon_{tm}}$$

$$\int_0^{\varepsilon_{tm}} \sigma_c(\varepsilon_c) d\varepsilon_c = \int_0^{\varepsilon_{tp}} \frac{f_{tk}}{\varepsilon_{tp}} \varepsilon_c d\varepsilon_c + \int_{\varepsilon_{tp}}^{\varepsilon_{tm}} f_{tk} - (\varepsilon_c - \varepsilon_{tp})| - E_t| d\varepsilon_c \quad (95)$$

$$\int_0^{\varepsilon_{tm}} \sigma_c(\varepsilon_c) d\varepsilon_c = \left[\frac{f_{tk}}{\varepsilon_{tp}} \cdot \frac{\varepsilon_c^2}{2} \right]_0^{\varepsilon_{tp}} + \left[f_{tk} \cdot \varepsilon_c - \frac{\varepsilon_c^2 \cdot |E_t|}{2} + \varepsilon_{tp} \cdot |E_t| \varepsilon_c \right]_{\varepsilon_{tp}}^{\varepsilon_{tm}}$$

$$\int_0^{\varepsilon_{tm}} \sigma_c(\varepsilon_c) d\varepsilon_c = \left[\frac{f_{tk} \cdot \varepsilon_{tp}}{2} + f_{tk} \cdot \varepsilon_{tm} - \frac{\varepsilon_{tm}^2 \cdot |E_t|}{2} + \varepsilon_{tp} \cdot |E_t| \varepsilon_{tm} \right. \\ \left. - f_{tk} \cdot \varepsilon_{tp} + \frac{\varepsilon_{tp}^2 \cdot |E_t|}{2} - \varepsilon_{tp}^2 \cdot |E_t| \right]$$

$$\int_0^{\varepsilon_{tm}} \sigma_c(\varepsilon_c) d\varepsilon_c = (f_{tk} + \varepsilon_{tp} \cdot |E_t|) \varepsilon_{tm} - \frac{\varepsilon_{tm}^2 \cdot |E_t|}{2} - \frac{f_{tk} \cdot \varepsilon_{tp}}{2} - \frac{\varepsilon_{tp}^2 \cdot |E_t|}{2} \quad (96)$$

Aplicando a equação (95) em k_3 :

$$k_3 = \frac{1}{f_{tk} \varepsilon_{tm}} \left[(f_{tk} + \varepsilon_{tp} \cdot |E_t|) \varepsilon_{tm} - \frac{\varepsilon_{tm}^2 \cdot |E_t|}{2} - \frac{f_{tk} \cdot \varepsilon_{tp}}{2} - \frac{\varepsilon_{tp}^2 \cdot |E_t|}{2} \right] \quad (97)$$

1.5.2.2. Coeficiente k_4

Para k_4 , os cálculos são mais longos, já que o intervalo de integração muda, devido à mudança de equação do diagrama:

$$\int_0^{\varepsilon_{tm}} \sigma_c \cdot \varepsilon_c d\varepsilon_c = \int_0^{\varepsilon_{tp}} \varepsilon_c^2 \frac{f_{tk}}{\varepsilon_{tp}} d\varepsilon_c + \int_{\varepsilon_{tp}}^{\varepsilon_{tm}} \varepsilon_c f_{tk} - \varepsilon_c(\varepsilon_c - \varepsilon_{tp})| - E_t| d\varepsilon_c$$

$$\int_0^{\varepsilon_{tm}} \sigma_c \cdot \varepsilon_c d\varepsilon_c = \left[\frac{f_{tk}}{\varepsilon_{tp}} \cdot \frac{\varepsilon_c^3}{3} \right]_0^{\varepsilon_{tp}} + \left[\frac{f_{tk} \cdot \varepsilon_c^2}{2} - \frac{\varepsilon_c^3 \cdot |E_t|}{3} + \frac{\varepsilon_c^2 \cdot |E_t| \varepsilon_{tp}}{2} \right]_{\varepsilon_{tp}}^{\varepsilon_{tm}}$$

$$\int_0^{\varepsilon_{tm}} \sigma_c \cdot \varepsilon_c d\varepsilon_c = \left[\frac{f_{tk} \cdot \varepsilon_{tp}^2}{3} + \frac{f_{tk} \cdot \varepsilon_{tm}^2}{2} - \frac{|E_t| \cdot \varepsilon_{tm}^3}{3} + \frac{|E_t| \cdot \varepsilon_{tm}^2 \cdot \varepsilon_{tp}}{2} - \frac{f_{tk} \cdot \varepsilon_{tp}^2}{2} - \frac{\varepsilon_{tp}^3 \cdot |E_t|}{3} - \frac{\varepsilon_{tp}^3 \cdot |E_t|}{2} \right]$$

$$\int_0^{\varepsilon_{tm}} \sigma_c \cdot \varepsilon_c d\varepsilon_c = -\frac{f_{tk} \cdot \varepsilon_{tp}^2}{6} + \left(\frac{f_{tk}}{2} + \frac{|E_t| \cdot \varepsilon_{tp}}{2} \right) \varepsilon_{tm}^2 - \frac{|E_t| \cdot \varepsilon_{tm}^3}{3} - \frac{\varepsilon_{tp}^3 \cdot |E_t|}{6} \quad (98)$$

Assim, conforme os resultados apresentados em (96) e (98), o valor de k_4 é:

$$k_4 = 1 - \frac{-\frac{f_{tk} \cdot \varepsilon_{tp}^2}{6} + \left(\frac{f_{tk}}{2} + \frac{|E_t| \cdot \varepsilon_{tp}}{2} \right) \varepsilon_{tm}^2 - \frac{|E_t| \cdot \varepsilon_{tm}^3}{3} - \frac{\varepsilon_{tp}^3 \cdot |E_t|}{6}}{\varepsilon_{tm} \left[(f_{tk} + \varepsilon_{tp} \cdot |E_t|) \varepsilon_{tm} - \frac{\varepsilon_{tm}^2 \cdot |E_t|}{2} - \frac{f_{tk} \cdot \varepsilon_{tp}}{2} - \frac{\varepsilon_{tp}^2 \cdot |E_t|}{2} \right]} \quad (99)$$

1.5.3. Coeficientes $\varepsilon_{tf} < \varepsilon_{cm}$

Para deformações que estão em $\varepsilon_{tf} < \varepsilon_{cm}$, conforme apresentado na Figura 04, a integral sob a curva do diagrama é escrita como:

$$\int_0^{\varepsilon_{tm}} \sigma_c(\varepsilon_c) d\varepsilon_c = \int_0^{\varepsilon_{tp}} \frac{f_{tk}}{\varepsilon_{tp}} \varepsilon_c d\varepsilon_c + \int_{\varepsilon_{tp}}^{\varepsilon_{tf}} f_{tk} - (\varepsilon_c - \varepsilon_{tp})| - E_t| d\varepsilon_c + \int_{\varepsilon_{tf}}^{\varepsilon_{tm}} 0 d\varepsilon_c \quad (100)$$

Ou seja, após o limite estabelecido na curva por ε_{tf} , a equação da mesma torna-se constante no valor zero. Com isso:

$$\int_{\varepsilon_{tf}}^{\varepsilon_{tm}} 0 d\varepsilon_c = 0$$

Para este caso repete-se a explicação dada anteriormente, ou seja, não há necessidade de calcular normalmente os coeficientes k_1 e k_2 , pois ambos dependem exclusivamente da variação de tensão e deformação do concreto comprimido, enquanto os coeficientes k_3 e k_4 estão relacionados com as tensões – deformações do concreto tracionado.

1.5.3.1. Coeficiente k_3

Desta forma, a partir do mesmo procedimento de cálculo utilizada para determinar a equação (94), tem-se para a equação (100):

$$\begin{aligned} \int_0^{\varepsilon_{tm}} \sigma_c(\varepsilon_c) d\varepsilon_c &= \left[\frac{f_{tk}}{\varepsilon_{tp}} \cdot \frac{\varepsilon_c^2}{2} \right]_0^{\varepsilon_{tp}} + \left[f_{tk} \cdot \varepsilon_c - \frac{\varepsilon_c^2 \cdot |E_t|}{2} + \varepsilon_{tp} \cdot |E_t| \varepsilon_c \right]_{\varepsilon_{tp}}^{\varepsilon_{tf}} \\ \int_0^{\varepsilon_{tm}} \sigma_c(\varepsilon_c) d\varepsilon_c &= (f_{tk} + \varepsilon_{tp} \cdot |E_t|) \varepsilon_{tf} - \frac{\varepsilon_{tf}^2 \cdot |E_t|}{2} - \frac{f_{tk} \cdot \varepsilon_{tp}}{2} - \frac{\varepsilon_{tp}^2 \cdot |E_t|}{2} \\ k_3 &= \frac{1}{f_{tk} \varepsilon_{tm}} \left[(f_{tk} + \varepsilon_{tp} \cdot |E_t|) \varepsilon_{tf} - \frac{\varepsilon_{tf}^2 \cdot |E_t|}{2} - \frac{f_{tk} \cdot \varepsilon_{tp}}{2} - \frac{\varepsilon_{tp}^2 \cdot |E_t|}{2} \right] \end{aligned} \quad (101)$$

1.5.3.2. Coeficiente k_4

Da mesma forma, para se determinar k_4 , :

$$\begin{aligned} &\int_0^{\varepsilon_{tm}} \varepsilon_c \sigma_c(\varepsilon_c) d\varepsilon_c \\ &= \int_0^{\varepsilon_{tp}} \frac{f_{tk}}{\varepsilon_{tp}} \varepsilon_c^2 d\varepsilon_c + \int_{\varepsilon_{tp}}^{\varepsilon_{tf}} \varepsilon_c f_{tk} - \varepsilon_c(\varepsilon_c - \varepsilon_{tp})(-E_t) d\varepsilon_c + \int_{\varepsilon_{tf}}^{\varepsilon_{tm}} 0 \cdot \varepsilon_c d\varepsilon_c \end{aligned} \quad (102)$$

$$\begin{aligned} \int_0^{\varepsilon_{tm}} \varepsilon_c \sigma_c(\varepsilon_c) d\varepsilon_c &= \left[\frac{f_{tk}}{\varepsilon_{tp}} \cdot \frac{\varepsilon_c^3}{3} \right]_0^{\varepsilon_{tp}} + \left[f_{tk} \cdot \frac{\varepsilon_c^2}{2} - \frac{\varepsilon_c^2 \cdot |E_t|}{2} + \varepsilon_{tp} \cdot |E_t| \frac{\varepsilon_c^2}{2} \right]_{\varepsilon_{tp}}^{\varepsilon_{tf}} \\ \int_0^{\varepsilon_{tm}} \varepsilon_c \sigma_c(\varepsilon_c) d\varepsilon_c &= \left[\frac{f_{tk} \cdot \varepsilon_{tp}^2}{3} + f_{tk} \cdot \frac{\varepsilon_{tf}^2}{3} - \frac{\varepsilon_{tf}^3 \cdot |E_t|}{3} + \frac{\varepsilon_{tp} \cdot |E_t| \cdot \varepsilon_{tf}^2}{2} - \right. \\ &\quad \left. f_{tk} \cdot \frac{\varepsilon_{tp}^2}{2} + \frac{\varepsilon_{tp}^3 \cdot |E_t|}{3} - |E_t| \frac{\varepsilon_{tp}^3}{2} \right] \\ \int_0^{\varepsilon_{tm}} \varepsilon_c \cdot \sigma_c(\varepsilon_c) d\varepsilon_c &= \left[-\frac{1}{6} f_{tk} \cdot \varepsilon_{tp}^2 + \left(\frac{1}{2} f_{tk} + \frac{\varepsilon_{tp} \cdot |E_t|}{2} \right) \frac{\varepsilon_{tf}^2}{3} - \right. \\ &\quad \left. \frac{\varepsilon_{tf}^3 \cdot |E_t|}{3} - |E_t| \frac{\varepsilon_{tp}^3}{6} \right] \end{aligned} \quad (103)$$

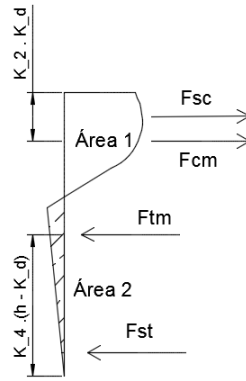
Assim:

$$k_4 = 1 - \frac{-\frac{1}{6}f_{tk} \cdot \varepsilon_{tp}^2 + \left(\frac{1}{2}f_{tk} + \frac{\varepsilon_{tp} \cdot |E_t|}{2}\right) \frac{\varepsilon_{tf}^2}{3} - \frac{\varepsilon_{tf}^3 \cdot |E_t|}{3} - |E_t| \frac{\varepsilon_{tp}^3}{6}}{\varepsilon_{tm} \left[(f_{tk} + \varepsilon_{tp} \cdot |E_t|) \varepsilon_{tf} - \frac{\varepsilon_{tf}^2 \cdot |E_t|}{2} - \frac{f_{tk} \cdot \varepsilon_{tp}}{2} - \frac{\varepsilon_{tp}^2 \cdot |E_t|}{2} \right]} \quad (104)$$

1.6. Momento de Equilíbrio

A partir do que foi determinado anteriormente, pode-se calcular os valores de carga e do momento da viga:

Figura 15 – Diagrama de tensão do concreto



Fonte: O autor

Considerando que a referência é o Centróide (C.G), o equilíbrio de forças é dado por:

$$P = F_{sc} + F_{cm} - F_{tm} - F_{st}$$

$$P = F_{cm} - F_{tm} + \sum_{j=1}^2 F_{sj} \quad (105)$$

Contudo, as forças F_{cm} e F_{tm} são definidas por:

$$F_{cm} = k_1 \cdot f_{ck} \cdot B_b \cdot k_d \quad (106)$$

$$F_{tm} = k_3 \cdot f_{tk} \cdot B_b \cdot (H - k_d) \quad (107)$$

Com isso, aplicando as equações (106) e (107) em (105), pode-se determinar a carga normal da viga:

$$P = k_1 \cdot f_{ck} \cdot B_b \cdot k_d - k_3 \cdot f_{tk} \cdot B_b \cdot (H - k_d) + \sum_{j=1}^2 \sigma_{sj} \cdot A_{sj} \quad (108)$$

Quando nenhuma carga está sendo aplicada ($P = 0$), pode-se afirmar que o valor da altura da linha neutra é:

$$\begin{aligned} 0 &= k_1 \cdot f_{ck} \cdot B_b \cdot k_d - k_3 \cdot f_{tk} \cdot B_b \cdot (H - k_d) + \sum_{j=1}^2 \sigma_{sj} \cdot A_{sj} \\ k_d (k_1 \cdot f_{ck} \cdot B_b + k_3 \cdot f_{tk} \cdot B_b) &= k_3 \cdot f_{tk} \cdot H - \sum_{j=1}^2 \sigma_{sj} \cdot A_{sj} \\ k_d &= \frac{k_3 \cdot f_{tk} \cdot H - \sum_{j=1}^2 \sigma_{sj} \cdot A_{sj}}{B_b (k_1 \cdot f_{ck} + k_3 \cdot f_{tk})} \end{aligned} \quad (109)$$

No caso do momento, baseado na mesma referência C.G:

$$M = \left[\begin{aligned} &k_1 \cdot f_{ck} \cdot B_b \cdot k_d \left(\frac{H}{2} - k_2 k_d \right) + \left(\sum_{j=1}^2 \sigma_{sj} \cdot A_{sj} \right) \left(\frac{H}{2} - d_j \right) - \\ &k_3 \cdot f_{tk} \cdot B_b \cdot (H - k_d) \left(\frac{H}{2} - k_4 (H - k_d) \right) \end{aligned} \right] \quad (110)$$

1.7. Deflexão da Viga

Finalmente, pode-se avaliar a deflexão de uma viga de concreto armado como sendo:

$$\delta = \int_0^L \frac{\varepsilon_{cm}}{k_d} \cdot \bar{M} \, dx \quad (111)$$

A integral dada por (111) é resolvida numericamente, usou-se o procedimento de Simpson par determinar o deslocamento sofrido pela viga de acordo com uma carga pontual aplicada no meio do vão. Desta forma, tem-se:

$$\int_a^b f(x)dx \approx \frac{\Delta x}{3} \left[f(x_0) + 4f(x_1) + 2f(x_2) + \dots + 2f(x_{i-2}) + 4f(x_{i-1}) + f(x_i) \right] \quad (112)$$

Sendo

$$\Delta x = \frac{b-a}{i}$$

Onde i corresponde ao numero de intervalos determinados para o cálculo do somatório. Já a e b correspondem ao início e final, respectivamente, do eixo de referencia de contagem do comprimento da viga.

Valendo-se que $i = 4$ intervalos, tem-se:

$$\Delta x = \frac{\frac{L}{2} - 0}{4} = \frac{L}{8}$$

Com isso, a deflexão da viga é dada por:

$$2 \int_0^{L/2} \frac{x}{2} \cdot k(x) dx \cong 2 \frac{L}{24} \left[0 + 4 \frac{L}{16} \cdot k\left(\frac{L}{8}\right) + 2 \frac{L}{8} \cdot k\left(\frac{L}{4}\right) + 4 \frac{3L}{16} \cdot k\left(\frac{3L}{8}\right) + \frac{L}{4} \cdot k\left(\frac{L}{2}\right) \right]$$

Onde x corresponde ao trecho que de viga correspondente.

$$\delta = 2 \int_0^{L/2} \frac{x}{2} \cdot k(x) dx \cong \frac{L^2}{48} \left[k\left(\frac{L}{8}\right) + k\left(\frac{L}{4}\right) + 3k\left(\frac{3L}{8}\right) + k\left(\frac{L}{2}\right) \right] \quad (113)$$

Considerando um caso mais geral, aplicado a vigas isostáticas subdivididas em i partes, tem-se, de acordo com a definição do Método de Simpson apresentada em (122), tem-se:

$$\Delta x = \frac{\frac{L}{2} - 0}{i} = \frac{L}{2i}$$

Logo, a expressão geral para a equação de Simpson é:

$$\delta = 2 \int_0^{\frac{L}{2}} \frac{x}{2} \cdot k(x) dx \cong 2 \cdot \left(\frac{L}{2n} \cdot \frac{1}{3} \right) \left[\begin{aligned} & f(x_0) + f(x_i) + \\ & 4 \sum_{i=1}^{L/2} \frac{1}{2} \left(\frac{L/2}{i} \right) (2i-1) \cdot k \left[\left(\frac{L/2}{i} \right) (2i-1) \right] + \\ & 2 \sum_{i=1}^{\frac{L}{2}-i} \frac{1}{2} \left(\frac{L/2}{i} \right) (2i) \cdot k \left[\left(\frac{L/2}{i} \right) (2i) \right] \end{aligned} \right]$$

2. DOMÍNIOS E ESTÁDIOS DO CONCRETO E SUAS RELAÇÕES NUMERICAS

2.1. Domínios de deformação

A ruptura das estruturas de concreto armado é dada primeiramente pela ruptura do concreto, tendo a armadura escoado ou não. Quando o colapso acontece, é definido que a estrutura atingiu o estado limite último de ruptura. Contudo, constatou-se que deve-se limitar o alongamento da armadura tracionada, já que esta acarreta em fissuras agravantes, sem que tenha ocorrido a ruptura do concreto por compressão. (FUSCO, 1981)

Desta forma, as análises posteriores contemplam que o esgotamento da capacidade resistente da estrutura, podendo ocorrer tanto pela ruptura do concreto comprimido, quanto na pela deformação excessiva da armadura tracionada. (FUSCO, 1981)

Conforme estudos e ensaios realizados, constatou-se que a ruptura de compressão do concreto ocorre em 2‰, para quando a peça estrutural está submetida à compressão pura, e à 3,5‰ quando o sistema está em flexão. Para o caso de flexão, tem-se conhecimento que a linha neutra está variando ao longo da altura da seção transversal. (JR e SILVA, 2010)

Da mesma forma, o alongamento último referente ao aço é de 10‰. Este valor, contudo, é arbitrário, pois considera-se que o concreto não está sofrendo nenhum esforço de tração. Pesquisas realizadas por SUSSEKIND (1985) comprovaram que a relação concreto e aço submetidos à flexão, no banzo tracionado, o aço escoa à no máximo 7‰. (JR e SILVA, 2010)

2.1.1. Domínio 1

Caracteriza-se pela ruína da estrutura através de tração completa da seção transversal. O aço de tração está completamente escoado, deformado a 10‰, enquanto o concreto está também tracionado, com linha neutra variando de 0 a $-\infty$. (JR e SILVA, 2010)

Observa-se esse comportamento na Figura 16, domínio 1.

2.1.2. Domínio 2

A linha neutra encontra-se dentro da seção transversal, com a deformação do aço de tração fixa em 10‰ e a deformação de compressão do concreto variando entre 0 e 3,5‰ (Figura 16, domínio 2). Caso a seção possua armadura de compressão, esta varia desde a tração, onde a linha neutra localiza-se entre altura 0 (zero) e o C.G da armadura de compressão, até sua compressão completa, cuja linha neutra localiza-se no C.G da armadura até o limite definido pelo domínio 2. A armadura de tração da peça ocorre na ruína plástica excessiva, podendo ocorrer também ruína na compressão do concreto. (JR e SILVA, 2010)

2.1.3. Domínio 3

Caracterizada também pela linha neutra dentro dos limites da seção transversal. O concreto está na iminência da ruptura, enquanto a deformação do aço varia do limite do escoamento plástico (que varia para cada tipo de aço) até 10‰. Caso tenha aço de compressão, ao contrário do domínio 2, este caracteriza-se por estar completamente submetido à esforços de compressão. (Figura 16, domínio 3).

2.1.4. Domínio 4 e 4a

A estrutura está submetida à flexão, com a altura da linha neutra ainda dentro da seção. Observa-se que o aço de tração, nessas condições, está sendo mal aproveitado, já que sua capacidade de escoamento à tração é muito maior que o concreto, porém está submetido ainda ao regime elástico neste domínio, enquanto o concreto está na iminência da ruptura à 3,5‰. (Figura 16, domínio 4)

Este domínio caracteriza-se pela ruptura brusca, sem aviso prévio a partir das deformações. São características de seções superarmadas.

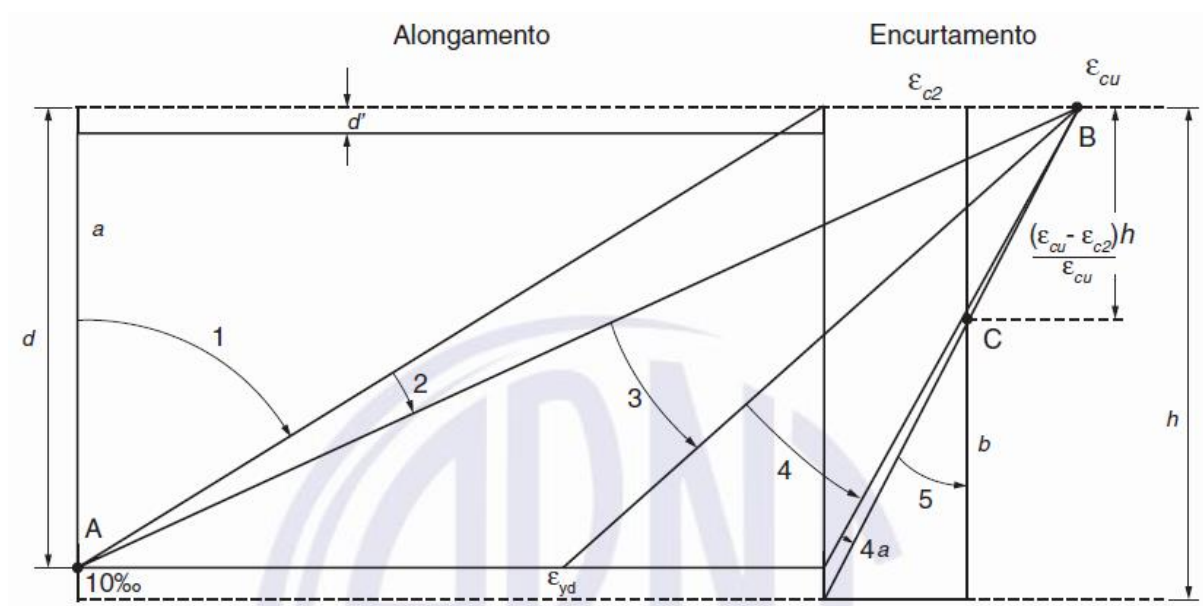
2.1.5. Domínio 5

Linha neutra localiza-se fora da seção transversal, variando de 0 a ∞ . A seção está submetida completamente à compressão, levando o concreto à ruptura

com deformação de 2‰, como pode-se observar na Figura 16, domínio 5. (JR e SILVA, 2010)

Todos os domínios acima mencionados podem ser observados na Figura 16 a seguir, extraída da NBR 6118: 2014.

Figura 16 – Domínios do Estado Limite Último de uma seção transversal



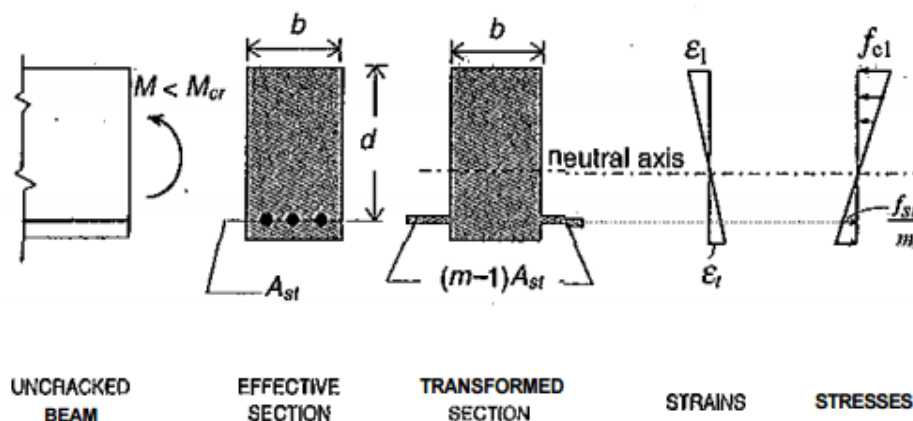
Fonte: NBR 6118: 2014

2.2. Estádios de Fissuração

2.2.1. Estádio 1

O Estádio 1 é caracterizado pela seção transversal, que está sendo analisada, não ter fissuras. Isso significa que o momento solicitante é menor que o momento de fissuração da peça e as tensões de tração geradas são menores que o f_{tk} do concreto. A distribuição de tensões para este Estádio torna-se linear, conforme na Figura 17 a seguir. (PILLAI & MENON, 2005)

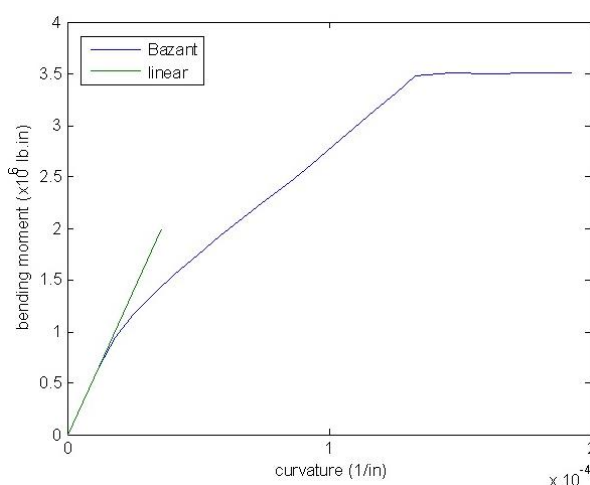
Figura 17 – Distribuição de tensões (Stresses) em seção no Estádio 1



Fonte: PILLAI & MENON (2005)

Apesar de considerar que todos os cálculos realizados para o estágio 1 estão em função da deformação de compressão do concreto (ϵ_{cm}), ambos os materiais (concreto e aço) estão submetidos ao estágio linear de tensão, ou seja, ao regime elástico. Desta forma, é possível substituir os cálculos realizados por cálculos de regime linear, onde a diferença é mínima, como se pode observar na imagem a seguir:

Figura 18 – Momento curvatura de uma seção de concreto armado



Fonte: O autor

Apesar da complexidade das equações de BAZANT (1983), pode-se determinar uma equação polinomial para o cálculo da linha neutra da seção. Esta,

por sua vez, é dependente somente da geometria da seção, módulo de elasticidade dos materiais e as áreas de aço de tração e compressão (se houver).

2.2.2. Linha Neutra

A altura da linha neutra de uma seção transversal, quando a seção está localizada nas condições de Estádio 1, pode ser determinada conforme a proporcionalidade dos materiais. Considerando a Figura 11 (a) e (b), tem-se a igualdade das deformações:

$$\frac{\varepsilon_{cm}}{k_d} = \frac{\varepsilon_{tm}}{H - k_d} = \frac{\varepsilon_{sc}}{k_d - (H - d)} = \frac{\varepsilon_{st}}{d - k_d} \quad (114)$$

Determina-se também a equação de equilíbrio da seção:

$$\begin{aligned} F_{cm} + F_{sc} &= F_{tm} + F_{st} \\ \frac{\sigma_{cm} \cdot A_{cm}}{2} + \sigma_{sc} \cdot A_{sc} &= \frac{\sigma_{tm} \cdot A_{tm}}{2} + \sigma_{st} \cdot A_{st} \\ \sigma_{cm} \cdot A_{cm} - \sigma_{tm} \cdot A_{tm} &= 2(\sigma_{st} \cdot A_{st} - \sigma_{sc} \cdot A_{sc}) \\ \varepsilon_{cm} \cdot E_c \cdot A_{cm} - \varepsilon_{tm} \cdot E_c \cdot A_{tm} &= 2(\varepsilon_{st} \cdot E_s \cdot A_{st} - \varepsilon_{sc} \cdot E_s \cdot A_{sc}) \end{aligned} \quad (115)$$

Aplicando a equação (114) na equação (115) temos:

$$\varepsilon_{cm} \cdot E_c \cdot A_{cm} - \frac{H - k_d}{k_d} \cdot \varepsilon_{cm} \cdot E_c \cdot A_{tm} = 2 \left[\frac{\frac{d - k_d}{k_d} \cdot \varepsilon_{cm} \cdot E_s \cdot A_{st} - \frac{k_d - (H - k_d)}{k_d} \cdot \varepsilon_{cm} \cdot E_s \cdot A_{sc}} \right]$$

Considerando que $\eta = \frac{E_s}{E_c}$, temos:

$$\begin{aligned} A_{cm} - \frac{H - k_d}{k_d} \cdot A_{tm} &= 2 \left(\frac{d - k_d}{k_d} \cdot \eta \cdot A_{st} - \frac{k_d - (H - k_d)}{k_d} \cdot \eta \cdot A_{sc} \right) \\ B_b \cdot k_d \cdot k_d - (H - k_d) \cdot (H - k_d) \cdot A_{tm} &= \left[\frac{2 \cdot d \cdot \eta (A_{st} - A_{sc}) + 2 \cdot H \cdot \eta \cdot A_{sc}}{k_d (2 \cdot \eta \cdot A_{st} + 2 \cdot \eta \cdot A_{sc})} - \right] \\ k_d &= \frac{2 \cdot \eta \cdot [d \cdot (A_{st} - A_{sc}) + H \cdot A_{sc}] + B_b \cdot H^2}{2(H \cdot B_b + \eta \cdot A_{st} + \eta \cdot A_{sc})} \end{aligned} \quad (116)$$

Nota-se que para a determinação da altura da linha neutra, em um sistema de deformação elástica, foi necessário utilizar apenas a relação de semelhança das

deformações dos materiais e o equilíbrio da seção. Ao final, a linha neutra, representada pela equação (116), é dada por uma equação polinomial do 1º grau.

Com a linha neutra determinada, é possível calcular as deformações do(s) aço(s) e de tração do concreto, para então finalmente poder resolver e definir o valor do momento atuante.

As deformações dos materiais no instante da aplicação do momento de fissuração são determinadas a partir da deformação de fissuração de tração do concreto, ou seja:

$$\varepsilon_{tp} = \frac{f_{tk}}{E_c} \quad (117)$$

Como o concreto chegou ao estado de fissuração, pode-se afirmar que $\varepsilon_{tp} = \varepsilon_{tm}$. Assim, as deformações de compressão do concreto, tração e compressão (se houver) do(s) aço(s) podem ser definidas a partir das equações (114) e (117) como:

$$\frac{\varepsilon_{cm}}{k_d} = \frac{\varepsilon_{sc}}{k_d - (H - d)} = \frac{\varepsilon_{st}}{d - k_d} = \frac{f_{tk}}{E_c(H - k_d)} \quad (118)$$

Com isso, é possível determinar os valores de k_1, k_2, k_3 e k_4 , equações (84), (90), (92) e (104) respectivamente e aplicar na equação do momento (110) para determinação do momento de fissuração.

2.3. Estádio 2

O estágio 2 caracteriza-se pela propagação da fissura ao longo da seção de concreto. A resistência à tração do concreto torna-se ineficaz para suportar a carga solicitante e então a tensão antes resistida pelo concreto é transferida para o aço, o que ocasiona em qualquer aumento, somente o aço de tração torna-se capaz de absorver a energia proveniente da carga. A partir de então, inicia-se o processo de fissuração da seção. (PILLAI & MENON, 2005)

Esse processo de resistência às tensões prossegue até se atingir o escoamento do aço, ou seja, a armadura de tração alonga significativamente sem ocorrer aumento de suas tensões. Desta forma, a linha neutra tende a deslocar para cima, diminuindo a área de concreto comprimido. Consequentemente, como a

tensão do aço tende a permanecer constante, as tensões no concreto buscam aumentar, para manter o sistema em equilíbrio. Por conta disso, gera-se um aumento do momento resultante já que o braço de alavanca se torna maior. (PILLAI & MENON, 2005)

Sendo a maior parte da solicitação de tração resistida pelo aço, maior a curvatura da seção fissurada, automaticamente uma elevação da linha neutra. Logo, a resistência total da estrutura tende a aumentar a medida que o posicionamento das barras sejam as mais distantes possíveis do eixo neutro, desde que se obedeça às condições de cobrimento mínimo e espaçamento entre barras, estabelecidos pela NBR 6118: 2014. (PILLAI & MENON, 2005)

É importante ressaltar que o aumento do momento de resistência entre os Estádio 1 e 3 é dado exclusivamente pelo aumento do braço alavanca. (PILLAI & MENON, 2005)

A medida que a solicitação aumenta, a curva de compressão do concreto sai da região de regime elástico e entram na faixa não linear, como pode-se ver na Figura 13. Contudo, tal comportamento depende diretamente da quantidade de aço utilizada. (PILLAI & MENON, 2005)

2.3.1. Linha Neutra

Da mesma forma, será determinado a altura da linha neutra ao longo da variação da deformação de compressão do concreto. Para isso, é utilizado a equação (108) em estado de equilíbrio, ou seja, a aplicação da força normal P deve ser igual ao equilíbrio da seção. Com isso, pode-se afirmar que:

$$P = 0 = k_1 \cdot f_{ck} \cdot B_b \cdot k_d - k_3 \cdot f_{tk} \cdot B_b \cdot (H - k_d) + \sum_{j=1}^2 \sigma_{sj} \cdot A_{sj}$$

Associa-se a isso a equação (97) à (108), determinando a equação então da linha neutra.

$$k_1 \cdot f_{ck} \cdot B_b \cdot k_d - \frac{f_{tk} \cdot B_b \cdot (H - k_d)}{f_{ck} \cdot \varepsilon_{cm}} \left[(f_{tk} + \varepsilon_{tp} \cdot |E_t|) \varepsilon_{tm} - \frac{\varepsilon_{tm}^2 \cdot |E_t|}{2} - \frac{f_{tk} \cdot \varepsilon_{tp}}{2} - \frac{\varepsilon_{tp}^2 \cdot |E_t|}{2} \right] - \varepsilon_{st} \cdot E_s \cdot A_{st} + \varepsilon_{sc} \cdot E_s \cdot A_{sc} = 0$$

Com base na equação de deformação (114), temos:

$$k_1 \cdot f_{ck} \cdot B_b \cdot k_d - \frac{B_b \cdot (H - k_d)}{\frac{H - k_d}{k_d} \varepsilon_{cm}} \left((f_{tk} + \varepsilon_{tp} \cdot |E_t|) \frac{H - k_d}{k_d} \varepsilon_{cm} - \left(\frac{H - k_d}{k_d} \varepsilon_{cm} \right)^2 \cdot \frac{|E_t|}{2} \right) - \frac{f_{tk} \cdot \varepsilon_{tp}}{2} - \frac{\varepsilon_{tp}^2 \cdot |E_t|}{2} - \frac{d - k_d}{k_d} \varepsilon_{cm} \cdot E_s \cdot A_{st} + \frac{k_d - (H - d)}{k_d} \varepsilon_{cm} \cdot E_s \cdot A_{sc} = 0$$

$$k_1 \cdot f_{ck} \cdot B_b \cdot k_d + \varepsilon_{cm} \cdot E_s \cdot A_{sc} - \frac{(H - d)}{k_d} \varepsilon_{cm} \cdot E_s \cdot A_{sc} - \frac{d}{k_d} \varepsilon_{cm} \cdot E_s \cdot A_{st} + \frac{k_d}{k_d} \varepsilon_{cm} \cdot E_s \cdot A_{st} - \frac{B_b \cdot k_d}{\varepsilon_{cm}} \left((f_{tk} + \varepsilon_{tp} \cdot |E_t|) \frac{H}{k_d} \varepsilon_{cm} - (f_{tk} + \varepsilon_{tp} \cdot |E_t|) \varepsilon_{cm} - \frac{f_{tk} \cdot \varepsilon_{tp}}{2} - \frac{\varepsilon_{tp}^2 \cdot |E_t|}{2} - \frac{|E_t|}{2} \cdot \varepsilon_{cm}^2 \cdot \frac{H^2 - 2 \cdot H \cdot k_d + k_d^2}{k_d^2} \right) = 0$$

$$k_d^2 \left(k_1 \cdot f_{ck} \cdot B_b + B_b \cdot (f_{tk} + \varepsilon_{tp} \cdot |E_t|) - \frac{B_b}{\varepsilon_{cm}} \left(-\frac{f_{tk} \cdot \varepsilon_{tp}}{2} - \frac{\varepsilon_{tp}^2 \cdot |E_t|}{2} \right) + \frac{1}{2} \cdot |E_t| \cdot B_b \cdot \varepsilon_{cm} \right) + k_d (\varepsilon_{cm} \cdot E_s \cdot (A_{sc} - A_{st}) - B_b \cdot H \cdot (f_{tk} + \varepsilon_{tp} \cdot |E_t|) - |E_t| \cdot B_b \cdot \varepsilon_{cm} \cdot H) - \left(\varepsilon_{cm} \cdot E_s \cdot ((H - d)A_{sc} + d \cdot A_{st}) - \frac{H^2}{2} |E_t| \cdot B_b \cdot \varepsilon_{cm} \right) = 0 \quad (119)$$

Nota-se que a equação (119) corresponde a um polinômio do 2º, podendo ser resolvido a partir da equação de Bhaskara. Nisso, fazendo as seguintes considerações, encontra-se o valor da linha neutra à medida que varia a deformação de compressão do concreto:

$$a_{est.2} = \left[\frac{k_1 \cdot f_{ck} \cdot B_b + B_b \cdot (f_{tk} + \varepsilon_{tp} \cdot |E_t|) - \frac{B_b}{\varepsilon_{cm}} \left(-\frac{f_{tk} \cdot \varepsilon_{tp}}{2} - \frac{\varepsilon_{tp}^2 \cdot |E_t|}{2} \right) + \frac{1}{2} \cdot |E_t| \cdot B_b \cdot \varepsilon_{cm}}{1} \right] \quad (120)$$

$$b_{est.2} = \varepsilon_{cm} \cdot E_s \cdot (A_{sc} - A_{st}) - B_b \cdot H \cdot (f_{tk} + \varepsilon_{tp} \cdot |E_t|) - |E_t| \cdot B_b \cdot \varepsilon_{cm} \cdot H \quad (121)$$

$$c_{est.2} = - \left(\varepsilon_{cm} \cdot E_s \cdot ((H - d)A_{sc} + d \cdot A_{st}) - \frac{H^2}{2} |E_t| \cdot B_b \cdot \varepsilon_{cm} \right) \quad (122)$$

Assim, a altura da linha neutra, considerando as igualdades (120), (121) e (122), tem-se:

$$k_d = \frac{-b_{est.2} + \sqrt{b_{est.2}^2 - 4 \cdot a_{est.2} \cdot c_{est.2}}}{2 \cdot a_{est.2}} \quad (123)$$

O sinal de positivo na raiz quadrada simboliza o maior resultado entre as duas raízes possíveis na equação (119).

Para a determinação do momento ao longo da variação da linha neutra do estágio 2, necessita-se determinar também a variável k_4 , correspondente à equação (99). Para esta variável estar em função da deformação de compressão do concreto, é necessário que sejam aplicadas as equações (114) e (117). Após isso, já é possível determinar o valor do momento (110) durante o estágio 2 a cada incremento de ε_{cm} . Ou seja, o processo de cálculo adotado baseia-se no incremento da deformação de compressão do concreto, este adotado como variável principal da modelagem. A cada incremento de ε_{cm} é possível determinar todas as outras informações referentes à seção. Isto é adotado para se evitar de ter processos numéricos longos, como Newton Raphson, para se determinar o momento resistente, por exemplo.

Neste caso, a cada incremental da deformação de compressão do concreto é possível determinar a altura da linha neutra. Contudo, tal deformação em questão possui um limite, limite este que é estabelecido quando a tensão de tração atuante na seção cai à zero, levando à deformação de tração máxima ε_{tf} , como pode ser observado na Figura 04. Tal deformação de compressão limite do estágio 2 pode ser determinada com base na equação (3):

$$f_{tk} - (\varepsilon_{tm} - \varepsilon_{tp})(-E_t) = 0$$

$$f_{tk} - (\varepsilon_{tf} - \varepsilon_{tp})(-E_t) = 0$$

$$\varepsilon_{tm} = \varepsilon_{tp} - \frac{f_{tk}}{E_t} \quad (124)$$

Onde ε_{tp} pode ser encontrada em (117).

2.4. Estádio 3

Caracterizado pelo prosseguimento do processo de escoamento do aço (sem aumento de tensões no mesmo) e elevação da altura da linha neutra, diminuindo a área de concreto comprimido. Neste curso, as deformações do concreto elevam-se até alcançar a tensão de compressão final do concreto (Estádio 3), resultando em um aumento das tensões de tração e um colapso por esmagamento na parte comprimida. (PILLAI & MENON, 2005)

A lógica usada para o estágio 2 aplica-se ao estágio 3. A diferença é que a equação da força normal P (110) usa-se o coeficiente k_3 da equação (101). No cálculo do momento, o coeficiente k_4 refere-se à equação (104).

Contudo é importante verificar que no Estádio 3 não somente o concreto está na iminência da ruptura, mas como também os aços de tração e/ou compressão.

Com isso, é necessário calcular a(s) deformação(ões) do(s) aço(s) em função da linha neutra, juntamente com o módulo de elasticidade do mesmo, e comparar com a tensão de escoamento do aço, pois para cada resultado encontrado, a fórmula da linha neutra torna-se diferente.

Para isto, é necessário avaliar as deformações apresentadas pelos aços. As tensões presentes nos aços são então comparadas com a tensão de escoamento do mesmo, sendo adotado o menor dos valores.

2.4.1. Linha Neutra para $\varepsilon_{sc} \cdot E_s < f_y$ e $\varepsilon_{st} \cdot E_s < f_y$

$$P = 0 = k_1 \cdot f_{ck} \cdot B_b \cdot k_d - k_3 \cdot f_{tk} \cdot B_b \cdot (H - k_d) + \sum_{j=1}^2 \sigma_{sj} \cdot A_{sj}$$

$$k_1 \cdot f_{ck} \cdot B_b \cdot k_d - k_3 \cdot f_{tk} \cdot B_b \cdot (H - k_d) + \sum_{j=1}^2 \sigma_{sj} \cdot A_{sj} = 0$$

$$\begin{aligned}
& k_1 \cdot f_{ck} \cdot B_b \cdot k_d - \frac{d - k_d}{k_d} \varepsilon_{cm} \cdot E_s \cdot A_{st} + \frac{k_d - (H - d)}{k_d} \varepsilon_{cm} \cdot E_s \cdot A_{sc} \\
& - \frac{f_{tk} \cdot B_b \cdot (H - k_d)}{f_{tk} \varepsilon_{tm}} \left[(f_{tk} + \varepsilon_{tp} \cdot |E_t|) \varepsilon_{tf} - \frac{\varepsilon_{tf}^2 \cdot |E_t|}{2} - \frac{f_{tk} \cdot \varepsilon_{tp}}{2} - \frac{\varepsilon_{tp}^2 \cdot |E_t|}{2} \right] \\
& = 0 \\
& k_1 \cdot f_{ck} \cdot B_b \cdot k_d + \varepsilon_{cm} \cdot E_s \cdot A_{sc} - \frac{(H - d)}{k_d} \varepsilon_{cm} \cdot E_s \cdot A_{sc} - \frac{d}{k_d} \varepsilon_{cm} \cdot E_s \cdot A_{st} + \varepsilon_{cm} \cdot E_s \cdot A_{st} \\
& - \frac{B_b \cdot (H - k_d)}{\varepsilon_{tm}} \left[(f_{tk} + \varepsilon_{tp} \cdot |E_t|) \varepsilon_{tf} - \frac{\varepsilon_{tf}^2 \cdot |E_t|}{2} - \frac{f_{tk} \cdot \varepsilon_{tp}}{2} - \frac{\varepsilon_{tp}^2 \cdot |E_t|}{2} \right] = 0 \\
& k_d^2 \left[k_1 \cdot f_{ck} \cdot B_b - \frac{B_b}{\varepsilon_{cm}} \left((f_{tk} + \varepsilon_{tp} \cdot |E_t|) \varepsilon_{tf} - \frac{\varepsilon_{tf}^2 \cdot |E_t|}{2} - \frac{f_{tk} \cdot \varepsilon_{tp}}{2} - \frac{\varepsilon_{tp}^2 \cdot |E_t|}{2} \right) \right] \\
& + k_d [\varepsilon_{cm} \cdot E_s \cdot A_{sc} + \varepsilon_{cm} \cdot E_s \cdot A_{st}] + [-(H - d) \varepsilon_{cm} \cdot E_s \cdot A_{sc} - d \cdot \varepsilon_{cm} \cdot E_s \cdot A_{st}] = 0 \quad (125)
\end{aligned}$$

Da mesma forma, a equação acima (125) pode ser resolvida a partir da formula de Bhaskara. Pode-se definir os coeficientes e determinar o valor da altura da linha neutra a medida que a deformação de compressão do concreto é incrementada.

$$a_{est.3} = k_1 \cdot f_{ck} \cdot B_b \cdot k_d - \frac{B_b}{\varepsilon_{cm}} \left((f_{tk} + \varepsilon_{tp} \cdot |E_t|) \varepsilon_{tf} - \frac{\varepsilon_{tf}^2 \cdot |E_t|}{2} - \frac{f_{tk} \cdot \varepsilon_{tp}}{2} - \frac{\varepsilon_{tp}^2 \cdot |E_t|}{2} \right) \quad (126)$$

$$b_{est.3} = \varepsilon_{cm} \cdot E_s \cdot A_{sc} + \varepsilon_{cm} \cdot E_s \cdot A_{st} \quad (127)$$

$$c_{est.3} = -(H - d) \varepsilon_{cm} \cdot E_s \cdot A_{sc} - d \cdot \varepsilon_{cm} \cdot E_s \cdot A_{st} \quad (128)$$

Assim, a altura da linha neutra, considerando as igualdades (126), (127) e (128), tem-se:

$$k_d = \frac{-b_{est.3} + \sqrt{b_{est.3}^2 - 4 \cdot a_{est.3} \cdot c_{est.3}}}{2 \cdot a_{est.3}} \quad (129)$$

O sinal de positivo na raiz quadrada simboliza o maior resultado entre as duas raízes possíveis na equação (125).

Desta forma, é possível calcular o momento máximo atuante na seção em função da linha neutra e das deformações dos aços de compressão e tração. Com base na equação (110), na altura da linha neutra e nas deformações apresentadas pelos aços, tem-se o momento dado por:

$$M = \left[\begin{array}{c} k_1 \cdot f_{ck} \cdot B_b \cdot k_d \left(\frac{H}{2} - k_2 k_d \right) + \\ \left(- \frac{d - k_d}{k_d} \varepsilon_{cm} \cdot E_s \cdot A_{st} + \frac{k_d - (H - d)}{k_d} \varepsilon_{cm} \cdot E_s \cdot A_{sc} \right) \left(d - \frac{H}{2} \right) - \\ k_3 \cdot f_{tk} \cdot B_b \cdot (H - k_d) \left(\frac{H}{2} - k_d (H - k_d) \right) \end{array} \right] \quad (130)$$

2.4.2. Linha Neutra para $\varepsilon_{cs} \cdot E_s < f_y$ e $\varepsilon_{st} \cdot E_s > f_y$

Neste caso, foi verificado as deformações no aço de compressão e constatou-se que são maiores que a tensão de escoamento f_y do material. Com isso, adota-se a tensão f_y para o aço de tração e no caso do aço de compressão, como permanecem no regime elástico, a Lei de Hooke continua sendo verdadeira.

Desta forma:

$$\begin{aligned} P = 0 &= k_1 \cdot f_{ck} \cdot B_b \cdot k_d - k_3 \cdot f_{tk} \cdot B_b \cdot (H - k_d) + \sum_{j=1}^2 \sigma_{sj} \cdot A_{sj} \\ k_1 \cdot f_{ck} \cdot B_b \cdot k_d - k_3 \cdot f_{tk} \cdot B_b \cdot (H - k_d) + \sum_{j=1}^2 \sigma_{sj} \cdot A_{sj} &= 0 \\ k_1 \cdot f_{ck} \cdot B_b \cdot k_d - f_y \cdot A_{st} + \frac{k_d - (H - d)}{k_d} \varepsilon_{cm} \cdot E_s \cdot A_{sc} \\ - \frac{f_{tk} \cdot B_b \cdot (H - k_d)}{f_{tk} \varepsilon_{tm}} \left[(f_{tk} + \varepsilon_{tp} \cdot |E_t|) \varepsilon_{tf} - \frac{\varepsilon_{tf}^2 \cdot |E_t|}{2} - \frac{f_{tk} \cdot \varepsilon_{tp}}{2} - \frac{\varepsilon_{tp}^2 \cdot |E_t|}{2} \right] \\ &= 0 \\ k_1 \cdot f_{ck} \cdot B_b \cdot k_d + \varepsilon_{cm} \cdot E_s \cdot A_{sc} - \frac{(H - d)}{k_d} \varepsilon_{cm} \cdot E_s \cdot A_{sc} - f_y \cdot A_{st} \\ - \frac{B_b}{\varepsilon_{cm}} \left[(f_{tk} + \varepsilon_{tp} \cdot |E_t|) \varepsilon_{tf} - \frac{\varepsilon_{tf}^2 \cdot |E_t|}{2} - \frac{f_{tk} \cdot \varepsilon_{tp}}{2} - \frac{\varepsilon_{tp}^2 \cdot |E_t|}{2} \right] &= 0 \\ k_d^2 \left[k_1 \cdot f_{ck} \cdot B_b - \frac{B_b}{\varepsilon_{cm}} \left((f_{tk} + \varepsilon_{tp} \cdot |E_t|) \varepsilon_{tf} - \frac{\varepsilon_{tf}^2 \cdot |E_t|}{2} - \frac{f_{tk} \cdot \varepsilon_{tp}}{2} - \frac{\varepsilon_{tp}^2 \cdot |E_t|}{2} \right) \right] \\ + k_d [\varepsilon_{cm} \cdot E_s \cdot A_{sc} - f_y \cdot A_{st}] + [-(H - d) \varepsilon_{cm} \cdot E_s \cdot A_{sc}] &= 0 \quad (131) \end{aligned}$$

Da mesma forma, a equação acima (131) pode ser resolvida a partir da formula de Bhaskara, conforme apresentado na equação (129). Pode-se definir os coeficientes e determinar o valor da altura da linha neutra a medida que a deformação de compressão do concreto é incrementada.

$$a_{est.3} = k_1 \cdot f_{ck} \cdot B_b \cdot k_d - \frac{B_b}{\varepsilon_{cm}} \left[(f_{tk} + \varepsilon_{tp} \cdot |E_t|) \varepsilon_{tf} - \frac{\varepsilon_{tf}^2 \cdot |E_t|}{2} - \frac{f_{tk} \cdot \varepsilon_{tp}}{2} - \frac{\varepsilon_{tp}^2 \cdot |E_t|}{2} \right] \quad (132)$$

$$b_{est.3} = \varepsilon_{cm} \cdot E_s \cdot A_{sc} \quad (133)$$

$$c_{est.3} = -(H - d) \varepsilon_{cm} \cdot E_s \cdot A_{sc} - f_y \cdot A_{st} \quad (134)$$

Desta forma, é possível calcular o momento máximo atuante na seção em função da linha neutra e das deformações dos aços de compressão e tração. Com base na equação (110), na altura da linha neutra e nas deformações apresentadas pelos aços, tem-se o momento dado por:

$$M = \left[\begin{aligned} & k_1 \cdot f_{ck} \cdot B_b \cdot k_d \left(\frac{H}{2} - k_2 k_d \right) + \\ & \left(-f_y \cdot A_{st} + \frac{k_d - (H - d)}{k_d} \varepsilon_{cm} \cdot E_s \cdot A_{sc} \right) \left(d - \frac{H}{2} \right) - \\ & k_3 \cdot f_{tk} \cdot B_b \cdot (H - k_d) \left(\frac{H}{2} - k_d (H - k_d) \right) \end{aligned} \right] \quad (135)$$

2.4.3. Linha Neutra para $\varepsilon_{sc} \cdot E_s > f_y$ e $\varepsilon_{st} \cdot E_s > f_y$

Para o caso em que ambas as áreas de aço estão em uma tensão acima da de escoamento, adota-se f_y para o cálculo da altura da linha neutra:

$$P = 0 = k_1 \cdot f_{ck} \cdot B_b \cdot k_d - k_3 \cdot f_{tk} \cdot B_b \cdot (H - k_d) + \sum_{j=1}^2 \sigma_{sj} \cdot A_{sj}$$

$$k_1 \cdot f_{ck} \cdot B_b \cdot k_d - k_3 \cdot f_{tk} \cdot B_b \cdot (H - k_d) + \sum_{j=1}^2 \sigma_{sj} \cdot A_{sj} = 0$$

$$\begin{aligned} & k_1 \cdot f_{ck} \cdot B_b \cdot k_d - f_y \cdot A_{st} + f_y \cdot A_{sc} \\ & - \frac{f_{tk} \cdot B_b \cdot (H - k_d)}{f_{tk} \cdot \varepsilon_{tm}} \left[(f_{tk} + \varepsilon_{tp} \cdot |E_t|) \varepsilon_{tf} - \frac{\varepsilon_{tf}^2 \cdot |E_t|}{2} - \frac{f_{tk} \cdot \varepsilon_{tp}}{2} - \frac{\varepsilon_{tp}^2 \cdot |E_t|}{2} \right] \\ & = 0 \end{aligned}$$

$$k_1 \cdot f_{ck} \cdot B_b \cdot k_d - f_y \cdot A_{st} + f_y \cdot A_{sc} - \frac{B_b}{\varepsilon_{cm}} \left[(f_{tk} + \varepsilon_{tp} \cdot |E_t|) \varepsilon_{tf} - \frac{\varepsilon_{tf}^2 \cdot |E_t|}{2} - \frac{f_{tk} \cdot \varepsilon_{tp}}{2} - \frac{\varepsilon_{tp}^2 \cdot |E_t|}{2} \right] = 0$$

$$k_d = \frac{-f_y \cdot A_{st} + f_y \cdot A_{sc}}{k_1 \cdot f_{ck} \cdot B_b - \frac{B_b}{\varepsilon_{cm}} \left((f_{tk} + \varepsilon_{tp} \cdot |E_t|) \varepsilon_{tf} - \frac{\varepsilon_{tf}^2 \cdot |E_t|}{2} - \frac{f_{tk} \cdot \varepsilon_{tp}}{2} - \frac{\varepsilon_{tp}^2 \cdot |E_t|}{2} \right)} \quad (136)$$

Desta forma, é possível calcular o momento máximo atuante na seção em função da linha neutra e das deformações dos aços de compressão e tração. Com base na equação (110), na altura da linha neutra e nas deformações apresentadas pelos aços, tem-se o momento dado por:

$$M = \left[\begin{array}{l} k_1 \cdot f_{ck} \cdot B_b \cdot k_d \left(\frac{H}{2} - k_2 k_d \right) + (-f_y \cdot A_{st} + f_y \cdot A_{sc}) \left(d - \frac{H}{2} \right) - \\ k_3 \cdot f_{tk} \cdot B_b \cdot (H - k_d) \left(\frac{H}{2} - k_d (H - k_d) \right) \end{array} \right] \quad (137)$$

Vale ressaltar que para a determinação do momento ao longo da variação da linha neutra do estádio 3 (em todas as situações acima expostas referentes ao estádio 3), necessita-se determinar também a variável k_4 , correspondente à equação (104).

Para esta variável estar em função da deformação de compressão do concreto, é necessário que sejam aplicadas as equações (114) e (117). Após isso, já é possível determinar o valor do momento (110) durante o estádio 2 a cada incremento de ε_{cm} .

3. SOBRE O SOFTWARE ALFAMCV

Após a análise do artigo BAZANT (1984) e suas referências, decidiu-se desenvolver um *software* que pudesse gerar os dados do comportamento de uma viga de concreto armado quando submetida à uma carga pontual no meio do vão. O *software* simula, de forma matemática, um ensaio de laboratório, onde averigua as seguintes variações: o regime pertencido (estádios 1, 2 ou 3), linha neutra, deformação de compressão do concreto, deformações de compressão e tração do aço, momento gerado e deflexão da viga. Todos estes resultados são provenientes da seção mais solicitada, que corresponde ao meio do vão.

O *software* AlfaMCV (Momento Curvatura em Vigas de Concreto Armado) é um programa simples, desenvolvido na linguagem Visual Basic, versão 2013, que a partir da geometria da viga e dados dos materiais, fornece como resultado a variação do comportamento das deformações, linha neutra e momento.

Inicia-se com um Menu Principal, conforme a Figura 19 apresentada abaixo, com 3 botões principais e 1 de sair do programa.

Figura 19 – Menu Principal de AlfaMCV



Fonte: O autor

Com relação ao botão principal, “Cálculos”, este abre uma janela (Figura 20) com todos os dados de entrada que o usuário tem que fornecer a respeito a viga de concreto armado.

Figura 20 – Janela de introdução de dados

Cálculo da Seção

Menu Principal Ajuda

Geometria da Seção e Dados dos Materiais

Características da Seção

Altura Total - H (cm):

Altura Útil Total - d (cm):

Largura - B (cm):

Vão (cm):

Características do Concreto

Resistência à Compressão Concreto - fck (MPa):

Resistência à Tração Concreto - ftk (MPa):

Módulo de Elasticidade do Concreto (MPa):

Características do Aço

Área de Aço de Compressão - As' (cm²):

Área de Aço de Tração - As (cm²):

Módulo de Elasticidade do Aço - Es (MPa):

Escoamento Aço - fy (MPa):

Diagrama da Seção: H, d, B, As', As

Calcular

Limpar Campos

Fonte: O autor

Após isso, com todas as informações inseridas corretamente, a tabela é então gerada, apresentando os valores de variação de comportamento da viga, conforme a Figura 21 a seguir.

Figura 21 – Janela de resultados

Resultado

Menu Principal Ajuda Exportar para Excel

Região Linear Região Não Linear

Índice i	Tipo de Regime	Linha Neutra (cm)	Deformação Compressão Concreto	Deformação Compressão do Aço	Deformação Tração Aço	Momento (kN.m)	Deflexão (cm)
0	Regime Linear (Estado 1)	33.08753	.0001561979	.0000000000	.0000836161	74.89087	.0822322333
1	Regime Não Linear (Estado 2)	33.10899	.0001577599	.0000000000	.0000842953	75.57142	.0829847949
2	Regime Não Linear (Estado 2)	33.10775	.0001593375	.0000000000	.0000851474	76.31595	.0838062209
3	Regime Não Linear (Estado 2)	33.10529	.0001609308	.0000000000	.0000860172	77.06239	.0846320921
4	Regime Não Linear (Estado 2)	33.10160	.0001625402	.0000000000	.0000869052	77.81076	.0854624650
5	Regime Não Linear (Estado 2)	33.09671	.0001641656	.0000000000	.0000878114	78.56108	.0862973978
6	Regime Não Linear (Estado 2)	33.09062	.0001658072	.0000000000	.0000887364	79.31337	.0871369497
7	Regime Não Linear (Estado 2)	33.08334	.0001674653	.0000000000	.0000896804	80.06766	.0879811811
8	Regime Não Linear (Estado 2)	33.07487	.0001691399	.0000000000	.0000906437	80.82397	.0888301542
9	Regime Não Linear (Estado 2)	33.06522	.0001708313	.0000000000	.0000916267	81.58231	.0896839320
10	Regime Não Linear (Estado 2)	33.05440	.0001725397	.0000000000	.0000926297	82.34273	.0905425791
11	Regime Não Linear (Estado 2)	33.04243	.0001742650	.0000000000	.0000936530	83.10525	.0914061614
12	Regime Não Linear (Estado 2)	33.02930	.0001760077	.0000000000	.0000946971	83.86988	.0922747464
13	Regime Não Linear (Estado 2)	33.01504	.0001777678	.0000000000	.0000957622	84.63667	.0931484025
14	Regime Não Linear (Estado 2)	32.99964	.0001795455	.0000000000	.0000968487	85.40565	.0940272000
15	Regime Não Linear (Estado 2)	32.98313	.0001813409	.0000000000	.0000979570	86.17683	.0949112103
16	Regime Não Linear (Estado 2)	32.96550	.0001831543	.0000000000	.0000990874	86.95026	.0958005063
17	Regime Não Linear (Estado 2)	32.94677	.0001849859	.0000000000	.0001002403	87.72597	.0966951625
18	Regime Não Linear (Estado 2)	32.92695	.0001868357	.0000000000	.0001014162	88.50399	.0975952545
19	Regime Não Linear (Estado 2)	32.90605	.0001887041	.0000000000	.0001026152	89.28436	.0985008597
20	Regime Não Linear (Estado 2)	32.88408	.0001905911	.0000000000	.0001038379	90.06711	.0994120567
21	Regime Não Linear (Estado 2)	32.86105	.0001924970	.0000000000	.0001050847	90.85229	.1003289259
22	Regime Não Linear (Estado 2)	32.83698	.0001944220	.0000000000	.0001063559	91.63992	.1012515489
23	Regime Não Linear (Estado 2)	32.81187	.0001963662	.0000000000	.0001076519	92.43006	.1021800090
24	Regime Não Linear (Estado 2)	32.78574	.0001983299	.0000000000	.0001089731	93.22273	.1031143908
25	Regime Não Linear (Estado 2)	32.75860	.0002003132	.0000000000	.0001103200	94.01798	.1040547806

Fonte: O autor

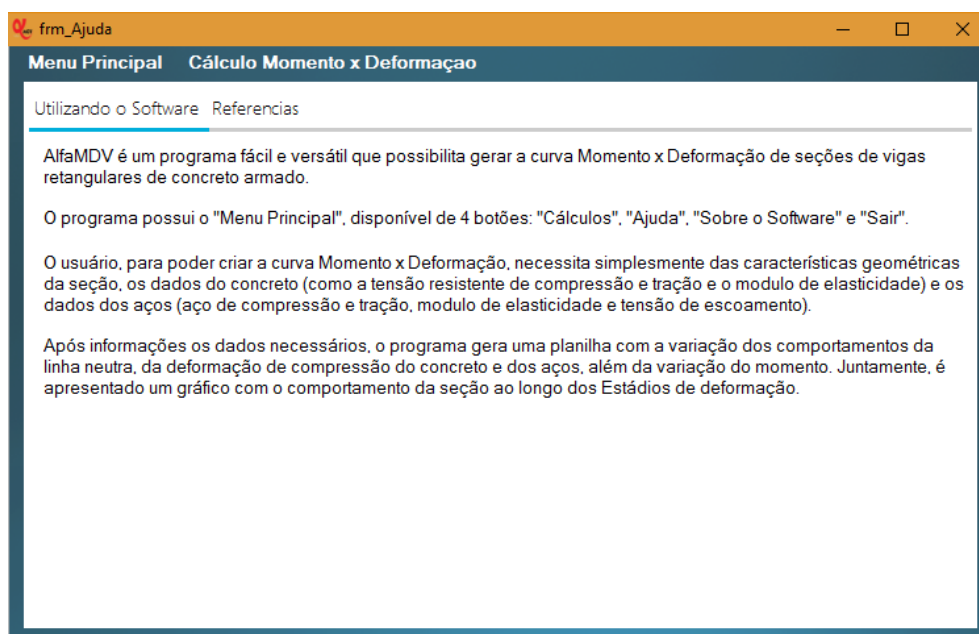
Esta tabela por completo pode ser exportada para o Excel, desde que o usuário tenha tal programa instalado em seu computador.

É importante ressaltar que no desenvolvimento do *software* AlfaMCV, a coluna de deflexão é calculada considerando que o diagrama de momento da viga é triangular. Ou seja, considera-se uma carga pontual aplicada no meio do vão da mesma, desconsiderando o peso próprio.

Esta decisão de não incluir o peso próprio da viga no código, já que é proveniente de uma simulação de ensaio laboratorial, onde deixa-se a viga assentar primeiro, fazendo com que todas as deformações provenientes do peso próprio ocorram.

O botão “Ajuda” (Figura 22) encaminha para uma janela com uma breve explanação sobre o programa, seu objetivo e resultados fornecidos.

Figura 22 – Janela de Ajuda



Fonte: O autor

Finalmente, o último botão corresponde à “Sobre o Software”, onde é apresentada a instituição de apoio e seu desenvolvedor e orientadores, Figura 23.

Figura 23 – Autores do *Software AlfaMCV*

Fonte: O autor

O software AlfaMCV pode ser baixado gratuitamente através do link:
<http://www.labbas.eng.uerj.br/pgeciv/nova/index.php?menu=downloads>

4. ANÁLISE DE RESULTADOS: DIMENSIONAMENTO DE VIGAS SUBARMADA, NORMALMENTE ARMADA, SUPERARMADA, ARMADURA DUPLA E SEM ARMADURA

Para esta etapa, é realizado o dimensionamento de 4 tipos de vigas: subarmada, normalmente armada, superarmada e armadura dupla. Estes têm por objetivo analisar e confirmar que o momento máximo solicitante e a flecha da região elástica de solicitação concorrem com os resultados apresentados pelo *software*.

Vale ressaltar que para este desenvolvimento não são consideradas os fatores de majoração das solicitações e minoração das resistências, visto que o objetivo é a reprodução de ensaios reais.

Desta forma, considera-se uma viga de concreto armado com as seguintes características comuns a todos os casos:

Tabela 03 – Dados padronizados utilizados

Características	Valores
Altura Total (H)	60 cm
Altura Útil (d)	55 cm
Largura (Bb)	25 cm
Vão da Viga (L)	200 cm
Resistência à Compressão do Concreto (f_{ck})	30 MPa
Resistência à Tração do Concreto (f_{tk})	2,8964 MPa
Módulo de Elasticidade do Concreto (E_c)	27.605,21 MPa
Tensão de Escoamento do Aço (f_y)	500 MPa
Módulo de Elasticidade do Aço (E_s)	200.000 MPa

Fonte: O autor

O cálculo da resistência à tração do concreto foi baseado de acordo com o item 8.2.5 da NBR 6118/ 2014, como pode ser observado a seguir:

$$f_{ct,m} = 0,3f_{ck}^{2/3}$$

$$f_{ct,m} = 0,3 \times 30^{2/3}$$

$$f_{ct,m} = 2,8964 \text{ MPa}$$

Com relação ao cálculo do módulo de elasticidade, E_c , baseia-se no item 8.2.8 da NBR 6118/ 2014, conforme a seguir:

$$E_{ci} = \alpha_E \cdot 5600 \sqrt{f_{ck}}$$

Considerando que o agregado graúdo usado é calcário, tem-se:

$$E_{ci} = 0,9 \cdot 5600 \sqrt{30}$$

$$E_{ci} = 27.605,21 \text{ MPa}$$

Consideraremos, portanto, a condição de dimensionamento para os limites 2, 3 e 4, utilizando como base a tabela apresentada no ANEXO E.

Além disso, todos os dimensionamentos a seguir estão sendo baseados conforme as Notas de Aula de TAVARES(2005).

4.1. Subarmadas

Segundo PFEIL (1969), o conceito de vigas subarmadas é dada quando a armadura de tração escoa antes da ruptura do sistema estrutural. Nesses casos, a altura útil é superior à mínima necessária para com armadura simples (ROCHA, 1985; PILLAI & MENON, 2005).

Neste primeiro caso, o dimensionamento é realizado conforme o limite inferior do domínio 2, ou seja, valor este que apresenta uma baixa taxa de armadura, que corresponde à $\omega = 0,015$.

Desta forma, a armadura para a viga com as condições estabelecidas na Tabela 1 é dada por:

$$A_{st} = \omega \frac{d \cdot B_b \cdot f_{ck}}{f_{yk}} \quad (138)$$

$$A_{st} = 0,015 \times \frac{55 \cdot 25 \cdot 30}{500}$$

$$A_{st} = 1,2375 \text{ cm}^2 \quad (139)$$

Teoricamente, o momento máximo resistido pela viga é dado por:

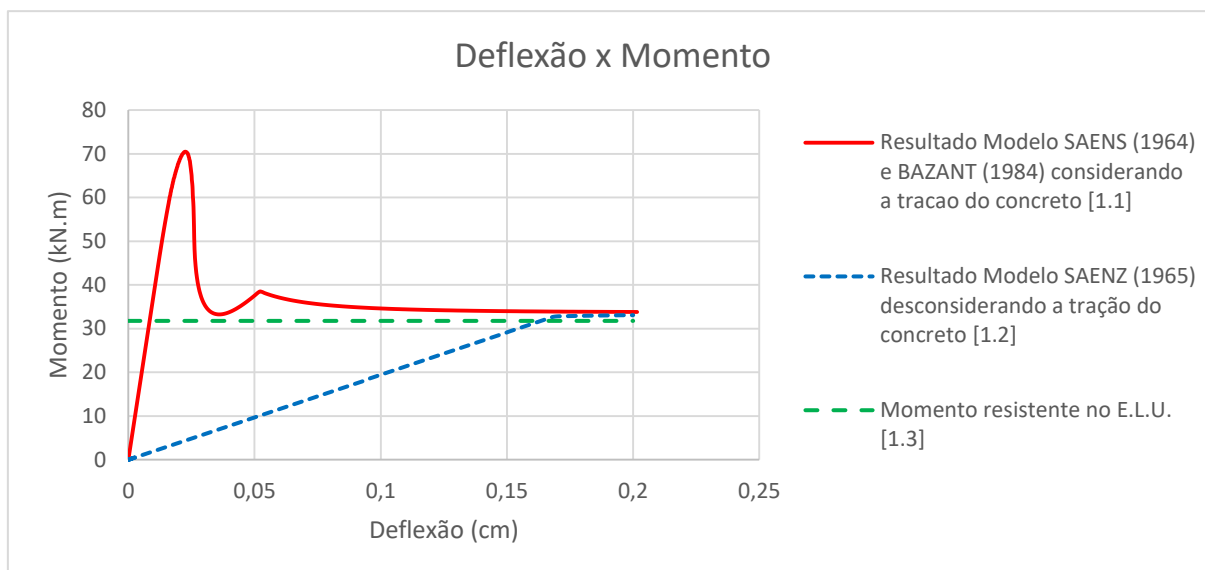
$$\mu_k = \frac{M_k}{b \cdot d^2 \cdot f_{ck}} \quad (140)$$

$$0,159 = \frac{M_k}{0,25 \cdot 0,55^2 \cdot 30000}$$

$$M_k = 31,7625 \text{ kN.m} \quad (141)$$

Com base nesses parâmetros, o gráfico apresentado é:

Gráfico 02 – Momento x Deflexão de vigas sub armadas



Fonte: O autor

O Gráfico 02 apresenta um conjunto de resultados com base nas características da Tabela 03, porém com considerações distintas. A curva [1.1] (“Resultado Modelo SAENZ(1964) e BAZANT(1984)”) é caracterizada pela consideração da tração no concreto, com base nos modelos de compressão de SAENZ (1964) e no modelo apresentado por BAZANT (1984), correspondente ao diagrama bilinear de tração. Para este, introduziu-se todas as informações da referida Tabela 03 no *software* AlfaMCV.

A curva [1.2] (“Resultado Modelo SAENZ(1965)”) corresponde à não colaboração do concreto de tração na resistência à solicitação. Esta curva é calculada também considerando o modelo de diagrama tensão – deformação do concreto de compressão, apresentada por SAENZ (1964), porém a entrada de dado da tensão de tração do concreto (f_{tk}) no *software* é nula.

Já a curva [1.3] (“Momento resistente no E.L.U”), apenas é uma apresentação do resultado do momento último da viga, com base na NBR 6118. Para esta última é válido ressaltar que não se está apresentando a deflexão com base no momento último. Esta curva é apenas demonstrativa para comparar o modelo de resolução apresentado pela Norma com os modelos utilizados por SAENZ (1964) e BAZANT (1984).

Vale ressaltar que o *software* não possui lacuna onde o se possa introduzir o coeficiente de ponderação desejado, contudo, o usuário pode entrar com os dados já multiplicados por tais coeficientes.

Já a tabela apresentada pelo *software* afirma que o momento máximo da seção corresponde à 70,46981 kN.m, conforme a Figura 24 apresentada abaixo:

Figura 24 – Tabela de resultado de viga sub armada: momento máximo

Índice	Tipo de Regime	Linha Neutra (mm)	Deformação Compressão Concreto	Deformação Compressão do Aço	Deformação Tração Aço	Momento (kN.m)	Deflexão (mm)
71	Regime Não Linear (Estado 2)	25.65647	.002147780	.000000000	.002458413	69.46854	.021033395
72	Regime Não Linear (Estado 2)	25.52101	.002166238	.000000000	.002259458	69.52485	.021148455
73	Regime Não Linear (Estado 2)	25.38303	.002190300	.000000000	.002056382	69.77144	.021265438
74	Regime Não Linear (Estado 2)	25.24345	.002212839	.000000000	.002068647	69.90594	.021384515
75	Regime Não Linear (Estado 2)	25.09923	.002234968	.000000000	.002062523	70.02775	.021423020
76	Regime Não Linear (Estado 2)	24.95327	.002257317	.000000000	.002071890	70.13628	.021465010
77	Regime Não Linear (Estado 2)	24.80452	.002279890	.000000000	.002077936	70.23090	.021512212
78	Regime Não Linear (Estado 2)	24.65259	.002302639	.000000000	.002083455	70.31593	.022005409
79	Regime Não Linear (Estado 2)	24.49829	.002325716	.000000000	.002095644	70.37945	.022131072
80	Regime Não Linear (Estado 2)	24.34362	.002348973	.000000000	.002098762	70.42428	.022264362
81	Regime Não Linear (Estado 2)	24.17976	.002372463	.000000000	.002092401	70.45587	.022400394
82	Regime Não Linear (Estado 2)	24.01562	.002396188	.000000000	.002091905	70.46981	.022530194
83	Regime Não Linear (Estado 2)	23.84904	.002420150	.000000000	.002091368	70.46481	.022661254
84	Regime Não Linear (Estado 2)	23.67688	.002444351	.000000000	.002090733	70.43986	.022794276
85	Regime Não Linear (Estado 2)	23.50198	.002468795	.000000000	.002090048	70.39381	.022929480
86	Regime Não Linear (Estado 2)	23.32316	.002493483	.000000000	.002089305	70.32532	.023066999
87	Regime Não Linear (Estado 2)	23.14022	.002518417	.000000000	.002088530	70.23298	.023206239
88	Regime Não Linear (Estado 2)	22.95292	.002543622	.000000000	.002087740	70.11519	.023347422
89	Regime Não Linear (Estado 2)	22.76101	.002569028	.000000000	.002086819	69.97016	.023490426
90	Regime Não Linear (Estado 2)	22.56419	.002594728	.000000000	.002085868	69.79932	.023635126
91	Regime Não Linear (Estado 2)	22.36212	.002620767	.000000000	.002084818	69.59623	.023782454
92	Regime Não Linear (Estado 2)	22.15443	.002646882	.000000000	.002083698	69.35953	.023932326
93	Regime Não Linear (Estado 2)	21.94086	.002673351	.000000000	.002082503	69.07294	.024084629
94	Regime Não Linear (Estado 2)	21.72229	.002700084	.000000000	.002081235	68.75709	.024239454
95	Regime Não Linear (Estado 2)	21.49870	.002727095	.000000000	.002079904	68.39629	.024396747
96	Regime Não Linear (Estado 2)	21.25718	.002754356	.000000000	.002078519	67.98636	.024556558

Fonte: O autor

Apesar da discrepância de resultados, é interessante notar que o momento de 70 kN.m corresponde ao máximo resistido pela peça. Contudo, o momento último da estrutura é de aproximadamente 33,76 kN.m (Figura 24), o que não está muito distante do resultado encontrado em (141). Nota-se que neste caso o momento final apresentado pelo *software* já corresponde a toda a seção fissurada, não suportando absorver mais energia.

Este gráfico caracteriza a capacidade do concreto de suportar a solicitação até o seu ponto de inflexão máximo (70,46 kN.m). Após isso, com a propagação das fissuras pela seção, a estrutura perde resistência progressivamente, identificando assim um aumento da altura da linha neutra (diminuição do braço de alavanca) e uma maior solicitação da região comprimida do concreto. Assim, a região de momento último (33,76 kN.m), representa uma região tracionada de concreto totalmente fissurada, sem capacidade de absorver energia da carga aplicada, o aço de tração escoado, além de uma região de concreto comprimido, Figura 25.

Com relação à curva [1.2], nesta é desconsiderada a tração do concreto. Para vigas subarmadas, é possível notar que sua dependência quanto à resistência à tração do concreto é maior, visto que enquanto a curva [1.2] segue uma trajetória quase linear até atingir o momento último, a curva [1.1] (caracterizada pela colaboração do concreto) cresce até um momento de pico de aproximadamente 70 kN.m para depois perder resistência e atingir o momento último.

Figura 25 – Momento final de uma viga subarmada

Índice	Tipo de Regime	Linha Neutra (cm)	Deformação Compressão Concreto	Deformação Compressão do Aço	Deformação Tração Aço	Momento (kN.m)	Deflexão (cm)
326	Regime Nao Linear (Estado 3..	1,11767	.0027160394	.0000000000	.1309390983	33,76568	2,03179487192
327	Regime Nao Linear (Estado 3..	1,11414	.0027431998	.0000000000	.1326766309	33,76577	2,06853266424
328	Regime Nao Linear (Estado 3..	1,11069	.0027706317	.0000000000	.1344274881	33,76585	2,08547645405
329	Regime Nao Linear (Estado 3..	1,10734	.0027983381	.0000000000	.1361916039	33,76591	2,11262528685
330	Regime Nao Linear (Estado 3..	1,10407	.0028263214	.0000000000	.1379689106	33,76595	2,13997817449
331	Regime Nao Linear (Estado 3..	1,10089	.0028545847	.0000000000	.1397593379	33,76597	2,16753409579
332	Regime Nao Linear (Estado 3..	1,09780	.0028831305	.0000000000	.1415628135	33,76598	2,19529199735
333	Regime Nao Linear (Estado 3..	1,09479	.0029119618	.0000000000	.1433792630	33,76596	2,22325079425
334	Regime Nao Linear (Estado 3..	1,09187	.0029410814	.0000000000	.1452086099	33,76593	2,25140937084
335	Regime Nao Linear (Estado 3..	1,08903	.0029704922	.0000000000	.1470507756	33,76588	2,27976658152
336	Regime Nao Linear (Estado 3..	1,08627	.0030001972	.0000000000	.1489056799	33,76581	2,30832125152
337	Regime Nao Linear (Estado 3..	1,08360	.00303031991	.0000000000	.1507773402	33,76572	2,33707217770
338	Regime Nao Linear (Estado 3..	1,08101	.0030605011	.0000000000	.1526633724	33,76561	2,36601812939
339	Regime Nao Linear (Estado 3..	1,07850	.0030911061	.0000000000	.1545459905	33,76549	2,39515784921
340	Regime Nao Linear (Estado 3..	1,07607	.0031220172	.0000000000	.1564510068	33,76535	2,42449005392
341	Regime Nao Linear (Estado 3..	1,07371	.0031532374	.0000000000	.1583683320	33,76518	2,45401343522
342	Regime Nao Linear (Estado 3..	1,07144	.0031847697	.0000000000	.1602978748	33,76500	2,48372666067
343	Regime Nao Linear (Estado 3..	1,06925	.0032166174	.0000000000	.1622395428	33,76481	2,51362837448
344	Regime Nao Linear (Estado 3..	1,06713	.0032487836	.0000000000	.1641932419	33,76459	2,54371719846
345	Regime Nao Linear (Estado 3..	1,06510	.0032812715	.0000000000	.1661588764	33,76436	2,57399173278
346	Regime Nao Linear (Estado 3..	1,06313	.0033140842	.0000000000	.1681363494	33,76410	2,6045055696
347	Regime Nao Linear (Estado 3..	1,06125	.0033472250	.0000000000	.1701256626	33,76383	2,63505223064
348	Regime Nao Linear (Estado 3..	1,05943	.0033806973	.0000000000	.1721264163	33,76354	2,66591529452
349	Regime Nao Linear (Estado 3..	1,05770	.0034145042	.0000000000	.1741388099	33,76323	2,69691827122
350	Regime Nao Linear (Estado 3..	1,05603	.0034486493	.0000000000	.1761626412	33,76291	2,72809966613
351	Regime Nao Linear (Estado 3..	1,05444	.0034831358	.0000000000	.1781978071	33,76256	2,7594579631

Fonte: O autor

A análise da deflexão da viga foi feita para o regime elástico. A formulação utilizada pela literatura está apresentada na equação (142) a seguir:

$$\delta = \frac{1}{48} \frac{Pl^3}{EI}, \text{ onde } I = \frac{B_b H^3}{12} \quad (142)$$

Para este caso em particular, tem-se que $I = 450.000 \text{ cm}^4$.

Sabendo que o momento de fissuração, de acordo com o *software*, para este caso foi de 44,1713 kN.m e que a carga aplicada é uma carga pontual no meio do vão (caracterizando um diagrama triangular), tem-se que a carga P pontual aplicada vale:

$$P = 88,3426 \text{ kN}$$

Assim, a deflexão da região elástica, conforme a fórmula (142) é de:

$$\delta = 0,0118 \text{ cm}$$

Já o *software* apresenta o seguinte resultado:

Figura 26 – Deflexão encontrada para região elástica de vigas sub armadas

Índice i	Tipo de Regime	Linha Neutra (cm)	Deformação Compressão Concreto	Deformação Compressão do Aço	Deformação Tração Aço	Momento (kN.m)	Deflexão (cm)
0	Regime Linear (Estado 1)	30,14854	,000105954	,000000000	,0000073402	44,17130	0,011710350
1	Regime Nao Linear (Estado 2)	30,15652	,0001070261	,0000000000	,0000881674	44,59652	,0118290911
2	Regime Nao Linear (Estado 2)	30,15469	,0001080963	,0000000000	,0000890637	45,03448	,0119460120
3	Regime Nao Linear (Estado 2)	30,15078	,0001091773	,0000000000	,0000899801	45,47184	,0120632803
4	Regime Nao Linear (Estado 2)	30,14518	,0001102691	,0000000000	,0000909173	45,90854	,0121808947
5	Regime Nao Linear (Estado 2)	30,13789	,0001113718	,0000000000	,0000918756	46,34453	,0122988541
6	Regime Nao Linear (Estado 2)	30,12890	,0001124855	,0000000000	,0000928556	46,77976	,0124171574
7	Regime Nao Linear (Estado 2)	30,11821	,0001136103	,0000000000	,0000938578	47,21418	,0125358034
8	Regime Nao Linear (Estado 2)	30,10581	,0001147464	,0000000000	,0000948827	47,64772	,0126547909
9	Regime Nao Linear (Estado 2)	30,09170	,0001158939	,0000000000	,0000959308	48,08034	,0127741189
10	Regime Nao Linear (Estado 2)	30,07587	,0001170528	,0000000000	,0000970027	48,51198	,0128937863
11	Regime Nao Linear (Estado 2)	30,05831	,0001182234	,0000000000	,0000980990	48,94258	,0130137919
12	Regime Nao Linear (Estado 2)	30,03903	,0001194056	,0000000000	,0000992202	49,37209	,0131341347
13	Regime Nao Linear (Estado 2)	30,01802	,0001205997	,0000000000	,0001003670	49,80044	,0132548135
14	Regime Nao Linear (Estado 2)	29,99527	,0001218057	,0000000000	,0001015399	50,22757	,0133758274
15	Regime Nao Linear (Estado 2)	29,97077	,0001230237	,0000000000	,0001027397	50,65342	,0134971752
16	Regime Nao Linear (Estado 2)	29,94454	,0001242539	,0000000000	,0001039669	51,07792	,0136188558
17	Regime Nao Linear (Estado 2)	29,91655	,0001254965	,0000000000	,0001052222	51,50101	,0137408684
18	Regime Nao Linear (Estado 2)	29,88680	,0001267514	,0000000000	,0001065063	51,92263	,0138632177
19	Regime Nao Linear (Estado 2)	29,85530	,0001280190	,0000000000	,0001078200	52,34270	,0139858849
20	Regime Nao Linear (Estado 2)	29,82204	,0001292992	,0000000000	,0001091639	52,76115	,0141088869
21	Regime Nao Linear (Estado 2)	29,78701	,0001305921	,0000000000	,0001105387	53,17792	,0142322166
22	Regime Nao Linear (Estado 2)	29,75021	,0001318981	,0000000000	,0001119454	53,59292	,0143558732
23	Regime Nao Linear (Estado 2)	29,71163	,0001332170	,0000000000	,0001133846	54,00609	,0144798557
24	Regime Nao Linear (Estado 2)	29,67128	,0001345492	,0000000000	,0001148572	54,41735	,0146041630
25	Regime Nao Linear (Estado 2)	29,62915	,0001358947	,0000000000	,0001163640	54,82661	,0147287942

Fonte: O autor

Comparando com o resultado apresentado pelo *software*, que foi de 0,01171 cm, obteve-se um valor bastante aproximado com relação à teoria (0,0118 cm). A discrepância foi de aproximadamente 0,768%.

4.2. Normalmente Armada

Vigas normalmente armadas correspondem àquelas onde as deformações tanto do aço quanto do concreto atingem o ápice simultaneamente. (PILLAI & MENON, 2005)

Para este caso, o dimensionamento é dado pelo limite entre os domínios 2 e 3. Desta forma, será considerado uma taxa de armadura de $\omega = 0,178$.

Com base na equação (128), tem-se:

$$A_{st} = 0,178 \times \frac{55 \cdot 25 \cdot 30}{500}$$

$$A_{st} = 14,685 \text{ cm}^2 \quad (143)$$

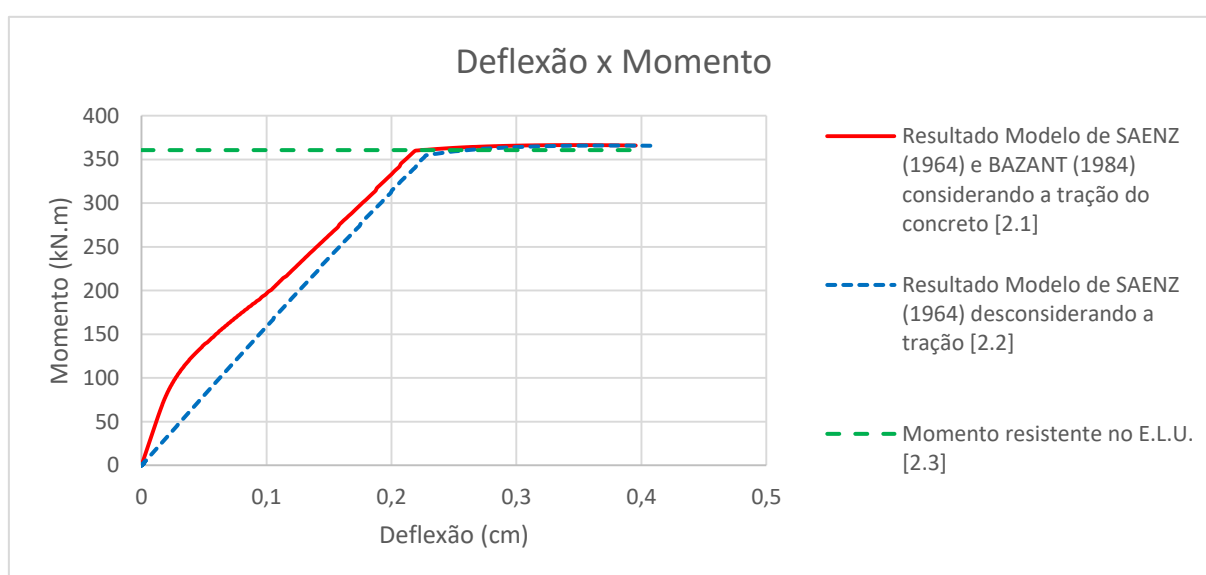
Conforme apresentado na equação (140), o momento característico da armadura calculada em (143) vale:

$$0,159 = \frac{M_k}{0,25 \cdot 0,55^2 \cdot 30000}$$

$$M_k = 360,73 \text{ kN.m} \quad (144)$$

Utilizando esses parâmetros como dados de entrada do *software* AlfaMCV e exportando os resultados para o Excel, temos o seguinte gráfico:

Gráfico 03 – Momento x Deflexão de vigas normalmente armadas



Fonte: O autor

No Gráfico 03 acima, observa-se o comportamento da viga considerando a área de concreto tracionado (curva [2.1]) e a consideração de f_{tk} zero (curva [2.2]).

Este gráfico apresenta a contribuição do concreto de tração nos estágios iniciais de solicitação. Após o início da fissuração, a região tracionada possui menos área de contribuição, automaticamente menor influência no momento resistente total. Isso pode ser observado no gráfico acima onde as curvas [2.1] e [2.2] tendem a se aproximarem à medida que o momento solicitante aumenta. O concreto comprimido torna-se mais solicitado e o aço, devido à queda de contribuição do concreto de tração, torna-se mais solicitado também.

A diferença entre os momentos últimos apresentados pelo *software* e pela teoria é referente à aproximação de cálculos considerada (vide Gráfico 03). Para o

programa, o diagrama utilizado corresponde ao apresentado por SAENZ (1964), equação (57). Já a teoria sugere a aproximação do diagrama parábola retângulo para retangular.

Paralelamente a estas duas curvas, é apresentada a reta referente ao momento último calculado com base na NBR 6118:2014 (“Momento resistente no E.L.U”, curva [2.3]), entretanto, sem as condições de inserção dos coeficientes de segurança, já que o objetivo corresponde à uma representação de um comportamento de viga próximo à realidade. Além disso, a curva é somente representativa com relação ao momento último calculado, ou seja, não está sendo considerado a evolução da flecha gerada pela flexão.

De acordo com o Gráfico 03 e com o resultado da tabela do programa (ver Figura 27 a seguir), o momento máximo resistido pela viga corresponde à 366,48 kN.m.

Figura 27 - Tabela de resultado de viga normalmente armadas

Índice i	Tipo de Regime	Linha Neutra (cm)	Deformacao Compressao Concreto	Deformacao Compressao do Aco	Deformacao Tacao Aco	Momento (kN.m)	Deflexão (cm)
312	Regime Nao Linear (Estado 3)	13.43646	.0026129100	.0000000000	.0080826224	366.36351	.3253164719
313	Regime Nao Linear (Estado 3)	13.39028	.0026390391	.0000000000	.0082006992	366.38697	.3275014099
314	Regime Nao Linear (Estado 3)	13.34521	.0026554294	.0000000000	.0083196792	366.40786	.3297039924
315	Regime Nao Linear (Estado 3)	13.30124	.0026920837	.0000000000	.0084395554	366.42616	.3319241504
316	Regime Nao Linear (Estado 3)	13.25835	.0027190046	.0000000000	.0085603202	366.44189	.3341618123
317	Regime Nao Linear (Estado 3)	13.21654	.0027461946	.0000000000	.0086819661	366.45504	.3364169029
318	Regime Nao Linear (Estado 3)	13.17579	.0027736566	.0000000000	.0088044853	366.46561	.3386893445
319	Regime Nao Linear (Estado 3)	13.13609	.0028013931	.0000000000	.0089278698	366.47359	.3409790563
320	Regime Nao Linear (Estado 3)	13.09743	.0028294071	.0000000000	.0090521111	366.47899	.3432859548
321	Regime Nao Linear (Estado 3)	13.05981	.0028577011	.0000000000	.0091772010	366.48181	.3456099535
322	Regime Nao Linear (Estado 3)	13.02232	.0028857281	.0000000000	.0093031106	366.48206	.3479509635
323	Regime Nao Linear (Estado 3)	12.98763	.0029151409	.0000000000	.0094298912	366.47970	.3503089929
324	Regime Nao Linear (Estado 3)	12.95306	.0029442923	.0000000000	.0095574736	366.47477	.3526336476
325	Regime Nao Linear (Estado 3)	12.91948	.0029737353	.0000000000	.0096858685	366.46726	.3550751307
326	Regime Nao Linear (Estado 3)	12.88688	.0030030476	.0000000000	.0098150666	366.45717	.3574983429
327	Regime Nao Linear (Estado 3)	12.85527	.0030335073	.0000000000	.0099450581	366.44449	.3599078826
328	Regime Nao Linear (Estado 3)	12.82462	.0030638424	.0000000000	.0100758332	366.42924	.3623489458
329	Regime Nao Linear (Estado 3)	12.79493	.0030944808	.0000000000	.0102073819	366.41140	.3648063264
330	Regime Nao Linear (Estado 3)	12.76620	.0031254256	.0000000000	.0103396940	366.39099	.3672799159
331	Regime Nao Linear (Estado 3)	12.73841	.0031566799	.0000000000	.0104727591	366.36799	.3697696039
332	Regime Nao Linear (Estado 3)	12.71156	.0031882467	.0000000000	.0106065668	366.34242	.3722752778
333	Regime Nao Linear (Estado 3)	12.68563	.0032201292	.0000000000	.0107411064	366.31427	.3747968233
334	Regime Nao Linear (Estado 3)	12.66063	.0032523305	.0000000000	.0108763669	366.28354	.3773341240
335	Regime Nao Linear (Estado 3)	12.63653	.0032848538	.0000000000	.0110123375	366.25024	.3798870616
336	Regime Nao Linear (Estado 3)	12.61335	.0033177023	.0000000000	.0111490070	366.21436	.3824555164
337	Regime Nao Linear (Estado 3)	12.59106	.0033508793	.0000000000	.0112863641	366.17591	.3850393667

Fonte: O autor

Sabendo que o momento de fissuração, de acordo com o *software*, para este caso foi de 52,28 kN.m (Figura 28), tem-se que a carga P aplicada vale:

$$P = 104,5699 \text{ kN}$$

Assim, a deflexão máxima com base em (142) é de:

$$\delta = 0,01402 \text{ cm}$$

Figura 28 - Deflexão encontrada para região elástica de vigas normalmente armadas

Índice i	Tipo de Regime	Linha Neutra (cm)	Deformação Compressão Concreto	Deformação Compressão do Aço	Deformação Tração Aço	Momento (kN.m)	Deflexão (cm)
0	Regime Linear (Estado 1)	31,65577	,0001171806	,0000000000	,0000964137	52,26495	0,0123390473
1	Regime Nao Linear (Estado 2)	31,66672	,0001183524	,0000000000	,0000872067	52,78265	0,0124569084
2	Regime Nao Linear (Estado 2)	31,66494	,0001195360	,0000000000	,0000889005	53,30302	0,0125803356
3	Regime Nao Linear (Estado 2)	31,66175	,0001207313	,0000000000	,0000889925	53,82427	0,0127043739
4	Regime Nao Linear (Estado 2)	31,65716	,0001219386	,0000000000	,0000899131	54,34639	0,0128290297
5	Regime Nao Linear (Estado 2)	31,65116	,0001231580	,0000000000	,0000908628	54,86938	0,0129543096
6	Regime Nao Linear (Estado 2)	31,64378	,0001243896	,0000000000	,0000918118	55,39323	0,0130802203
7	Regime Nao Linear (Estado 2)	31,63499	,0001256335	,0000000000	,0000927905	55,91794	0,0132067688
8	Regime Nao Linear (Estado 2)	31,62482	,0001268898	,0000000000	,0000937894	56,44351	0,0133339623
9	Regime Nao Linear (Estado 2)	31,61326	,0001281587	,0000000000	,0000948088	56,96992	0,0134618089
10	Regime Nao Linear (Estado 2)	31,60031	,0001294403	,0000000000	,0000958492	57,49719	0,0135903135
11	Regime Nao Linear (Estado 2)	31,58599	,0001307347	,0000000000	,0000969108	58,02531	0,0137194864
12	Regime Nao Linear (Estado 2)	31,57029	,0001320421	,0000000000	,0000979942	58,55427	0,0138493346
13	Regime Nao Linear (Estado 2)	31,55323	,0001333625	,0000000000	,0000990998	59,08407	0,0139798663
14	Regime Nao Linear (Estado 2)	31,53480	,0001346961	,0000000000	,0001002280	59,61472	0,0141110898
15	Regime Nao Linear (Estado 2)	31,51502	,0001360431	,0000000000	,0001013792	60,14621	0,0142430136
16	Regime Nao Linear (Estado 2)	31,49388	,0001374035	,0000000000	,0001025540	60,67855	0,0143756465
17	Regime Nao Linear (Estado 2)	31,47140	,0001387775	,0000000000	,0001037526	61,21172	0,0145089974
18	Regime Nao Linear (Estado 2)	31,44758	,0001401653	,0000000000	,0001049757	61,74574	0,0146430755
19	Regime Nao Linear (Estado 2)	31,42242	,0001415670	,0000000000	,0001062237	62,28060	0,0147778902
20	Regime Nao Linear (Estado 2)	31,39594	,0001429826	,0000000000	,0001074970	62,81631	0,0149134512
21	Regime Nao Linear (Estado 2)	31,36814	,0001444125	,0000000000	,0001087962	63,35286	0,0150497893
22	Regime Nao Linear (Estado 2)	31,33903	,0001458566	,0000000000	,0001101218	63,89026	0,0151868517
23	Regime Nao Linear (Estado 2)	31,30861	,0001473152	,0000000000	,0001114742	64,42852	0,0153247117
24	Regime Nao Linear (Estado 2)	31,27689	,0001487883	,0000000000	,0001128540	64,96763	0,0154633599
25	Regime Nao Linear (Estado 2)	31,24388	,0001502762	,0000000000	,0001142617	65,50759	0,0156028043

Fonte: O autor

Analisando o resultado emitido por AlfaMCV, obteve-se uma deflexão de 0,012339 cm quando comparados com 0,01402 cm da teoria. Esta discrepância corresponde à 14,55%.

4.3. Superarmada

Neste contexto, a viga é caracterizada por possuir armadura em excesso, fazendo com que o concreto atinja primeiro sua deformação máxima, ocasionando o colapso por compressão, enquanto o aço não escoar (PILLAI & MENON, 2005). Com isso, considera-se que a estrutura está entre os limites 3 e 4. Assim, com base na tabela apresentada no ANEXO E e na equação (138), a armadura de tração vale:

$$A_{st} = 0,433 \times \frac{55 \cdot 25 \cdot 30}{500}$$

$$A_{st} = 35,72 \text{ cm}^2 \quad (145)$$

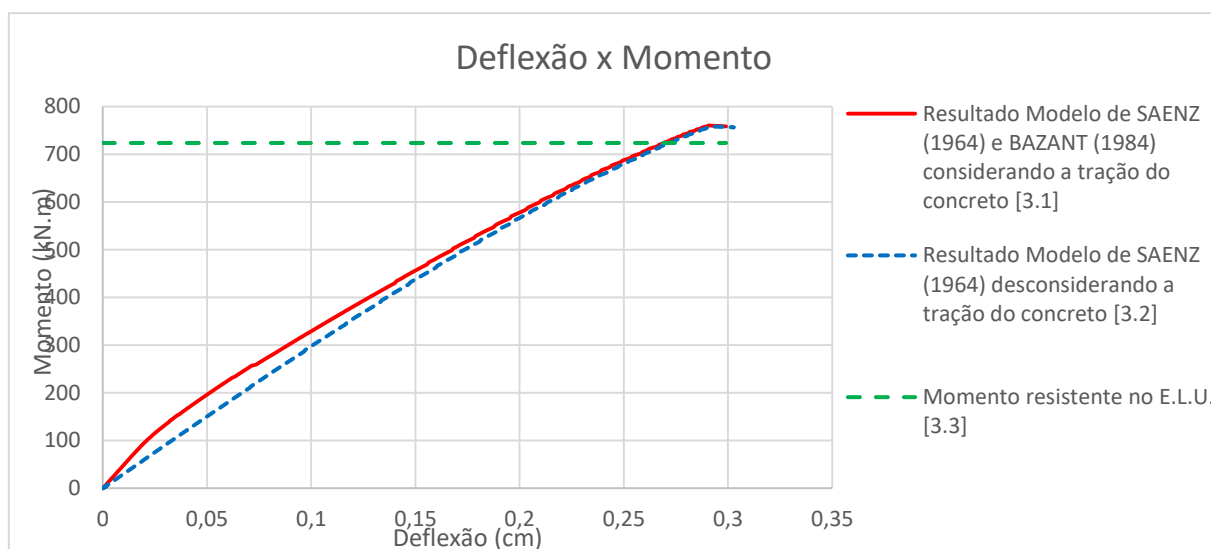
Já o momento, de acordo com a equação (140), tem-se:

$$0,319 = \frac{M_k}{0,25 \cdot 0,55^2 \cdot 30000}$$

$$M_k = 723,73 \text{ kN.m} \quad (146)$$

Tem-se o seguinte gráfico resultante destes parâmetros:

Gráfico 04 – Momento x Deflexão de vigas superarmadas



Fonte: O autor

Nota-se no Gráfico 04 que estruturas superarmadas não possuem uma transição visível do estágio 2 para 3. Ou seja, a derivada da curva não tende à zero.

Além disso, nota-se que as curvas [3.1] ("Resultado Modelo de SAENZ(1964) e BAZANT(1984) considerando a tração do concreto") e [3.2] ("Resultado Modelo de SAENZ(1964) desconsiderando a tração do concreto") se aproximam mais em comparação com os gráficos apresentados em vigas subarmadas e normalmente armadas. Isto ocorre por conta da alta taxa de armadura na seção, ainda com o auxílio da região de compressão do concreto, como pode ser analisado na equação (110). Estes dois fatores são numericamente muito maiores que a resistência à tração do concreto, ocasionando uma pequena diferença entre as duas curvas apresentadas no Gráfico 04.

De acordo com o resultado fornecido pelo *software*, o momento resultante apresentado em (146) está razoavelmente próximo com o programa, que foi de 760 kN.m.

Este valor de momento possui pouca influência da resistência à tração do concreto, já que no estágio final apenas 27 cm² de concreto tracionado está colaborando na resistência à solicitação. Esse valor de área tracionada foi obtido a

partir da distribuição de deformações na seção, observando-se o valor correspondente à deformação máxima de tração do concreto.

Como esperado, o resultado obtido analiticamente é menor que o apresentado pelo *software* (Figura 29), já que o programa utiliza cálculos numéricos precisos para determinação da resistência máxima da estrutura, como no caso o uso da equação (57) no cálculo do momento. Em contrapartida, a teoria simplificada apresenta a condensação para o diagrama retangular de tensões, fazendo com que a viga esteja a favor da segurança.

Figura 29- Tabela de resultado de viga super armadas

Índice i	Tipo de Regime	Linha Neutra (cm)	Deformação Compressão Concreto	Deformação Compressão do Aço	Deformação Tração Aço	Momento (kN.m)	Deflexão (cm)
302	Regime Nao Linear (Estado 3..	29.73803	.0027101391	.0000000000	.0023022190	717.07873	2648745466
303	Regime Nao Linear (Estado 3..	29.80139	.0027372405	.0000000000	.0023144775	719.96283	2669261536
304	Regime Nao Linear (Estado 3..	29.86544	.0027646129	.0000000000	.0023266797	722.81171	2688447581
305	Regime Nao Linear (Estado 3..	29.93018	.0027922591	.0000000000	.0023388239	725.62472	2699001998
306	Regime Nao Linear (Estado 3..	29.99561	.0028201817	.0000000000	.0023509085	728.40120	2718339194
307	Regime Nao Linear (Estado 3..	30.06172	.0028483835	.0000000000	.0023629317	731.14048	2727518555
308	Regime Nao Linear (Estado 3..	30.12852	.0028768673	.0000000000	.0023748917	733.84193	2748487940
309	Regime Nao Linear (Estado 3..	30.19600	.0029056360	.0000000000	.0023867869	736.50490	2757757159
310	Regime Nao Linear (Estado 3..	30.26416	.0029346923	.0000000000	.0023986156	739.12878	2778895687
311	Regime Nao Linear (Estado 3..	30.33300	.0029640393	.0000000000	.0024103761	741.71293	2785124080
312	Regime Nao Linear (Estado 3..	30.40253	.0029936797	.0000000000	.0024220666	744.25674	2809565049
313	Regime Nao Linear (Estado 3..	30.47273	.0030236165	.0000000000	.0024336857	746.75961	2815861385
314	Regime Nao Linear (Estado 3..	30.54361	.0030538526	.0000000000	.0024453215	749.22094	2838966689
315	Regime Nao Linear (Estado 3..	30.61517	.0030843911	.0000000000	.0024567024	751.64014	2846862480
316	Regime Nao Linear (Estado 3..	30.68740	.0031152351	.0000000000	.0024680969	754.01665	285967657
317	Regime Nao Linear (Estado 3..	30.76030	.0031463874	.0000000000	.0024794132	756.34988	2876581534
318	Regime Nao Linear (Estado 3..	30.83367	.0031778513	.0000000000	.0024906499	758.63929	2896390742
319	Regime Nao Linear (Estado 3..	30.88580	.0032096298	.0000000000	.0025059292	760.49567	2905520716
320	Regime Nao Linear (Estado 3..	30.82423	.0032417261	.0000000000	.0025425196	760.31878	2915927800
321	Regime Nao Linear (Estado 3..	30.76489	.0032741434	.0000000000	.0025792143	760.12663	2926399312
322	Regime Nao Linear (Estado 3..	30.70775	.0033068848	.0000000000	.0026160069	759.91924	2936934762
323	Regime Nao Linear (Estado 3..	30.65280	.0033399536	.0000000000	.0026528907	759.69661	2947533653
324	Regime Nao Linear (Estado 3..	30.60002	.0033733532	.0000000000	.0026898592	759.45875	2958195480
325	Regime Nao Linear (Estado 3..	30.54940	.0034070867	.0000000000	.0027269058	759.20565	2968919733
326	Regime Nao Linear (Estado 3..	30.50091	.0034411576	.0000000000	.0027640236	758.93733	2979705895
327	Regime Nao Linear (Estado 3..	30.45454	.0034755691	.0000000000	.0028012058	758.65379	2990553445

Fonte: O autor

Sabendo que o momento de fissuração, de acordo com o *software*, para este caso foi de 64,62818 kN.m (Figura 30), tem-se que a carga P aplicada vale:

$$P = 129,25 \text{ kN}$$

Assim, a deflexão máxima (Equação 142) é de:

$$\delta = 0,01734 \text{ cm}$$

Figura 30 - Deflexão encontrada para região elástica de vigas super armadas

Índice i	Tipo de Regime	Linha Neutra (cm)	Deformação Compressão Concreto	Deformação Compressão do Aço	Deformação Tração Aço	Momento (kN.m)	Deflexão (cm)
0	Regime Linear (Estado 1)	33,67854	,0001342459	,0000000000	,0000845913	64,62018	,0132872873
1	Regime Nao Linear (Estado 2)	33,69376	,0001355914	,0000000000	,0000857412	65,23000	,0134117890
2	Regime Nao Linear (Estado 2)	33,69253	,0001369474	,0000000000	,0000866068	65,87508	,0135449178
3	Regime Nao Linear (Estado 2)	33,69021	,0001383168	,0000000000	,0000874884	66,52302	,0136789363
4	Regime Nao Linear (Estado 2)	33,68680	,0001397000	,0000000000	,0000883864	67,17387	,0138138565
5	Regime Nao Linear (Estado 2)	33,68232	,0001410970	,0000000000	,0000893009	67,82765	,0139486904
6	Regime Nao Linear (Estado 2)	33,67678	,0001425080	,0000000000	,0000902322	68,48441	,0140864507
7	Regime Nao Linear (Estado 2)	33,67018	,0001439330	,0000000000	,0000911806	69,14420	,0142241500
8	Regime Nao Linear (Estado 2)	33,66253	,0001453724	,0000000000	,0000921463	69,80706	,0143628011
9	Regime Nao Linear (Estado 2)	33,65385	,0001468261	,0000000000	,0000931297	70,47303	,0145024171
10	Regime Nao Linear (Estado 2)	33,64414	,0001482944	,0000000000	,0000941309	71,14216	,0146430114
11	Regime Nao Linear (Estado 2)	33,63342	,0001497773	,0000000000	,0000951503	71,81450	,0147845975
12	Regime Nao Linear (Estado 2)	33,62169	,0001512751	,0000000000	,0000961881	72,49009	,0149271891
13	Regime Nao Linear (Estado 2)	33,60896	,0001527878	,0000000000	,0000972446	73,16897	,0150708003
14	Regime Nao Linear (Estado 2)	33,59525	,0001543157	,0000000000	,0000983201	73,85122	,0152154451
15	Regime Nao Linear (Estado 2)	33,58056	,0001558589	,0000000000	,0000994149	74,53686	,0153611382
16	Regime Nao Linear (Estado 2)	33,56491	,0001574174	,0000000000	,0001005293	75,22595	,0155078940
17	Regime Nao Linear (Estado 2)	33,54831	,0001589916	,0000000000	,0001016635	75,91856	,0156557276
18	Regime Nao Linear (Estado 2)	33,53076	,0001605815	,0000000000	,0001028179	76,61472	,0158046540
19	Regime Nao Linear (Estado 2)	33,51229	,0001621874	,0000000000	,0001039928	77,31450	,0159546886
20	Regime Nao Linear (Estado 2)	33,49289	,0001638092	,0000000000	,0001051884	78,01794	,0161058469
21	Regime Nao Linear (Estado 2)	33,47259	,0001654473	,0000000000	,0001064050	78,72512	,0162581448
22	Regime Nao Linear (Estado 2)	33,45140	,0001671018	,0000000000	,0001076430	79,43608	,0164115984
23	Regime Nao Linear (Estado 2)	33,42932	,0001687728	,0000000000	,0001089027	80,15088	,0165662238
24	Regime Nao Linear (Estado 2)	33,40637	,0001704605	,0000000000	,0001101844	80,86959	,0167220377
25	Regime Nao Linear (Estado 2)	33,38256	,0001721651	,0000000000	,0001114884	81,59227	,0168790567

Fonte: O autor

De acordo com o *software* AlfaMCV, a deflexão para o momento de fissuração de vigas super armadas é de 0,01328 cm quando comparado com a literatura, 0,01734 cm. Esta discrepância corresponde à 30,58%. Imagina-se que essa diferença se deve ao fato de que a flecha teórica não leva em conta a contribuição da armadura no seu cálculo, sendo que neste caso tal contribuição é de extrema relevância.

4.4. Vigas com Armadura Dupla

A quarta situação corresponde à análise de vigas com armadura dupla. Para este caso considerou como base um momento característico de 1.000 kN.m. Primeiro, confirma-se que a estrutura apresentada na Tabela 03 submetida ao momento solicitante característica de 1.000 kN.m está localizada no domínio 4, conforme especifica a tabela no ANEXO E. Desta forma:

$$\mu_k = \frac{100.000}{25 \times 55^2 \times 3,0}$$

$$\mu_k = 0,3526 \text{ (domínio 4)}$$

Com isso, com base nas equações (138) e (140), os momentos referentes às armaduras de tração e compressão, respectivamente, valem:

$$M_{k,lim} = 0,319 \times 25 \times 55^2 \times 3,0$$

$$M_{k,lim} = 723,73 \text{ kN.m} \quad (147)$$

$$\Delta M = M_k - M_{k,lim}$$

$$\Delta M = 1.000 - 723,73$$

$$\Delta M = 276,27 \text{ kN.m} \quad (148)$$

Para o cálculo da tensão da armadura de compressão, é necessário averiguar o coeficiente adimensional μ_k referente à tal armadura, juntamente com a relação $\frac{d'}{d}$. Com isso:

$$\frac{d'}{d} = \frac{5}{55} \cong 0,1$$

$$\mu_k = \frac{276,27}{25 \times 55^2 \times 3,0} = 0,121$$

Com base nestes dois valores e na Tabela apresentada no ANEXO E, tem-se para a tensão da armadura de compressão:

$$\sigma_{sc} = 287 \text{ MPa}$$

Como a tabela apresenta as tensões já com o coeficiente de minoração da tensão do aço, é necessário determinar a real tensão neste material, já que o objetivo é a caracterização de um ensaio real:

$$\sigma_{sc} = 287 \times 1,15 = 330,05 \text{ MPa} \quad (149)$$

Desta forma, a armadura de compressão da viga, com base em (148) e (149), é dada por:

$$A_{sc} = \frac{1}{\sigma_{sc}} \cdot \frac{\Delta M}{d - d'}$$

$$A_{sc} = \frac{1}{33,005} \cdot \frac{27627}{55 - 5}$$

$$A_{sc} = 16,74 \text{ cm}^2 \quad (150)$$

Já a armadura de tração é determinada por:

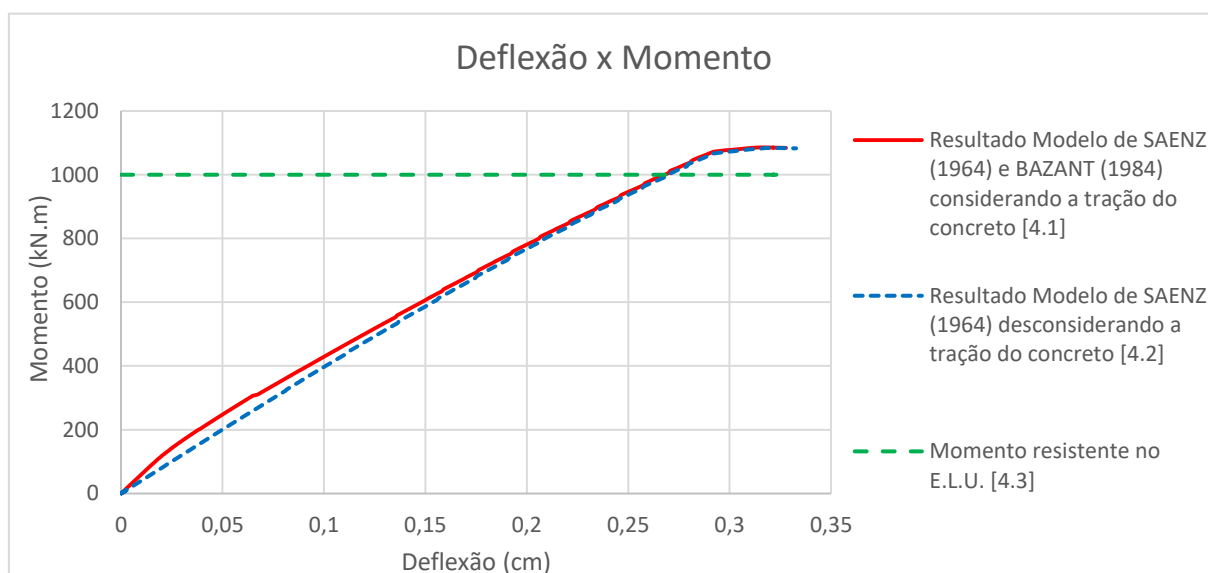
$$A_{st} = \frac{1}{\sigma_{st}} \left(\frac{M_{k,lim}}{\zeta \cdot d} + \frac{\Delta M}{d - d'} \right)$$

$$A_{st} = \frac{1}{50} \left(\frac{72373}{0,739 \cdot 55} + \frac{27627}{55 - 5} \right)$$

$$A_{st} = 46,66 \text{ cm}^2 \quad (151)$$

Aplicando estes valores e exportando para o Excel, o gráfico gerado corresponde ao Gráfico 05 a seguir:

Gráfico 05 – Momento x Deflexão de vigas duplamente armadas



Fonte: O autor

Conforme apresentado no gráfico acima, o momento máximo resistido pela viga corresponde a 1.085,89 kN.m (vide Figura 31). O momento obtido pela teoria simplificada corresponde à curva [4.3], onde seu valor máximo corresponde a 1.000 kN.m.

Da mesma maneira que a viga superarmada, as curvas tendem a se aproximarem à medida que a taxa de armadura aumenta, já que o aço e o concreto de compressão tornam-se numericamente maior que a influência do concreto de tração, baseando-se na equação (110).

Além disso, os momentos últimos referentes à simulação de viga considerando tração do concreto, da curva [4.1], ("Resultado Modelo de

SAENZ(1964) e BAZANT(1984) considerando a tração do concreto”) e desconsiderando a tração, da curva [4.2], (“Resultado Modelo de SAENZ(1964) desconsiderando a tração do concreto”) estão próximos ao momento último calculado com base na Norma, porém sem o uso dos coeficientes de segurança (“Momento resistente no E.L.U”, curva [4.3]), possuindo valores de 1.085,89 kN.m (Figura 31), 1.082,83 kN.m e 1.000 kN.m, respectivamente. Notoriamente, a colaboração do concreto de tração na resistência da estrutura vai diminuindo a medida que a solicitação aumenta, já que a linha neutra eleva sua altura, aumentando o braço de alavanca. Isto ocasiona uma propagação das fissuras e uma maior solicitação da região comprimida.

Figura 31 - Tabela de resultado de viga duplamente armada

Índice i	Tipo de Regime	Linha Neutra (cm)	Deformacao Compressao Concreto	Deformacao Compressao do Aco	Deformacao Tracao Aco	Momento (kN.m)	Deflexão (cm)
308	Regime Nao Linear (Estado 3...	28.60680	.0027049477	.0022321671	.0024956390	1069.99790	.2911394676
309	Regime Nao Linear (Estado 3...	28.46819	.0027319972	.0022521639	.0025461689	1072.54416	.2923139130
310	Regime Nao Linear (Estado 3...	28.26483	.0027593172	.0022711987	.0026099864	1073.67305	.2938664553
311	Regime Nao Linear (Estado 3...	28.06359	.0027869104	.0022903754	.0026749738	1074.79161	.2952691914
312	Regime Nao Linear (Estado 3...	27.86443	.0028147795	.0023096947	.0027411527	1075.90005	.2966941620
313	Regime Nao Linear (Estado 3...	27.66730	.0028429273	.0023291570	.0028085454	1076.99854	.2981417452
314	Regime Nao Linear (Estado 3...	27.47217	.0028713565	.0023487628	.0028771747	1078.08726	.3010820589
315	Regime Nao Linear (Estado 3...	27.27898	.0029000701	.0023685125	.0029470638	1079.16640	.3025760389
316	Regime Nao Linear (Estado 3...	27.08770	.0029290708	.0023884065	.0030182368	1080.23615	.3044319819
317	Regime Nao Linear (Estado 3...	26.89829	.0029583615	.0024084452	.0030907184	1081.29669	.3059739866
318	Regime Nao Linear (Estado 3...	26.71069	.0029879451	.0024286288	.0031645339	1082.34819	.3075406399
319	Regime Nao Linear (Estado 3...	26.52488	.0030178246	.0024489579	.0032397093	1083.39085	.3093058619
320	Regime Nao Linear (Estado 3...	26.34081	.0030480028	.0024694324	.0033162714	1084.42482	.3109231394
321	Regime Nao Linear (Estado 3...	26.15844	.0030784828	.0024900528	.0033942476	1085.45031	.3140465150
322	Regime Nao Linear (Estado 3...	26.04079	.0031092677	.0025122652	.0034577269	1085.89693	.3154748593
323	Regime Nao Linear (Estado 3...	25.98317	.0031403604	.0025360537	.0035070124	1085.80705	.3169271111
324	Regime Nao Linear (Estado 3...	25.92747	.0031717640	.0025601030	.0035565068	1085.70647	.3179184378
325	Regime Nao Linear (Estado 3...	25.87366	.0032034816	.0025844193	.0036062032	1085.59518	.3191519838
326	Regime Nao Linear (Estado 3...	25.82174	.0032355164	.0026090063	.0036560947	1085.47320	.3203932924
327	Regime Nao Linear (Estado 3...	25.77169	.0032678716	.0026339674	.0037061745	1085.34053	.3216423061
328	Regime Nao Linear (Estado 3...	25.72349	.0033005503	.0026590061	.0037564353	1085.19716	.3214187668
329	Regime Nao Linear (Estado 3...	25.67712	.0033335558	.0026844262	.0038068702	1085.04310	.3226830146
330	Regime Nao Linear (Estado 3...	25.63257	.0033668914	.0027101311	.0038574718	1084.87837	.3239547899
331	Regime Nao Linear (Estado 3...	25.58984	.0034005603	.0027361245	.0039082329	1084.70295	.3252340318
332	Regime Nao Linear (Estado 3...	25.54889	.0034345659	.0027624102	.0039591460	1084.51685	.3265206788
333	Regime Nao Linear (Estado 3...	25.50972	.0034689115	.0027889920	.0040102036	1084.32008	.3278146687

Fonte: O autor

Além disso, para averiguar se ocorre contribuição do concreto tracionado até o momento último, tomou-se a deformação de compressão do concreto e a altura da linha neutra para o momento de 1.085,89 kN.m, cujos valores são 3.109‰ e 26,04 cm, respectivamente. A partir disso, com base na relação linear apresentada na Figura 12 (c), determinou-se a área de colaboração do concreto tracionado no momento último. A deformação máxima de tração para o concreto estabelecido na Tabela 03 vale:

$$\varepsilon_{tp} = \frac{f_{tk}}{E_c} = 1,05 \times 10^{-4}$$

E a altura de concreto tracionado colaborante é dado por:

$$\frac{0,003109}{26,04} = \frac{0,000105}{h_{ct}}$$

$$h_{ct} = 1,2563 \text{ cm}$$

$$A_{ct} = h_{ct} \times B_b = 31,408 \text{ cm}^2 \quad (151)$$

Analisando a área de concreto tracionado colaborante, apresentado em (151), é confirmado que a região tracionada de concreto não possui colaboração significativa na resistência da seção no momento solicitante final da estrutura. A diferença de resultados entre o *software* e o método teórico é negligenciável.

Sabendo que o momento de fissuração, de acordo com o *software*, para este caso foi de 76,73979 kN.m (Figura 32) e que a carga aplicada é uma carga pontual no meio do vão (caracterizando um diagrama triangular), tem-se que P vale:

$$P = 153,47 \text{ kN}$$

Assim, a deflexão máxima é de:

$$\delta = \frac{1}{48} \frac{153,47 \times 200^3}{2760,521 \times 450.000} = 0,02059 \text{ cm}$$

Figura 32 - Deflexão encontrada para região elástica de vigas duplamente armadas

Resultado							
Menu Principal Ajuda Exportar para Excel							
Região Linear Região Nao Linear							
Índice i	Tipo de Regime	Linha Neutra (cm)	Deformacao Compressao Concreto	Deformacao Compressao do Aço	Deformacao Tacao Aço	Momento (kN.m)	Deflexão (cm)
0	Regime Linear (Estado 1)	32.76587	.0001262338	.0001069708	.0000856592	76.73979	.0128420029
1	Regime Nao Linear (Estado 2)	32.77718	.0001274962	.0001080472	.0000864420	77.46382	.0129646149
2	Regime Nao Linear (Estado 2)	32.77591	.0001287711	.0001091270	.0000873148	78.23757	.0130935166
3	Regime Nao Linear (Estado 2)	32.77358	.0001300588	.0001102168	.0000882034	79.00940	.0132233625
4	Regime Nao Linear (Estado 2)	32.77021	.0001313594	.0001113169	.0000891081	79.78536	.0133541656
5	Regime Nao Linear (Estado 2)	32.76582	.0001326730	.0001124274	.0000900291	80.56552	.0134859392
6	Regime Nao Linear (Estado 2)	32.76040	.0001339998	.0001135483	.0000909666	81.34994	.0136186967
7	Regime Nao Linear (Estado 2)	32.75397	.0001353398	.0001146797	.0000919208	82.13868	.0137524518
8	Regime Nao Linear (Estado 2)	32.74655	.0001366931	.0001158218	.0000928921	82.93181	.0138872185
9	Regime Nao Linear (Estado 2)	32.73813	.0001380601	.0001169746	.0000938806	83.72939	.0140230108
10	Regime Nao Linear (Estado 2)	32.72873	.0001394407	.0001181382	.0000948867	84.53150	.0141598430
11	Regime Nao Linear (Estado 2)	32.71837	.0001408351	.0001193128	.0000959105	85.33819	.0142977298
12	Regime Nao Linear (Estado 2)	32.70705	.0001422434	.0001204984	.0000969524	86.14954	.0144366858
13	Regime Nao Linear (Estado 2)	32.69478	.0001436659	.0001216951	.0000980125	86.96562	.0145767261
14	Regime Nao Linear (Estado 2)	32.68158	.0001451025	.0001229031	.0000990913	87.78650	.0147178658
15	Regime Nao Linear (Estado 2)	32.66745	.0001465536	.0001241224	.0001001889	88.61226	.0148601205
16	Regime Nao Linear (Estado 2)	32.65241	.0001480191	.0001253532	.0001013055	89.44296	.0150035957
17	Regime Nao Linear (Estado 2)	32.63647	.0001494993	.0001265956	.0001024416	90.27870	.0151480374
18	Regime Nao Linear (Estado 2)	32.61965	.0001509943	.0001278496	.0001035972	91.11954	.0152937316
19	Regime Nao Linear (Estado 2)	32.60194	.0001525042	.0001291154	.0001047728	91.96556	.0154406047
20	Regime Nao Linear (Estado 2)	32.58338	.0001540293	.0001303931	.0001059696	92.81684	.0155886732
21	Regime Nao Linear (Estado 2)	32.56396	.0001555696	.0001316828	.0001071849	93.67347	.0157379540
22	Regime Nao Linear (Estado 2)	32.54370	.0001571252	.0001329846	.0001084220	94.53553	.0158884639
23	Regime Nao Linear (Estado 2)	32.52261	.0001586965	.0001342986	.0001096801	95.40310	.0160402204
24	Regime Nao Linear (Estado 2)	32.50071	.0001602835	.0001356250	.0001109595	96.27627	.0161932407
25	Regime Nao Linear (Estado 2)	32.47801	.0001618863	.0001369639	.0001122606	97.15512	.0163475426

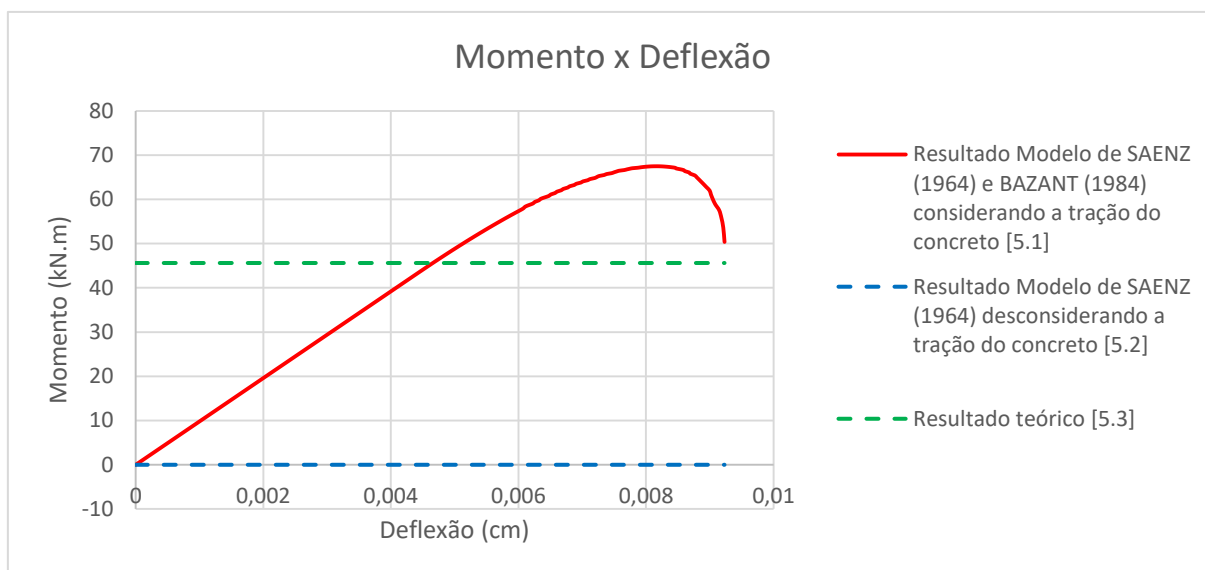
Fonte: O autor

Comparando com o que apresentado por AlfaMCV (0,0128 cm), a literatura apresenta um resultado conservador, ocasionando uma discrepância de 60,86%.

4.5. Viga de Concreto sem Armadura

Uma outra situação que pode ser apresentada corresponde à uma viga de concreto sem armadura. Seu comportamento corresponde à uma completa resistência do concreto até o momento de fissuração (50,269 kN.m), onde termina o Estádio 1, e suas fissuras se propagam, diminuindo a área de concreto comprimido. Desta forma, a viga percorre o Estádio 2 até atingir o momento máximo resistente, que é 67,47 kN.m. Este comportamento pode ser observado no Gráfico 06 a seguir:

Gráfico 06 – Momento x Deflexão de vigas sem armadura



Fonte: O autor

Observa-se no Gráfico 06 que quando se considera a resistência à tração do concreto igual a zero, no instante em que aparece a primeira fissura, é o instante que a estrutura colapsa (curva [5.2]). Já com a colaboração do concreto de tração, a viga é capaz de resistir uma solicitação um pouco maior (curva [5.1]).

Com base no item 17.3 da NBR 6118: 2014, o momento de fissuração é calculado por:

$$M_r = \frac{\alpha f_{ct} I}{y_u} \quad (152)$$

Com isso, o momento de fissuração da seção apresentada na Tabela 03 vale:

$$M_r = \frac{1,5 \times 0,7 \times 0,28964 \times 450.000}{30}$$

$$M_r = 45,61 \text{ kN.m}$$

Para este valor de 45,61 kN.m corresponde ao início da fissuração da estrutura.

Sabendo que o momento de fissuração, de acordo com o *software*, para este caso foi de 43,4156 kN.m e que a carga aplicada é uma carga pontual no meio do vão (caracterizando um diagrama triangular), tem-se que P vale:

$$P = 86,8312 \text{ kN}$$

Assim, a deflexão máxima na fissuração é de:

$$\delta = 0,011649 \text{ cm}$$

Figura 33 - Deflexão encontrada para região elástica de vigas sem armadura

Índice i	Tipo de Regime	Linha Neutra (cm)	Deformacao Compressao Concreto	Deformacao Compressao do Aço	Deformacao Tracao Aço	Momento (kN.m)	Deflexão (cm)
0	Regime Linear (Estado 1)	30,00000	,0001049222	,0000000000	,0000874352	43,41568	,0116580248
1	Regime Nao Linear (Estado 2)	30,00815	,0001059714	,0000000000	,0000882568	43,83400	,0117706162
2	Regime Nao Linear (Estado 2)	30,00587	,0001070312	,0000000000	,0000891542	44,26427	,0118869234
3	Regime Nao Linear (Estado 2)	30,00189	,0001081015	,0000000000	,0000900721	44,69379	,0120035482
4	Regime Nao Linear (Estado 2)	29,99618	,0001091825	,0000000000	,0000910109	45,12249	,0121204985
5	Regime Nao Linear (Estado 2)	29,98875	,0001102743	,0000000000	,0000919711	45,55033	,0122377421
6	Regime Nao Linear (Estado 2)	29,97960	,0001113771	,0000000000	,0000929532	45,97724	,0123553067
7	Regime Nao Linear (Estado 2)	29,96870	,0001124908	,0000000000	,0000939577	46,40317	,0124731802
8	Regime Nao Linear (Estado 2)	29,95607	,0001136157	,0000000000	,0000949852	46,82805	,0125913604
9	Regime Nao Linear (Estado 2)	29,94168	,0001147519	,0000000000	,0000960363	47,25183	,0127098448
10	Regime Nao Linear (Estado 2)	29,92554	,0001158994	,0000000000	,0000971115	47,67443	,0128286313
11	Regime Nao Linear (Estado 2)	29,90764	,0001170584	,0000000000	,0000982114	48,09581	,0129477176
12	Regime Nao Linear (Estado 2)	29,88797	,0001182290	,0000000000	,0000993366	48,51588	,0130671013
13	Regime Nao Linear (Estado 2)	29,86653	,0001194113	,0000000000	,0001004877	48,93459	,0131867800
14	Regime Nao Linear (Estado 2)	29,84330	,0001206054	,0000000000	,0001016655	49,35186	,0133067514
15	Regime Nao Linear (Estado 2)	29,81830	,0001218114	,0000000000	,0001028704	49,76763	,0134270129
16	Regime Nao Linear (Estado 2)	29,79150	,0001230296	,0000000000	,0001041032	50,18181	,0135475622
17	Regime Nao Linear (Estado 2)	29,76290	,0001242599	,0000000000	,0001053647	50,59435	,0136683968
18	Regime Nao Linear (Estado 2)	29,73250	,0001255025	,0000000000	,0001066554	51,00516	,0137895141
19	Regime Nao Linear (Estado 2)	29,70030	,0001267575	,0000000000	,0001079763	51,41416	,0139109115
20	Regime Nao Linear (Estado 2)	29,66627	,0001280251	,0000000000	,0001093279	51,82128	,0140325865
21	Regime Nao Linear (Estado 2)	29,63043	,0001293053	,0000000000	,0001107111	52,22643	,0141545365
22	Regime Nao Linear (Estado 2)	29,59277	,0001305984	,0000000000	,0001121268	52,62953	,0142767586
23	Regime Nao Linear (Estado 2)	29,55327	,0001319043	,0000000000	,0001135757	53,03050	,0143992503
24	Regime Nao Linear (Estado 2)	29,51194	,0001332234	,0000000000	,0001150587	53,42924	,0145220087
25	Regime Nao Linear (Estado 2)	29,46876	,0001345556	,0000000000	,0001165767	53,82567	,0146450310

Fonte: O autor

Comparando com o *software*, que o resultado foi de 0,011658 cm, tem-se uma discrepância de 0,00858%.

4.6. Análise de Resultados

Com base nos cálculos realizados, apresentados tanto no cálculo de armaduras, momentos solicitantes e deflexões, é possível notar que todos os resultados estão próximos aos apresentados pelo *software*, o que confirma a veracidade do programa.

Em todos os casos o resultado de momento solicitante promovido pelo programa AlfaMCV é proveniente da colaboração da região tracionada de concreto nos cálculos. Além disso, a utilização da equação de SAENZ (1964), apresentada em (57) elucida a realidade do diagrama tensão – deformação, promovendo a razão entre uma função linear e um polinômio do 2º grau, o que ocasiona diferença na tensão final do concreto.

Analisando as curvas de resistência à tração zero de todas as vigas apresentadas, observa-se que a medida que a taxa de armadura aumenta, as curvas de tensão de tração igual a zero e a colaboração da tração do concreto tendem a se aproximar. Desta forma, comprova-se também que o procedimento de modelagem e criação do programa seguiu um raciocínio correto, apresentando curvas próximas à realidade estrutural.

Além disso, é apresentado em todos os casos de vigas dimensionadas, a curvatura de modelagem do comportamento da deflexão da viga pelo momento resistente quando se desconsidera a parcela de tração colaborante e a utilização dos coeficientes de segurança nas resistências dos materiais. Nota-se que as discrepâncias de resultados são baixas em comparação com a resistência total da estrutura.

Com relação às deflexões encontradas, o *software* apresenta resultados menores que a teoria elástica. Isto ocorre porque o método utilizado para o cálculo da flecha depende diretamente do momento presente nas seções consideradas na equação (113), ou seja, ocorre diretamente uma colaboração das solicitações dos materiais. Com relação aos resultados teóricos encontrados pela deflexão apresentada em (142), estes são mais conservadores em comparação com o *software* por conta da consideração da rigidez do concreto somente, desconsiderando a atuação do aço.

5. O CÓDIGO DO SOFTWARE ALFAMCV

5.1. Estádio 1

O estágio 1 caracteriza-se pelo regime linear de tensões, mesmo sendo aplicada à um material heterogêneo, que é o concreto armado. Desta forma, pode-se considerar que a relação Momento x Deflexão pode também ser baseada na equação da reta.

Ressalta-se que as relações apresentadas pela equação (50) são mantidas, o conceito de tração máxima apresentada na Figura 03 é conservado e para este estágio são contempladas as equações (2), (67), (84), (90), (92), (94), (113), (114), (116)

Os códigos relativos às *FUNCTIONS* usadas para cálculo estão apresentados no ANEXO A.

5.2. Estádio 2

Este estágio caracteriza-se pelo regime não linear. Tem-se as seguintes equações presentes: (2), (5), (49), (67), (84), (90), (97), (99), (110), (113), (118), (120) à (123).

Contudo, por ser um estágio de deformação não linear, o conceito de determinação da altura da linha neutra e cálculo da deflexão tornam-se um pouco diferentes.

Para a programação do *software* neste estágio, algumas considerações foram feitas e várias verificações quanto aos materiais foram realizadas.

De acordo com as equações apresentadas para o cálculo do Estádio 2, seria interessante a utilização do método de Newton – Raphson para o cálculo do momento para cada ponto encontrado de deformação do concreto. Contudo, para a confecção do programa, preferiu-se não utilizar este método, pois tornaria o código muito maior, mais trabalhoso e sobrecarregaria o tempo de execução dos cálculos e exposição do resultado. Desta forma, a forma encontrada para que o *software*

pudesse realizar os cálculos sem muito código à ser compilado seria acrescentar em 1% a deformação de compressão do concreto.

Ou seja, é utilizado um bloco de *FOR/ NEXT* para que os cálculos sejam realizados. Um valor inicial de deformação de compressão de concreto é fixado, que corresponde à deformação de compressão final encontrada no Estádio 1. Assim, a cada passagem de *FOR* realizada, o valor da deformação de compressão do concreto é acrescido em 1%, onde este, deformação de compressão do concreto, é a variável chave de todo o bloco, onde todas as *FUNCTIONS* criadas dependem do valor que está salvo nesta variável.

Na entrada do bloco *FOR* do Estádio 2, todas as variáveis são preenchidas com os valores retornados das *FUNCTIONS* de cálculo, a saber: tensões de tração e compressão (se houver) do aço, deformações de tração e compressão (se houver) do aço, deformações de compressão (esta com valor já existente) e tração do concreto, linha neutra e momento gerado.

Após isso, a verificação quanto à tensão de escoamento do aço é realizada. Neste caso, a verificação consiste se o valor calculado de tensão na atual passagem do *FOR* é maior ou não que a tensão de escoamento introduzida pelo usuário. Caso seja maior, significa que o aço rompeu, o que não é característico desses Estádio. Assim, esta condição de *IF* faz com que o código saia do bloco *FOR* do Estádio 2. Em contra partida, se a tensão calculada for menor que a tensão de escoamento introduzida pelo usuário, simboliza que a estrutura ainda está em segurança, sendo então as deformações do(s) aço(s) calculadas com base nesta tensão calculada pelo código.

A seguir, após a verificação do aço ser concluída com sucesso, é realizada a verificação do concreto. Para este caso, o Estádio 2 caracteriza-se pela deformação de tração do concreto ser menor ou igual à deformação máxima de tração do mesmo. Este conceito foi tirado com base na Figura 03. Caso a condição *IF* seja verdadeira, a deflexão da viga para este Estágio é calculada.

O cálculo da deflexão da viga corresponde à parte mais delicada do código. Para este caso, com base na equação (111) e (113), deve-se determinar a deformação de compressão e a altura da linha neutra para os momentos

M_i , $\frac{3}{4} M_i$, $\frac{1}{2} M_i$ e $\frac{1}{4} M_i$, sendo M_i o momento referente à linha i . Para isso, resultaria em uma equação não linear ao tentar determinar o valor da deformação do concreto com base na equação (110), o que não seria trivial de resolver via Visual Basic.

Outra solução para este caso seria a utilização do método de Newton – Raphson, onde a partir do momento, determinar-se-ia as deformações. Contudo, como a equação simplificada de Simpson, utilizada por BAZANT (1984), utiliza três variáveis (M_i , $\frac{3}{4} M_i$, $\frac{1}{2} M_i$ e $\frac{1}{4} M_i$), para cada linha da tabela que fosse calculada a deflexão, seriam três códigos do método com um looping de passos indeterminados. Isso acarretaria em um tempo maior de processamento dos dados, além de um código maior.

Com base neste problema adotou a solução de “busca de resultado”, isto é, o *DataGrid*¹ primeiramente é preenchido com os valores de linha neutra, deformações dos materiais e momento resultante. Após isso, é feita a leitura de cada Momento (kN.m) registrado na tabela. Este momento M_i e seus multiplicadores ($\frac{3}{4} M_i$, $\frac{1}{2} M_i$ e $\frac{1}{4} M_i$) são avaliados em qual Estádio pertencem.

Em seguida, com base neste resultado, multiplicadores que se encontram no Estádio 1, suas deformações e altura da linha neutra é calculada linearmente, ou seja, utiliza-se o conceito de equação da reta com Deflexão x Momento de compressão do concreto.

Casos em que algum dos seus multiplicadores pertençam ao Estádio 2, a solução adotada foi a de busca de resultado pelo *DataGrid*, onde é realizada a leitura de cada linha da tabela, particularmente a leitura dos Momentos já registrados, e então verifica-se se o momento na linha que está sendo analisada está entre $1,01M_i$ e $0,99M_i$. Solução esta para facilitar os cálculos e evitar de utilizar um método computacionalmente complexo do Newton – Raphson.

Esta forma de solução realiza buscas e encontram valores próximos à realidade para poder calcular a deflexão, conforme a fórmula (113).

¹ *DataGrid* corresponde à um elemento de interface gráfica do Visual Basic (este elemento está presente com outros nomes em outras plataformas de programação) que apresenta resultados em forma de tabela.

De forma mais simbólica, esta busca se resume da seguinte maneira:

SE $(\frac{3}{4} M_i \leq \text{Momento final do Estádio 1})$ ENTÃO

CALCULA DEFLEXÃO

ADICIONA LINHA NO DATAGRID

SENÃO $\left(\begin{array}{l} \frac{3}{4} M_i > \text{Momento final do Estádio 1} \\ \frac{1}{2} M_i < \text{Momento final do Estádio 1} \end{array} \right)$ ENTÃO

ADICIONA LINHA NO DATAGRID

DE LINHA $i = 0$ ATÉ LINHA $i - 1$ PASSO 1

SE $\left(\begin{array}{l} \text{Momento LINHA ATUAL} \leq 1,01 \times (\frac{3}{4} M_i) \\ \text{Momento LINHA ATUAL} \geq 0,99 \times (\frac{3}{4} M_i) \end{array} \right)$ ENTÃO

VARIÁVEL RECEBE O VALOR DA DEFORMAÇÃO DE COMPRESSÃO DO CONCRETO DA MESMA LINHA DE *Momento LINHA ATUAL*

VARIÁVEL RECEBE O VALOR DA LINHA NEUTRA DO CONCRETO DA MESMA LINHA DE *Momento LINHA ATUAL*

CALCULA DEFLEXÃO

ADICIONA VALOR DE DEFLEXÃO NO DATAGRID

SAIR DO FOR

FINAL SE

PRÓXIMO

SENÃO $\left(\begin{array}{l} \frac{1}{2} M_i > \text{Momento final do Estádio 1} \\ \frac{1}{4} M_i < \text{Momento final do Estádio 1} \end{array} \right)$ ENTÃO

ADICIONA LINHA NO DATAGRID

DE LINHA $i = 0$ ATÉ LINHA $i - 1$ PASSO 1

SE $\left(\begin{array}{l} \text{Momento LINHA ATUAL} \leq 1,01 \times \left(\frac{3}{4} M_i \right) E \\ \text{Momento LINHA ATUAL} \geq 0,99 \times \left(\frac{3}{4} M_i \right) \end{array} \right)$ ENTÃO

VARIÁVEL RECEBE O VALOR DA DEFORMAÇÃO DE COMPRESSÃO DO CONCRETO DA MESMA LINHA DE *Momento LINHA ATUAL*

VARIÁVEL RECEBE O VALOR DA LINHA NEUTRA DO CONCRETO DA MESMA LINHA DE *Momento LINHA ATUAL*

SAIR DO FOR

FINAL SE

PRÓXIMO

DE LINHA $i = 0$ ATÉ LINHA $i - 1$ PASSO 1

SE $\left(\begin{array}{l} \text{Momento LINHA ATUAL} \leq 1,01 \times \left(\frac{1}{2} M_i \right) E \\ \text{Momento LINHA ATUAL} \geq 0,99 \times \left(\frac{1}{2} M_i \right) \end{array} \right)$ ENTÃO

VARIÁVEL RECEBE O VALOR DA DEFORMAÇÃO DE COMPRESSÃO DO CONCRETO DA MESMA LINHA DE *Momento LINHA ATUAL*

VARIÁVEL RECEBE O VALOR DA LINHA NEUTRA DO CONCRETO DA MESMA LINHA DE *Momento LINHA ATUAL*

SAIR DO FOR

FINAL SE

PRÓXIMO

CALCULA *DEFLEXÃO*

ADICIONA VALOR DE *DEFLEXÃO* NO *DATAGRID*

SENÃO $\left(\frac{1}{4} M_i > \text{Momento final do Estádio 1} \right)$ ENTÃO

ADICIONA LINHA NO *DATAGRID*

DE LINHA $i = 0$ ATÉ LINHA $i - 1$ PASSO 1

SE $\left(\begin{array}{l} \text{Momento LINHA ATUAL} \leq 1,01 \times \left(\frac{3}{4} M_i \right) E \\ \text{Momento LINHA ATUAL} \geq 0,99 \times \left(\frac{3}{4} M_i \right) \end{array} \right)$ ENTÃO

VARIÁVEL RECEBE O VALOR DA DEFORMAÇÃO DE COMPRESSÃO DO CONCRETO DA MESMA LINHA DE *Momento LINHA ATUAL*

VARIÁVEL RECEBE O VALOR DA LINHA NEUTRA DO CONCRETO DA MESMA LINHA DE *Momento LINHA ATUAL*

CALCULA DEFLEXÃO

ADICIONA VALOR DE DEFLEXÃO NO DATAGRID

SAIR DO FOR

FINAL SE

PRÓXIMO

DE LINHA $i = 0$ ATÉ LINHA $i - 1$ PASSO 1

SE $\left(\begin{array}{l} \text{Momento LINHA ATUAL} \leq 1,01 \times \left(\frac{1}{2} M_i \right) E \\ \text{Momento LINHA ATUAL} \geq 0,99 \times \left(\frac{1}{2} M_i \right) \end{array} \right)$ ENTÃO

VARIÁVEL RECEBE O VALOR DA DEFORMAÇÃO DE COMPRESSÃO DO CONCRETO DA MESMA LINHA DE *Momento LINHA ATUAL*

VARIÁVEL RECEBE O VALOR DA LINHA NEUTRA DO CONCRETO DA MESMA LINHA DE *Momento LINHA ATUAL*

SAIR DO FOR

FINAL SE

PRÓXIMO

DE LINHA $i = 0$ ATÉ LINHA $i - 1$ PASSO 1

SE $\left(\begin{array}{l} \text{Momento LINHA ATUAL} \leq 1,01 \times \left(\frac{1}{4} M_i \right) E \\ \text{Momento LINHA ATUAL} \geq 0,99 \times \left(\frac{1}{4} M_i \right) \end{array} \right)$ ENTÃO

VARIÁVEL RECEBE O VALOR DA DEFORMAÇÃO DE COMPRESSÃO DO CONCRETO DA MESMA LINHA DE *Momento LINHA ATUAL*

VARIÁVEL RECEBE O VALOR DA LINHA NEUTRA DO CONCRETO DA MESMA LINHA DE *Momento LINHA ATUAL*

SAIR DO FOR

FINAL SE

PRÓXIMO

CALCULA DEFLEXÃO

ADICIONA VALOR DE DEFLEXÃO NO *DATAGRID*

FIM

O cálculo da deflexão da viga varia de verificação em verificação, pois esta depende dos valores de deformação de compressão do concreto e altura da linha neutra relacionados com o momento analisado. Como observado no esquema acima, nem todos os multiplicativos do momento M_i são passíveis de busca, já que alguns deles encontram-se no regime elástico.

Os códigos relativos às *FUNCTIONS* usadas para cálculo estão apresentados no ANEXO B.

5.3. Estádio 3

Para este Estádio, são contempladas as seguintes equações: (67), (84), (90), (101), (104), (110), (113), (114), (126) à (129).

Neste bloco, o Estádio 3 inicia também realizando a verificação do aço tanto de tração quanto de compressão (caso tenha). Contudo, esta análise é distinta do Estádio anterior porque a seção encontra-se em sua maior parte fissurada e com o aço em alta solicitação, podendo ocorrer sua ruptura.

A análise feita é com relação à tensão presente no aço se é maior ou menor que a tensão de escoamento fornecido pelo usuário. Caso seja maior, o valor

assumido é a tensão de escoamento do aço, introduzido nos dados de entrada do usuário. Caso contrário, é utilizada para os cálculos a última tensão calculada no programa.

A segunda verificação é com relação à deformação de compressão do concreto, onde a cada bloco de *FOR* que é passado, averigua-se caso a deformação do concreto seja maior que 3,5‰.

Após essas duas verificações, todo o conceito de estruturação do código é idêntico ao já apresentado no Estádio 2.

Os códigos relativos às *FUNCTIONS* usadas para cálculo do Estádio 3 estão apresentados no ANEXO C. Já todo o código relativo ao evento do botão está presente no ANEXO D.

6. CONCLUSÃO

Este trabalho teve por objetivo realizar um estudo aprofundado a respeito de seções de vigas de concreto armado, considerando a resistência à tração do concreto, baseando-se no artigo de BAZANT (1983). Após isso, desenvolver um *software* que pudesse apresentar o comportamento da seção, apresentando a variação da altura da linha neutra, deformações nos materiais, momento resistente e deflexão. Este desenvolvimento visa facilitar a análise de estruturas e obter respostas realistas sem a necessidade de realização de ensaios laboratoriais.

Neste trabalho, na apresentação dos resultados dos 5 tipos de vigas estudados, nota-se que a resistência apresentada pelo *software* sempre é maior que a apresentada pela literatura, já que é considerada a contribuição da área de concreto tracionado. Além disso, com base na evolução dos Gráficos 02 a 06, pode-se afirmar que quanto maior a taxa de armadura de uma viga, maior a diferença entre o resultado real da viga (representada por “Resultado Modelo de SAENZ(1964) e BAZANT (1984) considerando a tração do concreto”) e da calculada conforme a aproximação da parábola retângulo (“Momento resistente no E.L.U”), vide equação (10) e resultado apresentado na Figura 09. Isso porque a armadura de tração colabora com o retardo da propagação da fissura, já que a aderência entre o concreto e a armadura faz com que o primeiro seja capaz de absorver mais energia proveniente da carga aplicada da solicitação.

Além disso, nota-se que em todos os casos, as curvas “Modelo de SAENZ(1964) e BAZANT(1984)” e “Modelo de SAENZ(1964)” tendem a se aproximar a medida que o momento solicitante aumenta, chegando em um momento último resistente bastante próximos. Isso simboliza a colaboração do concreto de tração nos estádios iniciais da resistência da seção, pois a área de tal ainda é considerável. Com o aumento da solicitação, a seção torna-se mais fissurada, o concreto tracionado pouco contribui na resistência total, a altura da linha neutra é elevada, o braço de alavanca automaticamente aumenta, solicitando ainda mais o concreto de compressão e os aços de tração e compressão (se houver) presentes.

Complementando, ainda se apresentou a curvatura da modelagem da viga quando é desconsiderada a resistência à tração e incluindo os fatores de segurança

nas tensões dos materiais. Vale ressaltar que o *software* não possui lacuna para que inclua tais coeficientes, já que foi programado para representar uma curvatura próxima à real com os dados inseridos. Contudo, basta que o usuário introduza as características dos materiais já com os coeficientes de segurança para que se tenha uma boa perspectiva do comportamento da viga e de seu momento último.

Conforme utilizado por BAZANT (1984), neste presente trabalho utilizou-se também do momento triangular para o cálculo da flecha. Este momento corresponde ao de uma carga pontual aplicada no meio do vão. Isso porque a intenção é reproduzir, matematicamente, um ensaio experimental, onde primeiro permite-se que a viga sofra todas as deformações provenientes do peso próprio.

O *software* AlfaMCV foi desenvolvido na linguagem Visual Basic, versão 2013. Para a facilidade de programação na modelagem matemática do cálculo da deflexão, optou-se pela aplicação de “busca de resultados”, torna-se mais fácil realizar uma busca de valores já registrados no *DataGrid*. Métodos conhecidos, como Newton – Raphson poderiam ser adotados, contudo o código seria maior e mais complexo. Métodos numéricos desse tipo são obrigatórios em caso de seções genéricas (não retangulares) para as quais não há solução analítica em termos de cargas equivalentes e braços de alavanca.

A solução de buscar resultados torna-se mais viável porque estabelece um intervalo limite em que o valor contido na célula pode estar. O programa faz a leitura de cada uma destas na coluna Momento (kN.m) e analisa se o valor contido obedece a condição. Caso positivo, uma variável criada salva o valor para, posteriormente, poder calcular a deflexão da viga. Caso contrário, o código prossegue continuando a fazer a leitura das outras células da coluna.

Com relação à viga subarmada (item 4.1), observa-se um comportamento diferente em comparação às outras vigas. Esta se caracteriza pelo aumento da resistência ao momento além do previsto pela literatura. Este aumento é justificado pela colaboração da resistência à tração do concreto juntamente com a região de compressão do mesmo e da resistência do aço, fazendo com que o momento resistente atinja 70 kN.m. Após isso, a seção está em processo de fissuração, fazendo com que a colaboração do concreto tracionado diminua, elevando a altura da linha neutra. Consequentemente, a região comprimida da seção torna-se mais

solicitada, além do aço de tração também aumentar sua contribuição até atingir a plasticidade. No instante em que chega-se ao momento último, a altura da linha neutra encontra-se consolidada, o concreto comprimido está na iminência do rompimento por esmagamento e o aço de tração está no limite da plastificação.

Além disso, apresenta-se o comportamento da viga quando não considerada as tensões de tração do concreto. O momento segue um regime crescente até atingir o momento último, que corresponde ao colapso da estrutura, cujo valor é próximo ao momento registrado pela curva “Modelo de SAENZ(1964) e BAZANT(1984)”.

Ainda assim, é apresentando a curvatura do concreto quando se desconsidera colaboração da região tracionada e introdução dos coeficientes de segurança nas tensões de compressão e tração dos materiais (concreto e aço). Para este caso em específico, como consiste em uma viga com baixa taxa de armadura, o momento último desta curva se aproxima do momento último da curva de comportamento real da viga.

Vigas normalmente armadas (item 4.2) apresentam uma evolução no momento de forma regular, onde até o momento de fissuração o diagrama é linear. A partir deste, equações não lineares são aplicadas de forma que o gráfico tenha a conformidade apresentada anteriormente no Gráfico 03. O momento apresentado pelo *software* é maior que o calculado pela literatura. Este fato se deve à consideração da região tracionada como coparticipante da resistência da estrutura. Além disso, a diferença da literatura para o *software* apresenta-se no fato de que os cálculos numéricos utilizados para a confecção do programa utilizam a equação do diagrama apresentado por SAENZ (1964), expressão (57), enquanto a literatura realiza a aproximação do diagrama para um sistema retangular de mesma área.

Também para este caso, observa-se que a medida que a solicitação aumenta, o concreto de tração pouco colabora com a resistência da estrutura, ocasionando em um momento último muito próximo do momento último do comportamento real da estrutura.

No caso da viga super armada, apresentada no item 4.3, a deformação máxima no concreto foi atingida sem que houvesse ocorrido a estabilização do

momento fletor. Para estes casos, a armadura de aço de tração não está em sua tensão de escoamento. Isso significa que a estrutura colapsa por compressão do concreto, indicando, portanto, um crescente aumento do momento de resistência sem a sua estabilização (que é caracterizada pelo escoamento do aço). Observa-se também que o resultado apresentado pelo *software* (Gráfico 4) e pela teoria (145) são levemente mais discrepantes em comparação com os obtidos para vigas normalmente armadas. Este caso é justificado também nas considerações numéricas realizadas pelo *software*, onde utiliza-se a expressão (57) como equação de tensão – deformação. Neste caso, estruturas com maior taxa de armadura possuem maiores contribuições nas tensões fornecidas pelo aço.

De forma complementar, é possível observar no Gráfico 04 que as curvas da modelagem do concreto considerando e desconsiderando a tração tornam-se mais próximas. Observa-se que como a seção está com alta taxa de armadura, o momento último é maior. Desta forma, a medida que ocorre o aumento do momento, a contribuição do concreto de tração torna-se mínima, acarretando na aproximação das duas curvas.

Vigas duplamente armadas são caracterizadas pela menor eficiência do aço de tração no sistema, já que este material se caracteriza por localizar-se no regime elástico. Enquanto isto, o concreto está em sua deformação máxima de compressão, na iminência da ruptura por esmagamento, fazendo com que haja necessidade de armadura para combater este fator.

Ao calcular as armaduras para a viga duplamente armada, apresentadas por (150) e (151), da mesma forma que as outras situações, o momento último gerado pelo programa é maior que o momento calculado conforme a teoria. Isto é explicado de acordo com a colaboração do concreto tracionado no início do processo de fissuração, além da propagação da fissura, gerando uma menor área de concreto comprimido e, conseqüentemente, um maior braço de alavanca. Também pode-se explicar de acordo com o diagrama tensão – deformação utilizado, onde não se considera a simplificação para um diagrama retangular de tensões.

Da mesma forma que as outras modelagens apresentadas anteriormente, as curvas entre a consideração e a desconsideração da tração do concreto tendem a se aproximarem. O motivo é o mesmo referente ao de viga superarmada, ou seja,

solicitações altas geram propagação da fissura pela seção, acarretando em baixa colaboração do concreto tracionado.

Estruturas de concreto que não possuem armaduras, como é o caso apresentado em 4.4, são características de ruptura ao chegarem em seu momento de fissuração (como afirma a literatura). Contudo, como resistência à tração é considerada neste trabalho, averigua-se, com o auxílio do *software* AlfaMCV, que a viga consegue suportar momentos relativamente maiores que o de fissuração. Desta forma, a conformidade da curva apresenta-se de acordo com o Gráfico 05.

Em praticamente todos os casos analisados verificou-se que o momento último da estrutura é maior quando comparado com o mesmo apresentado pela literatura. Este fato é mais bem evidenciado quando a seção possui uma taxa de armadura cada vez maior. Desta forma, entende-se que a colaboração da região tracionada do concreto pode gerar estruturas mais econômicas e relativamente mais esbeltas.

Além disso, nas vigas dimensionadas é apresentada o comportamento da curvatura do momento do concreto quando este é desconsiderado colaboração da tração e incluído fatores de segurança nos materiais, fatores estes apresentados pela NBR 6118:2014. Observa-se em todos os casos que existe uma estabilidade da segurança da estrutura, ocorrendo entre 15% 26% quando compara-se o momento último real com o momento último com fatores de segurança nas tensões dos materiais.

A apresentação da deflexão de vigas está diretamente relacionada com o Estado Limite de Serviço da estrutura, onde verifica-se a flecha máxima. Este processo é uma verificação de quão aceitável a estrutura pode ser quanto a sua avaliação visual.

Observa-se nos Gráficos 02 à 05 uma aproximação das curvas referentes à desconsideração do concreto de tração com à consideração da resistência à tração. Isso ocorre devido à armadura de tração resistir à uma grande solicitação proveniente da carga pontual aplicada no meio do vão. Desta forma, observando a Equação (110), a expressão referente às armaduras retorna um valor matemático

muito maior quando comparados com o resultado da contribuição do concreto de tração.

Em todos os casos de vigas apresentados anteriormente, verifica-se que a flecha encontrada pelo *software* é menor em comparação com a literatura, principalmente quanto maior a taxa de armadura da seção, maior torna-se a discrepância entre os dois resultados. Isso é justificado pelo fato de a literatura (equação 142) utilizar somente as características do material concreto (geometria da seção e módulo de elasticidade), ocorrendo, conseqüentemente, um aumento da flecha à medida que a carga é elevada. No cálculo utilizado por AlfaMCV, a consideração é a fórmula de Simpson, onde calcula-se, a cada transição de carga, o momento gerado em diferentes pontos da viga, gerando a sua curvatura. Essa curvatura é diretamente dependente do momento, que por conseqüência depende das reações dos materiais presentes na seção: concreto e aço. Desta forma, quanto maior a taxa de armadura da seção, menor é a curvatura da viga, gerando uma menor flecha.

REFERÊNCIAS

- ASSOCIAÇÃO BRASILEIRA DE NORMAS TÉCNICAS. NBR 6118: *Projeto de estruturas de concreto - Procedimento*. Rio de Janeiro, 2014.
- _____. *NBR 6118: Projeto de estruturas de concreto – Procedimento*. Rio de Janeiro, 2014.
- BAZANT, Z. P. *Crack Band Model for Fracture of Geomaterials*. Proceedings of The Fourth International Conference on Numerical Methods in Geomechanics. Vol III. Edmonton, Alberta – Canada. 1982
- BAZANT, Z. P. *Fracture in Concrete and Reinforced Concrete*. Capítulo 13. Ed. John Wiley & Sons Ltd, 1985
- BAZANT, Z. P., OH, B. H. *Deformation of Progressively Cracking Reinforced Concrete Beams*. ACI JOURNAL, 1984. Vol 81, nº 3.
- BAZANT, Z.P, MARCHERTAS, A. H., PFEIFFER, P. A. *Blunt – Crack Band Propagation in Finite – Element Analysis for Concrete Structures*. 7º International Conference on SMIRT, Chicago. 1983.
- BORGES, J. U. A. *Análise do Comportamento de Vigas de Concreto de Alto Desempenho por Meio da Mecânica da Fratura*. Universidade de São Paulo, São Paulo, 2002.
- CARLIN, B. P. *Investigation of the Strength and Ductility of Reinforced Concrete Beams Strengthened with CRFP Laminates*. Virginia Polytechnic Institute and State University. Blacksburg – Virginia, 1998.
- FUSCO, P.B. *Estruturas de Concreto Solicitações Normais*. Editora Guanabara Dois S.A. Rio de Janeiro – RJ, 1981.
- JR, K. M. L. C., SILVA, R.C. da. *Domínios de Deformação em Estruturas de Concreto: Uma Nova Abordagem para o Ensino*. XXXVIII Congresso Brasileiro de Educação em Engenharia COBENGE 2010. Fortaleza – CE, 2010.
- KWAK, H.G., FILIPPOU, F.C. *Finite Element Analysis of Reinforced Concrete Structures Under Monotonic Loads*. Universidade da Califórnia. Berkeley – California, 1990.

PFEIL, W. *Concreto Armado Dimensionamento*. Ed AO LIVRO TÉCNICO S.A., 1969. Rio de Janeiro – RJ.

PILLAI, S.U., MENON, D. *Reinforced Concrete Design*. Ed. Tata McGraw – Hill Publishing Company Limited. ISBN 0-07-049504-1, 2005.

PROENÇA, S. P. B., *Sobre Modelos Matemáticos do Comportamento não-linear do Concreto: Análise Crítica e Contribuições*. Universidade de São Carlos. São Carlos – SP, 1988.

ROCHA, A.M. da. *Concreto Armado*. Ed nobel, 1985. São Paulo – SP. Vol 1: ed 25. ISBN 85-213-0330-0.

SAENZ, L. P. *Discussion of “Equation for the Stress – Strain Curve of Concrete”* by Prakash Desayi and S. Krishnan, ACI Journal, *Proceedings* V.61, N°9, Set, 1964, pp. 1229-1235.

SCANLON, A. *Time – Dependent Deflexions of Reinforced Concrete Slabs*. Tese de PhD. Universidade de Alberta, Edmonton, 1971.

SUSSEKIND, J. C. *Curso de Concreto: Volume I*. Rio de Janeiro: Ed. Globo, 1985.

TAVARES, M. E. N., *Estruturas de Concreto Armado*. Rio de Janeiro: Universidade do Estado do Rio de Janeiro UERJ, 2005.

VITTORIO, S. de. *Time – Dependent Behaviour of Reinforced Concrete Slabs*. 2011. Universidade de Bologna

WALSH, P. F. *Fracture of plain concrete*. The Indian Concrete Journal, Vol, 46, N° 11, 1979.

ANEXO A – PROGRAMAÇÃO REFERENTE AO ESTÁDIO 1

```
Imports System.Math

Module Modulo_Calculo_Secao_Retangular_Estadio1

    'VARIAVEIS CONCRETO

    Public fck As Double
    Public ftk As Double
    Public Ec As Double
    Public etm As Double
    Public ecm As Double
    Public ecp As Double
    Public L As Double
    Public deflexao_estadio1 As Double
    Public comprimento_vao As Double

    'VARIAVEIS AÇO

    Public aco_compressao As Double
    Public aco_tracao As Double
    Public Es As Double
    Public es2_estadio1 As Double
    Public es1_estadio1 As Double

    'VARIAVEIS SECAO

    Public altura_total As Double
    Public altura_util As Double
    Public largura_maior As Double

    'VARIABEL LN

    Public LN_estadio1 As Double

    'VARIAVEIS COEFICIENTES

    Public A_estadio1 As Double
    Public B_estadio1 As Double
```

```

Public Q_estadio1 As Double

Public k1_estadio1 As Double
Public k1_estadio1_parte1 As Double
Public k1_estadio1_parte2 As Double

Public k2_estadio1 As Double
Public k2_estadio1_parte1 As Double
Public k2_estadio1_parte2 As Double
Public k2_estadio1_parte3 As Double
Public k2_estadio1_parte4 As Double

Public k3_estadio1 As Double

Public k4_estadio1 As Double

'VARIAVEL MOMENTO

Public momento_estadio1 As Double
Public momento_linear_estadio1 As Double

' CALCULO DEFORMACOES

Function Funcao_etp_Rec_Estadio1() As Double

    etm = ftk / Ec

    Return etm

End Function

Function Funcao_ecm_Rec_Estadio1() As Double

    ecm = Funcao_etp_Rec_Estadio1() * Funcao_LN_Estadio1() / _
        (altura_total - Funcao_LN_Estadio1())

    Return ecm

End Function

```

```
Function Funcao_etm_Rec_Estadio1() As Double
```

```
    etm = (altura_total - Funcao_LN_Estadio1()) * Funcao_ecm_Rec_Estadio1() /  
    Funcao_LN_Estadio1()
```

```
    Return etm
```

```
End Function
```

```
Function Funcao_es2_Rec_Estadio1() As Double
```

```
    es2_estadio1 = (altura_util - Funcao_LN_Estadio1()) *  
    Funcao_etp_Rec_Estadio1() / _  
    (altura_total - Funcao_LN_Estadio1())
```

```
    Return es2_estadio1
```

```
End Function
```

```
Function Funcao_es1_Rec_Estadio1() As Double
```

```
    If frm_Calcula_Secao.txt_aco_compressao.Text > 0 Then
```

```
        es1_estadio1 = (Funcao_LN_Estadio1() - _  
        (altura_total - altura_util)) * Funcao_etp_Rec_Estadio1() / _  
        (altura_total - Funcao_LN_Estadio1())
```

```
    Else
```

```
        es1_estadio1 = 0
```

```
    End If
```

```
    Return es1_estadio1
```

```
End Function
```

```
Function Funcao_eap_Rec_Estadio1() As Double
```

```
ecp = 2 * fck / Ec
```

```
Return ecp
```

```
End Function
```

```
' COEFICIENTES A, B, Q, K1, K2, K3, K4
```

```
Function Funcao_A_Rec_Estadio1() As Double
```

```
A_estadio1 = ((Ec * Funcao_ecp_Rec_Estadio1() / fck) - 2) /  
Funcao_ecp_Rec_Estadio1()
```

```
Return A_estadio1
```

```
End Function
```

```
Function Funcao_B_Rec_Estadio1() As Double
```

```
B_estadio1 = 1 / (Funcao_ecp_Rec_Estadio1() ^ 2)
```

```
Return B_estadio1
```

```
End Function
```

```
Function Funcao_Q_rec_Estadio1() As Double
```

```
Q_estadio1 = 4 * Funcao_B_Rec_Estadio1() - Funcao_A_Rec_Estadio1() *  
Funcao_A_Rec_Estadio1()
```

```
Return Q_estadio1
```

```
End Function
```

```
Function Funcao_k1_Rec_Estadio1() As Double
```

```
k1_estadio1_parte1 = (0.5 / Funcao_B_Rec_Estadio1()) * _  
(Math.Log(1 + Funcao_A_Rec_Estadio1() * Funcao_ecm_Rec_Estadio1() + _  
Funcao_B_Rec_Estadio1() * Funcao_ecm_Rec_Estadio1() *  
Funcao_ecm_Rec_Estadio1()))
```

```

k1_estadio1_parte2 = (Funcao_A_Rec_Estadio1() / (Funcao_B_Rec_Estadio1() * _
Math.Sqrt(Funcao_Q_rec_Estadio1))) * _
(Math.Atan(Funcao_A_Rec_Estadio1() / Math.Sqrt(Funcao_Q_rec_Estadio1)) -
Math.Atan((Funcao_A_Rec_Estadio1() + _
2 * Funcao_B_Rec_Estadio1() * Funcao_ecm_Rec_Estadio1()) / _
Math.Sqrt(Funcao_Q_rec_Estadio1)))

```

```

k1_estadio1 = (Ec / (fck * Funcao_ecm_Rec_Estadio1())) * (k1_estadio1_parte1 +
k1_estadio1_parte2)

```

```

Return k1_estadio1

```

```

End Function

```

```

Function Funcao_k2_Rec_Estadio1() As Double

```

```

k2_estadio1_parte1 = (Funcao_A_Rec_Estadio1() * 0.5 / (Funcao_B_Rec_Estadio1()
* Funcao_B_Rec_Estadio1())) * _
Math.Log(1 + Funcao_A_Rec_Estadio1() * Funcao_ecm_Rec_Estadio1() +
Funcao_B_Rec_Estadio1() * Funcao_ecm_Rec_Estadio1() *
Funcao_ecm_Rec_Estadio1())

```

```

k2_estadio1_parte2 = ((Funcao_A_Rec_Estadio1() * Funcao_A_Rec_Estadio1() - 2 *
Funcao_B_Rec_Estadio1()) / _
(Funcao_B_Rec_Estadio1() * Funcao_B_Rec_Estadio1() *
Math.Sqrt(Funcao_Q_rec_Estadio1))) * _
(Math.Atan((2 * Funcao_B_Rec_Estadio1() * Funcao_ecm_Rec_Estadio1() +
Funcao_A_Rec_Estadio1()) / Math.Sqrt(Funcao_Q_rec_Estadio1)) - _
Math.Atan(Funcao_A_Rec_Estadio1() / Math.Sqrt(Funcao_Q_rec_Estadio1)))

```

```

k2_estadio1_parte3 = (0.5 / Funcao_B_Rec_Estadio1()) * _
(Math.Log(1 + Funcao_A_Rec_Estadio1() * Funcao_ecm_Rec_Estadio1() + _
Funcao_B_Rec_Estadio1() * Funcao_ecm_Rec_Estadio1() *
Funcao_ecm_Rec_Estadio1()))

```

```

k2_estadio1_parte4 = (Funcao_A_Rec_Estadio1() / (Funcao_B_Rec_Estadio1() *
Math.Sqrt(Funcao_Q_rec_Estadio1))) * _
(Math.Atan(Funcao_A_Rec_Estadio1() / Math.Sqrt(Funcao_Q_rec_Estadio1)) -
Math.Atan((Funcao_A_Rec_Estadio1() + 2 * Funcao_B_Rec_Estadio1() *
Funcao_ecm_Rec_Estadio1()) / Math.Sqrt(Funcao_Q_rec_Estadio1)))

```



```

k2_estadio1 = 1 - (((Funcao_ecm_Rec_Estadio1() / Funcao_B_Rec_Estadio1()) -
k2_estadio1_parte1 + k2_estadio1_parte2) / (Funcao_ecm_Rec_Estadio1() *
(k2_estadio1_parte3 + k2_estadio1_parte4)))

```

```

Return k2_estadio1

```

```

End Function

```

```

Function Funcao_k3_Rec_Estadio1() As Double

```

```

    k3_estadio1 = Ec * Funcao_etp_Rec_Estadio1() / (2 * ftk)

```

```

    Return k3_estadio1

```

```

End Function

```

```

Function Funcao_k4_Rec_Estadio1() As Double

```

```

    k4_estadio1 = 1 / 3

```

```

    Return k4_estadio1

```

```

End Function

```

```

' CALCULOS SECAO ESTADIO 1

```

```

' CALCULO LN

```

```

Function Funcao_LN_Estadio1() As Double

```

```

    LN_estadio1 = (2 * (Es / Ec) * (altura_util * (aco_tracao - aco_compressao) +
altura_total * aco_compressao) + _
    largura_maior * altura_total * altura_total) / _
    (2 * (altura_total * largura_maior + (Es / Ec) * aco_tracao + (Es / Ec) *
aco_compressao))

```

```

    Return LN_estadio1

```

```

End Function

```

```
' CALCULO MOMENTO
```

```
Function Funcao_Momento_Rec_Estadio1() As Double
```

```
    momento_estadio1 = Funcao_k1_Rec_Estadio1() * fck * largura_maior * 10 *  
    Funcao_LN_Estadio1() * 10 * (altura_total * 0.5 * 10 -  
    Funcao_k2_Rec_Estadio1() * Funcao_LN_Estadio1() * 10) + _  
    Funcao_es2_Rec_Estadio1() * Es * aco_tracao * 100 * (altura_util * 10 -  
    altura_total * 0.5 * 10) + _  
    Funcao_es1_Rec_Estadio1() * Es * aco_compressao * 100 * (altura_util * 10 -  
    altura_total * 0.5 * 10) + _  
    Funcao_k3_Rec_Estadio1() * ftk * largura_maior * 10 * (altura_total * 10 -  
    Funcao_LN_Estadio1() * 10) * (altura_total * 0.5 * 10 -  
    Funcao_k4_Rec_Estadio1() * (altura_total * 10 - Funcao_LN_Estadio1() * 10))  
  
    Return momento_estadio1 * 0.000001
```

```
End Function
```

```
' CALCULO DEFLEXAO
```

```
Function Funcao_Deflexao_Estadio1() As Double
```

```
    deflexao_estadio1 = (comprimento_vao ^ 2) *  
    Modulo_Calculo_Secao_Retangular_Estadio1.Funcao_ecm_Rec_Estadio1 / (12 *  
    Funcao_LN_Estadio1())  
  
    Return deflexao_estadio1
```

```
End Function
```

```
' FIM CALCULOS SECAO ESTADIO 1
```

```
End Module
```

ANEXO B – PROGRAMAÇÃO REFERENTE AO ESTÁDIO 2

```
Imports System.Math
```

```
Module Modulo_Calculo_Secao_Retangular_Estadio2
```

```
    'VARIÁVEL LN
```

```
    Public LN_estadio2 As Double
```

```
    Public LN_estadio2_parte1 As Double
```

```
    Public LN_estadio2_parte2 As Double
```

```
    Public LN_estadio2_parte3 As Double
```

```
    Public LN_resultado_parte1_estadio2 As Double
```

```
    Public LN_resultado_parte2_estadio2 As Double
```

```
    Public LN_resultado_parte3_estadio2 As Double
```

```
    Public LN As Double ' Essa é a variável
```

```
    Public i As Double
```

```
    'VARIÁVEIS AÇO
```

```
    Public es1_estadio2 As Double
```

```
    Public es2_estadio2 As Double
```

```
    Public es1_variavel_estadio2 As Double
```

```
    Public es2_variavel_estadio2 As Double
```

```
    Public fy_compressao_estadio2 As Double
```

```
    Public fy_tracao_estadio2 As Double
```

```
    'VARIÁVEIS CONCRETO
```

```
    Public Et As Double
```

```
    Public ecm_variavel_estadio2 As Double
```

```
    Public ecm_estadio2 As Double
```

```
    Public ecm_final_estadio2 As Double
```

```
    Public ecm_resultado_parte1_estadio2 As Double
```

```
    Public ecm_resultado_parte2_estadio2 As Double
```

```
    Public ecm_resultado_parte3_estadio2 As Double
```

```
    Public etp As Double
```

```
    Public etf As Double
```

```
    Public etm_estadio2 As Double
```

```
    Public etm_variavel_estadio2 As Double
```

```
    Public deflexao_estadio2 As Double
```

```

Public deflexao_variavel_estadio2 As Double

'VARIAVEIS COEFICIENTES
Public k1_estadio2 As Double
Public k1_estadio2_parte1 As Double
Public k1_estadio2_parte2 As Double

Public k2_estadio2 As Double
Public k2_estadio2_parte1 As Double
Public k2_estadio2_parte2 As Double
Public k2_estadio2_parte3 As Double
Public k2_estadio2_parte4 As Double

Public k3_estadio2 As Double

Public k4_estadio2 As Double
Public k4_estadio2_parte1 As Double
Public k4_estadio2_parte2 As Double

'VARIABEL MOMENTO
Public momento_estadio2 As Double
Public momento_variavel_estadio2 As Double

' CALCULO MODULO

Function Funcao_Et_Estadio2() As Double

    Et = (70 * Ec * (1000000 / 6895) / (57 + ftk * (1000000 / 6895))) * (6895 /
    1000000)

    Return Et

End Function

' CALCULO DEFORMACOES

Function Funcao_etp_Rec_Estadio2() As Double

    etp = ftk / Ec

```

```
Return etp
```

```
End Function
```

```
Function Funcao_etf_Rec_Estadio2() As Double
```

```
    etf = (ftk / Funcao_Et_Estadio2()) + Funcao_etp_Rec_Estadio2()
```

```
Return etf
```

```
End Function
```

```
Function Funcao_ecm_Rec_Estadio2() As Double
```

```
    ecm_estadio2 = Funcao_LN_Estadio2() * Funcao_etp_Rec_Estadio2() /  
    (altura_total - Funcao_LN_Estadio2())
```

```
Return ecm_estadio2
```

```
End Function
```

```
Function Funcao_etm_Rec_Estadio2() As Double
```

```
    etm_estadio2 = (altura_total - Funcao_LN_Estadio2()) * ecm_variavel_estadio2 /  
    Funcao_LN_Estadio2()
```

```
Return etm_estadio2
```

```
End Function
```

```
Function Funcao_ecm_Final_Rec_Estadio2() As Double
```

```
    ecm_final_estadio2 = Funcao_LN_Estadio2() * Funcao_etf_Rec_Estadio2() /  
    (altura_total - Funcao_LN_Estadio2())
```

```
Return ecm_final_estadio2
```

```
End Function
```

```
Function Funcao_es1_Estadio2() As Double
```

```
If aco_compressao = 0 Then
```

```
    es1_estadio2 = 0
```

```
Else
```

```
    es1_estadio2 = (Funcao_LN_Estadio2() - altura_total + altura_util) *  
    ecm_variavel_estadio2 / Funcao_LN_Estadio2()
```

```
End If
```

```
Return es1_estadio2
```

```
End Function
```

```
Function Funcao_es2_Estadio2() As Double
```

```
    es2_estadio2 = (altura_util - Funcao_LN_Estadio2()) * ecm_variavel_estadio2 /  
    Funcao_LN_Estadio2()
```

```
Return es2_estadio2
```

```
End Function
```

```
' CALCULO COEFICIENTES K1, K2, K3, K4
```

```
Function Funcao_k1_Estadio2() As Double
```

```
    k1_estadio2_parte1 = (0.5 / Funcao_B_Rec_Estadio1()) * (Math.Log(1 +  
    Funcao_A_Rec_Estadio1() * ecm_variavel_estadio2 + _  
    Funcao_B_Rec_Estadio1() * ecm_variavel_estadio2 * ecm_variavel_estadio2))
```

```
    k1_estadio2_parte2 = (Funcao_A_Rec_Estadio1() / (Funcao_B_Rec_Estadio1() *  
    Math.Sqrt(Funcao_Q_rec_Estadio1))) * _  
    (Math.Atan(Funcao_A_Rec_Estadio1() / Math.Sqrt(Funcao_Q_rec_Estadio1)) -  
    Math.Atan((Funcao_A_Rec_Estadio1() + 2 * Funcao_B_Rec_Estadio1() *  
    ecm_variavel_estadio2) / _  
    Math.Sqrt(Funcao_Q_rec_Estadio1)))
```

```
    k1_estadio2 = (Ec / (fck * ecm_variavel_estadio2)) * (k1_estadio2_parte1 +  
    k1_estadio2_parte2)
```

```
Return k1_estadio2
```

```
End Function
```

```
Function Funcao_k2_Estadio2() As Double
```

```

k2_estadio2_parte1 = (ecm_variavel_estadio2 / Funcao_B_Rec_Estadio1()) - (0.5
* Funcao_A_Rec_Estadio1() / (Funcao_B_Rec_Estadio1() ^ 2)) * _
Math.Log(1 + Funcao_A_Rec_Estadio1() * ecm_variavel_estadio2 +
Funcao_B_Rec_Estadio1() * (ecm_variavel_estadio2 ^ 2)) + _
(Funcao_A_Rec_Estadio1() ^ 2 - 2 * Funcao_B_Rec_Estadio1()) * (Math.Atan((2 *
Funcao_B_Rec_Estadio1() * ecm_variavel_estadio2 + Funcao_A_Rec_Estadio1()) / _
Math.Sqrt(Funcao_Q_rec_Estadio1)) - Math.Atan(Funcao_A_Rec_Estadio1() /
Math.Sqrt(Funcao_Q_rec_Estadio1))) / _
(Funcao_B_Rec_Estadio1() ^ 2 * Math.Sqrt(Funcao_Q_rec_Estadio1))

```

```

k2_estadio2_parte2 = Funcao_k1_Estadio2() * (ecm_variavel_estadio2 ^ 2) * fck
/ Ec

```

```
k2_estadio2 = 1 - (k2_estadio2_parte1 / k2_estadio2_parte2)
```

```
Return k2_estadio2
```

```
End Function
```

```
Function Funcao_k3_Estadio2() As Double
```

```

k3_estadio2 = ((ftk + Funcao_etp_Rec_Estadio2() * Funcao_Et_Estadio2()) *
(altura_total - Funcao_LN_Estadio2()) * ecm_variavel_estadio2 /
(Funcao_LN_Estadio2())) - _
0.5 * Funcao_Et_Estadio2() * (((altura_total - Funcao_LN_Estadio2()) *
ecm_variavel_estadio2 / (Funcao_LN_Estadio2())) ^ 2) - _
0.5 * ftk * Funcao_etp_Rec_Estadio2() - 0.5 * Funcao_Et_Estadio2() *
(Funcao_etp_Rec_Estadio2() ^ 2)) / _
(ftk * (altura_total - Funcao_LN_Estadio2()) * ecm_variavel_estadio2 /
(Funcao_LN_Estadio2()))

```

```
Return k3_estadio2
```

```
End Function
```

```
Function Funcao_k4_Estadio2() As Double
```

```

k4_estadio2_parte1 = -(1 / 6) * ftk * (Funcao_etp_Rec_Estadio2() ^ 2) + (0.5 *
ftk + 0.5 * Funcao_Et_Estadio2() * Funcao_etp_Rec_Estadio2()) _
* (((altura_total - Funcao_LN_Estadio2()) * ecm_variavel_estadio2 /
(Funcao_LN_Estadio2())) ^ 2) - _
(1 / 3) * Funcao_Et_Estadio2() * (((altura_total - Funcao_LN_Estadio2()) *
ecm_variavel_estadio2 / (Funcao_LN_Estadio2())) ^ 3) - _
(1 / 6) * Funcao_Et_Estadio2() * ((Funcao_etp_Rec_Estadio2()) ^ 3)

```

```

k4_estadio2_parte2 = Funcao_k3_Estadio2() * _
(((altura_total - Funcao_LN_Estadio2()) * ecm_variavel_estadio2 /
(Funcao_LN_Estadio2())) ^ 2) * ftk

```

```

k4_estadio2 = 1 - (k4_estadio2_parte1 / k4_estadio2_parte2)

```

```

Return k4_estadio2

```

```

End Function

```

```

' CALCULO LN

```

```

Function Funcao_LN_Estadio2() As Double

```

```

LN_estadio2_parte1 = (ecm_variavel_estadio2 * Es * (aco_compressao +
aco_tracao) - _
largura_maior * altura_total * (ftk + Funcao_etp_Rec_Estadio2() *
Funcao_Et_Estadio2()) - _
Funcao_Et_Estadio2() * largura_maior * altura_total * ecm_variavel_estadio2)

```

```

LN_estadio2_parte2 = (ecm_variavel_estadio2 * Es * ((altura_total -
altura_util) * aco_compressao + altura_util * aco_tracao) _
- 0.5 * altura_total * altura_total * Funcao_Et_Estadio2() * largura_maior *
ecm_variavel_estadio2)

```

```

LN_estadio2_parte3 = ((Funcao_k1_Estadio2() * fck * largura_maior + _
largura_maior * (ftk + Funcao_etp_Rec_Estadio2() * Funcao_Et_Estadio2()) +
0.5 * Funcao_Et_Estadio2() * largura_maior * ecm_variavel_estadio2 - _
largura_maior * (-0.5 * ftk * Funcao_etp_Rec_Estadio2() - _
0.5 * Funcao_Et_Estadio2() * Funcao_etp_Rec_Estadio2() * _
Funcao_etp_Rec_Estadio2()) / ecm_variavel_estadio2))

```

```

LN_estadio2 = (-LN_estadio2_parte1 + _
Math.Sqrt(LN_estadio2_parte1 * LN_estadio2_parte1 + 4 * LN_estadio2_parte2 *
LN_estadio2_parte3)) / _

```



```

(2 * LN_estadio2_parte3)

Return LN_estadio2

End Function

' CALCULO MOMENTO ESTADIO 2

Function Funcao_Momento_Estadio2() As Double

'O momento depende da LN, K1, K2, K3, K4

momento_estadio2 = Funcao_k1_Estadio2() * fck * largura_maior * 10 *
Funcao_LN_Estadio2() * 10 * (altura_total * 0.5 * 10 - Funcao_k2_Estadio2() *
Funcao_LN_Estadio2() * 10) +
Funcao_es1_Estadio2() * Es * aco_compressao * 100 * (altura_util * 10 - 0.5 *
altura_total * 10) + _
Funcao_es2_Estadio2() * Es * aco_tracao * 100 * (altura_util * 10 - 0.5 *
altura_total * 10) + _
Funcao_k3_Estadio2() * ftk * largura_maior * 10 * (altura_total * 10 -
Funcao_LN_Estadio2() * 10) * _
(altura_total * 0.5 * 10 - Funcao_k4_Estadio2() * (altura_total * 10 -
Funcao_LN_Estadio2() * 10))

Return momento_estadio2 * 0.000001

End Function

' FIM CALCULOS SECAO ESTADIO 2

End Module

```

ANEXO C – PROGRAMAÇÃO REFERENTE AO ESTÁDIO 3

```
Imports System.Math
```

```
Module Modulo_Calculo_Secao_Retangular_Estadio3
```

```
    'VARIAVEL
```

```
    Public LN_variavel_estadio3 As Double
```

```
    'VARIAVEL LN
```

```
    Public LN_estadio3 As Double ' esse é o X da funcao
```

```
    Public LN_estadio3_parte1 As Double
```

```
    Public LN_estadio3_parte2 As Double
```

```
    Public LN_estadio3_parte3 As Double
```

```
    Public LN_resultado_parte1_estadio3 As Double
```

```
    Public LN_resultado_parte2_estadio3 As Double
```

```
    Public LN_resultado_parte3_estadio3 As Double
```

```
    'VARIAVEIS CONCRETO
```

```
    Public ecm_variavel_estadio3 As Double
```

```
    Public etm_variavel_estadio3 As Double
```

```
    Public ecm_resultado_parte1_estadio3 As Double
```

```
    Public ecm_resultado_parte2_estadio3 As Double
```

```
    Public ecm_resultado_parte3_estadio3 As Double
```

```
    Public etm_estadio3 As Double
```

```
    Public deflexao_estadio3 As Double
```

```
    'VARIAVEIS AÇO
```

```
    Public es1_estadio3 As Double
```

```
    Public es2_estadio3 As Double
```

```
    Public es1_variavel_estadio3 As Double
```

```
    Public es2_variavel_estadio3 As Double
```

```
    Public fy_compressao_estadio3 As Double
```

```
    Public fy_tracao_estadio3 As Double
```

```
    Public fy As Double
```

```
    'VARIAVEIS COEFICIENTES
```

```
    Public k1_estadio3 As Double
```

```
    Public k1_estadio3_parte1 As Double
```

```
    Public k1_estadio3_parte2 As Double
```

```

Public k2_estadio3 As Double
Public k2_estadio3_parte1 As Double
Public k2_estadio3_parte2 As Double
Public k2_estadio3_parte3 As Double
Public k2_estadio3_parte4 As Double

Public k3_estadio3 As Double

Public k4_estadio3 As Double
Public k4_estadio3_parte1 As Double
Public k4_estadio3_parte2 As Double
Public k4_estadio3_parte3 As Double

'VARIAVEIS MOMENTO
Public momento_estadio3 As Double
Public momento_variavel_estadio3 As Double

' DEFORMACOES

Function Funcao_es1_Estadio3() As Double

    If aco_compressao = 0 Then

        es1_estadio3 = 0

    Else

        es1_estadio3 = (Funcao_LN_Estadio3() - altura_total + altura_util) *
            ecm_variavel_estadio3 / Funcao_LN_Estadio3()

    End If

    Return es1_estadio3

End Function

Function Funcao_es2_Estadio3() As Double

```

```
es2_estadio3 = (altura_util - Funcao_LN_Estadio3()) * ecm_variavel_estadio3 /
Funcao_LN_Estadio3()
```

```
Return es2_estadio3
```

```
End Function
```

```
Function Funcao_etm_Estadio3() As Double
```

```
etm_estadio3 = (altura_total - Funcao_LN_Estadio3()) * ecm_variavel_estadio3 /
Funcao_LN_Estadio3()
```

```
Return etm_estadio3
```

```
End Function
```

```
' CALCULO COEFICIENTES K1, K2, K3, K4
```

```
Function Funcao_k1_Estadio3() As Double
```

```
k1_estadio3_parte1 = (0.5 / Funcao_B_Rec_Estadio1()) * (Math.Log(1 +
Funcao_A_Rec_Estadio1() * ecm_variavel_estadio3 + Funcao_B_Rec_Estadio1() *
ecm_variavel_estadio3 * ecm_variavel_estadio3))
```

```
k1_estadio3_parte2 = (Funcao_A_Rec_Estadio1() / (Funcao_B_Rec_Estadio1() *
Math.Sqrt(Funcao_Q_rec_Estadio1))) * _
(Math.Atan(Funcao_A_Rec_Estadio1() / Math.Sqrt(Funcao_Q_rec_Estadio1)) -
Math.Atan((Funcao_A_Rec_Estadio1() + _
2 * Funcao_B_Rec_Estadio1() * ecm_variavel_estadio3) /
Math.Sqrt(Funcao_Q_rec_Estadio1)))
```

```
k1_estadio3 = (Ec / (fck * ecm_variavel_estadio3)) * (k1_estadio3_parte1 +
k1_estadio3_parte2)
```

```
Return k1_estadio3
```

```
End Function
```

```
Function Funcao_k2_Estadio3() As Double
```

```
k2_estadio3_parte1 = (ecm_variavel_estadio3 / Funcao_B_Rec_Estadio1()) - (0.5
* Funcao_A_Rec_Estadio1() / (Funcao_B_Rec_Estadio1() ^ 2)) * _
```

```

Math.Log(1 + Funcao_A_Rec_Estadio1() * ecm_variavel_estadio3 +
Funcao_B_Rec_Estadio1() * (ecm_variavel_estadio3 ^ 2)) + _
((Funcao_A_Rec_Estadio1() ^ 2) - 2 * Funcao_B_Rec_Estadio1()) * (Math.Atan((2
* Funcao_B_Rec_Estadio1() * ecm_variavel_estadio3 + Funcao_A_Rec_Estadio1()) /
_
Math.Sqrt(Funcao_Q_rec_Estadio1)) - Math.Atan(Funcao_A_Rec_Estadio1() /
Math.Sqrt(Funcao_Q_rec_Estadio1))) / _
((Funcao_B_Rec_Estadio1() ^ 2) * Math.Sqrt(Funcao_Q_rec_Estadio1))

```

```

k2_estadio3_parte2 = Funcao_k1_Estadio3() * (ecm_variavel_estadio3 ^ 2) * fck
/ Ec

```

```

k2_estadio3 = 1 - (k2_estadio3_parte1 / k2_estadio3_parte2)

```

```

Return k2_estadio3

```

End Function

Function Funcao_k3_Estadio3() As Double

```

k3_estadio3 = ((ftk + Funcao_etp_Rec_Estadio2() * Funcao_Et_Estadio2()) *
Funcao_etf_Rec_Estadio2() - 0.5 * Funcao_Et_Estadio2() *
((Funcao_etf_Rec_Estadio2()) ^ 2) - _
0.5 * ftk * Funcao_etp_Rec_Estadio2() - 0.5 * Funcao_Et_Estadio2() *
(Funcao_etp_Rec_Estadio2() ^ 2)) / _
(ftk * Funcao_etm_Estadio3())

```

```

Return k3_estadio3

```

End Function

Function Funcao_k4_Estadio3() As Double

```

k4_estadio3_parte1 = -(1 / 6) * ftk * Funcao_etp_Rec_Estadio2() *
Funcao_etp_Rec_Estadio2() + _
(0.5 * ftk + 0.5 * Funcao_Et_Estadio2() * Funcao_etp_Rec_Estadio2()) *
(Funcao_etf_Rec_Estadio2() * Funcao_etf_Rec_Estadio2()) - _
(1 / 3) * Funcao_Et_Estadio2() * (Funcao_etf_Rec_Estadio2() ^ 3) - _
(1 / 6) * Funcao_Et_Estadio2() * (Funcao_etp_Rec_Estadio2() ^ 3)

```

```

k4_estadio3_parte2 = (Funcao_etm_Estadio3() ^ 2) * Funcao_k3_Estadio3() * ftk

```

```
k4_estadio3 = 1 - (k4_estadio3_parte1 / k4_estadio3_parte2)
```

```
Return k4_estadio3
```

```
End Function
```

```
' CALCULO LN
```

```
Function Funcao_LN_Estadio3() As Double
```

```
If fy_tracao_estadio3 < fy And fy_compressao_estadio3 < fy Then
```

```
LN_estadio3_parte1 = Funcao_k1_Estadio3() * fck * largura_maior - _
    (largura_maior / ecm_variavel_estadio3) * ((ftk +
    Funcao_etp_Rec_Estadio2() * Funcao_Et_Estadio2()) *
    Funcao_etf_Rec_Estadio2() - _
    0.5 * Funcao_Et_Estadio2() * (Funcao_etf_Rec_Estadio2() ^ 2) - _
    0.5 * ftk * Funcao_etp_Rec_Estadio2() - _
    0.5 * Funcao_Et_Estadio2() * (Funcao_etp_Rec_Estadio2() ^ 2))
```

```
LN_estadio3_parte2 = ecm_variavel_estadio3 * Es * aco_compressao +
    ecm_variavel_estadio3 * Es * aco_tracao
```

```
LN_estadio3_parte3 = -(altura_total - altura_util) * ecm_variavel_estadio3
    * Es * aco_compressao - altura_util * ecm_variavel_estadio3 * Es *
    aco_tracao
```

```
LN_estadio3 = (-LN_estadio3_parte2 + Math.Sqrt((LN_estadio3_parte2 ^ 2) -
    4 * LN_estadio3_parte1 * LN_estadio3_parte3)) / (2 * LN_estadio3_parte1)
```

```
ElseIf fy_tracao_estadio3 < fy And fy_compressao_estadio3 > fy Then
```

```
LN_estadio3_parte1 = Funcao_k1_Estadio3() * fck * largura_maior - _
    (largura_maior / ecm_variavel_estadio3) * ((ftk +
    Funcao_etp_Rec_Estadio2() * Funcao_Et_Estadio2()) *
    Funcao_etf_Rec_Estadio2() - _
    0.5 * Funcao_Et_Estadio2() * (Funcao_etf_Rec_Estadio2() ^ 2) - _
    0.5 * ftk * Funcao_etp_Rec_Estadio2() - _
    0.5 * Funcao_Et_Estadio2() * (Funcao_etp_Rec_Estadio2() ^ 2))
```

```
LN_estadio3_parte2 = fy * aco_compressao + ecm_variavel_estadio3 * Es *
    aco_tracao
```

```
LN_estadio3_parte3 = -altura_util * Es * aco_tracao *
ecm_variavel_estadio3
```

```
LN_estadio3 = (-LN_estadio3_parte2 + Math.Sqrt((LN_estadio3_parte2 ^ 2) -
4 * LN_estadio3_parte1 * LN_estadio3_parte3)) / (2 * LN_estadio3_parte1)
```

```
ElseIf fy_tracao_estadio3 > fy And fy_compressao_estadio3 < fy Then
```

```
LN_estadio3_parte1 = Funcao_k1_Estadio3() * fck * largura_maior - _
(largura_maior / ecm_variavel_estadio3) * ((ftk +
Funcao_etp_Rec_Estadio2() * Funcao_Et_Estadio2()) *
Funcao_etf_Rec_Estadio2() - _
0.5 * Funcao_Et_Estadio2() * (Funcao_etf_Rec_Estadio2() ^ 2) - _
0.5 * ftk * Funcao_etp_Rec_Estadio2() - _
0.5 * Funcao_Et_Estadio2() * (Funcao_etp_Rec_Estadio2() ^ 2))
```

```
LN_estadio3_parte2 = ecm_variavel_estadio3 * Es * aco_compressao - fy *
aco_tracao
```

```
LN_estadio3_parte3 = -(altura_total - altura_util) * ecm_variavel_estadio3
* Es * aco_compressao
```

```
LN_estadio3 = (-LN_estadio3_parte2 + Math.Sqrt((LN_estadio3_parte2 ^ 2) -
4 * LN_estadio3_parte1 * LN_estadio3_parte3)) / (2 * LN_estadio3_parte1)
```

```
ElseIf fy_tracao_estadio3 > fy And fy_compressao_estadio3 > fy Then
```

```
LN_estadio3_parte1 = fy * aco_tracao - fy * aco_compressao
```

```
LN_estadio3_parte2 = Funcao_k1_Estadio3() * fck * largura_maior
```

```
LN_estadio3_parte3 = (largura_maior / ecm_variavel_estadio3) * ((ftk +
Funcao_etp_Rec_Estadio2() * Funcao_Et_Estadio2()) *
Funcao_etf_Rec_Estadio2() - _
0.5 * Funcao_Et_Estadio2() * Funcao_etf_Rec_Estadio2() *
Funcao_etf_Rec_Estadio2() - _
0.5 * ftk * Funcao_etp_Rec_Estadio2() - _
0.5 * Funcao_Et_Estadio2() * Funcao_etp_Rec_Estadio2() *
Funcao_etp_Rec_Estadio2())
```

```
LN_estadio3 = LN_estadio3_parte1 / (LN_estadio3_parte2 -
LN_estadio3_parte3)
```

```
End If
```

```
Return LN_estadio3
```

```
End Function
```

```
' CALCULO MOMENTO ESTADIO 3
```

```
Function Funcao_Momento_Estadio3() As Double
```

```
'O momento depende da LN, K1, K2, K3, K4
```

```
If es1_estadio3 * Es > fy And es2_estadio3 * Es > fy Then
```

```
    momento_estadio3 = Funcao_k1_Estadio3() * fck * largura_maior * 10 *  
    Funcao_LN_Estadio3() * 10 * (altura_total * 0.5 * 10 -  
    Funcao_k2_Estadio3() * Funcao_LN_Estadio3() * 10) +  
    fy * aco_compressao * 100 * (altura_util * 10 - 0.5 * altura_total * 10) +  
    fy * aco_tracao * 100 * (altura_util * 10 - 0.5 * altura_total * 10) +  
    Funcao_k3_Estadio3() * ftk * largura_maior * 10 * (altura_total * 10 -  
    Funcao_LN_Estadio3() * 10) * _  
    (altura_total * 0.5 * 10 - Funcao_k4_Estadio3() * (altura_total * 10 -  
    Funcao_LN_Estadio3() * 10))
```

```
ElseIf es1_estadio3 * Es > fy And es2_estadio3 * Es < fy Then
```

```
    momento_estadio3 = Funcao_k1_Estadio3() * fck * largura_maior * 10 *  
    Funcao_LN_Estadio3() * 10 * (altura_total * 0.5 * 10 -  
    Funcao_k2_Estadio3() * Funcao_LN_Estadio3() * 10) +  
    fy * aco_compressao * 100 * (altura_util * 10 - 0.5 * altura_total * 10)  
    +Es * Funcao_es2_Estadio3() * aco_tracao * 100 * (altura_util * 10 - 0.5 *  
    altura_total * 10) + _  
    Funcao_k3_Estadio3() * ftk * largura_maior * 10 * (altura_total * 10 -  
    Funcao_LN_Estadio3() * 10) * _  
    (altura_total * 0.5 * 10 - Funcao_k4_Estadio3() * (altura_total * 10 -  
    Funcao_LN_Estadio3() * 10))
```

```
ElseIf es1_estadio3 * Es < fy And es2_estadio3 * Es > fy Then
```

```
    momento_estadio3 = Funcao_k1_Estadio3() * fck * largura_maior * 10 *  
    Funcao_LN_Estadio3() * 10 * (altura_total * 0.5 * 10 -  
    Funcao_k2_Estadio3() * Funcao_LN_Estadio3() * 10) +  
    Es * Funcao_es1_Estadio3() * aco_compressao * 100 * (altura_util * 10 -  
    0.5 * altura_total * 10) + _  
    fy * aco_tracao * 100 * (altura_util * 10 - 0.5 * altura_total * 10) + _  
    Funcao_k3_Estadio3() * ftk * largura_maior * 10 * (altura_total * 10 -  
    Funcao_LN_Estadio3() * 10) * _
```



```
(altura_total * 0.5 * 10 - Funcao_k4_Estadio3()) * (altura_total * 10 -
Funcao_LN_Estadio3() * 10))
```

```
ElseIf es1_estadio3 * Es < fy And es2_estadio3 * Es < fy Then
```

```
    momento_estadio3 = Funcao_k1_Estadio3() * fck * largura_maior * 10 *
    Funcao_LN_Estadio3() * 10 * (altura_total * 0.5 * 10 -
    Funcao_k2_Estadio3() * Funcao_LN_Estadio3() * 10) +
    Es * Funcao_es1_Estadio3() * aco_compressao * 100 * (altura_util * 10 -
    0.5 * altura_total * 10) + _
    Es * Funcao_es2_Estadio3() * aco_tracao * 100 * (altura_util * 10 - 0.5 *
    altura_total * 10) + _
    Funcao_k3_Estadio3() * ftk * largura_maior * 10 * (altura_total * 10 -
    Funcao_LN_Estadio3() * 10) * _
    (altura_total * 0.5 * 10 - Funcao_k4_Estadio3()) * (altura_total * 10 -
    Funcao_LN_Estadio3() * 10))
```

```
End If
```

```
Return momento_estadio3 * 0.000001
```

```
End Function
```

```
' FIM CALCULOS SECAO ESTADIO 3
```

```
End Module
```

ANEXO D – PROGRAMAÇÃO REFERENTE AO PREENCHIMENTO DO *DATAGRID*

```
Public Class frm_Calcula_Secao

    ' ESTADIO 1
    Public deflexao_estadio1 As Double

    ' ESTADIO 2
    Public eixo_ecm_estadio2(i) As Double
    Public eixo_etm_estadio2(i) As Double
    Public eixo_momento_estadio2(i) As Double
    Public eixo_aco_compressao_estadio2(i) As Double
    Public eixo_aco_tracao_estadio2(i) As Double
    Public eixo_linha_neutra_estadio2(i) As Double
    Public eixo_deflexao_estadio2(i) As Double

    ' ESTADIO 3
    Public eixo_ecm_estadio3(j) As Double
    Public eixo_etm_estadio3(j) As Double
    Public eixo_momento_estadio3(j) As Double
    Public eixo_aco_compressao_estadio3(j) As Double
    Public eixo_aco_tracao_estadio3(j) As Double
    Public eixo_linha_neutra_estadio3(j) As Double
    Public numero_linhas_estadio3 As Double
    Public eixo_deflexao_estadio3(j) As Double

    ' CONTAGEM DE LINHA
    Public i_final As Int64

    Public i As Int64

    Public j As Int64

    Public x As Int64

    Private Sub btn_Calcular_Click_1(sender As Object, e As EventArgs) Handles
btn_Calcular.Click
```

```

If (txt_altura.Text = "" Or txt_altura_util.Text = "" Or txt_largura.Text = ""
Or txt_fck.Text = "" Or _
txt_aco_compressao.Text = "" Or txt_aco_tracao.Text = "" Or _
txt_modulo_aco.Text = "" Or txt_ftk.Text = "" Or txt_modulo_concreto.Text = ""
Or txt_fy_aco.Text = "" Or _
txt_comprimento_vao.Text = "") Then

    MsgBox.Show("Preencha todos os campos.", "Campos Vazios",
    MessageBoxButtons.OK, MessageBoxIcon.Information)

If txt_altura.Text = "" Then

    txt_altura.Focus()

ElseIf txt_altura_util.Text = "" Then

    txt_altura_util.Focus()

ElseIf txt_largura.Text = "" Then

    txt_largura.Focus()

ElseIf txt_fck.Text = "" Then

    txt_fck.Focus()

ElseIf txt_aco_compressao.Text = "" Then

    txt_aco_compressao.Focus()

ElseIf txt_aco_tracao.Text = "" Then

    txt_aco_tracao.Focus()

ElseIf txt_modulo_aco.Text = "" Then

    txt_modulo_aco.Focus()

ElseIf txt_ftk.Text = "" Then

    txt_ftk.Focus()

```

```

ElseIf txt_modulo_concreto.Text = "" Then

    txt_modulo_concreto.Focus()

ElseIf txt_fy_aco.Text = "" Then

    txt_fy_aco.Focus()

ElseIf txt_comprimento_vao.Text = "" Then

    txt_comprimento_vao.Focus()

End If

End If

' Verifica se todos os campos estao preenchidos e recebe os valores de calculo

If (txt_altura.Text <> "" And txt_altura_util.Text <> "" And txt_largura.Text
<> "" And txt_fck.Text <> "" And _
txt_aco_compressao.Text <> "" And txt_aco_tracao.Text <> "" And _
txt_modulo_aco.Text <> "" And txt_ftk.Text <> "" And txt_modulo_concreto.Text <>
"" And txt_fy_aco.Text <> "" And _
txt_comprimento_vao.Text <> "") Then

    Modulo_Calculo_Secao_Retangular_Estadio1.comprimento_vao =
    txt_comprimento_vao.Text

    Modulo_Calculo_Secao_Retangular_Estadio1.altura_total = txt_altura.Text

    Modulo_Calculo_Secao_Retangular_Estadio1.altura_util =
    txt_altura_util.Text

    Modulo_Calculo_Secao_Retangular_Estadio1.largura_maior = txt_largura.Text

    Modulo_Calculo_Secao_Retangular_Estadio1.L = txt_comprimento_vao.Text

    Modulo_Calculo_Secao_Retangular_Estadio1.fck = txt_fck.Text
    Modulo_Calculo_Secao_Retangular_Estadio1.ftk = txt_ftk.Text

```

```
Modulo_Calculo_Secao_Retangular_Estadio1.Ec = txt_modulo_concreto.Text
```

```
Modulo_Calculo_Secao_Retangular_Estadio1.aco_compressao =  
txt_aco_compressao.Text
```

```
Modulo_Calculo_Secao_Retangular_Estadio1.aco_tracao = txt_aco_tracao.Text
```

```
Modulo_Calculo_Secao_Retangular_Estadio1.Es = txt_modulo_aco.Text
```

```
Modulo_Calculo_Secao_Retangular_Estadio3.fy = txt_fy_aco.Text
```

```
My.Forms.frm_Resultado.txt_resultado_LN.Text =  
Format(Funcao_LN_Estadio1(), "####.00000")
```

```
My.Forms.frm_Resultado.txt_resultado_deformacao_tracao_concreto.Text =  
Format(Funcao_etp_Rec_Estadio1(), "####.0000000000")
```

```
My.Forms.frm_Resultado.txt_resultado_compressao_concreto.Text =  
Format(Funcao_ecm_Rec_Estadio1(), "####.00000")
```

```
My.Forms.frm_Resultado.txt_resultado_compressao_maxima_concreto.Text =  
Format(Funcao_ecp_Rec_Estadio1(), "####.0000000000")
```

```
My.Forms.frm_Resultado.txt_resultado_Aco_compressao.Text =  
Format(Funcao_es1_Rec_Estadio1(), "####.0000000000")
```

```
My.Forms.frm_Resultado.txt_resultado_aco_tracao.Text =  
Format(Funcao_es2_Rec_Estadio1(), "####.0000000000")
```

```
My.Forms.frm_Resultado.txt_resultado_momento_fissuracao.Text =  
Format(Funcao_Momento_Rec_Estadio1(), "####.00000")
```

```
' Inicio ao comando For. Para isso, precisamos iniciar o valor de  
deformacao_compressao_variavel_concreto_Estadio2. Ele inicia o com o  
valor de deformacao
```

```
' de compressao final encontrado no estadio 1
```

```
For x As Int64 = 1 To 2 Step 1
```

```
    'ESTADIO 1
```

```
    If My.Forms.frm_Resultado.DataGrid_Resultado_Estadio2.Rows.Count = 0  
    Then
```

```

' add primeira linha

My.Forms.frm_Resultado.DataGrid_Resultado_Estadio2.Rows.Add("0", "Regime
Linear (Estadio 1)", _

Format(Modulo_Calculo_Secao_Retangular_Estadio1.Funcao_LN_Estadio1(),
"####.0000"), _

Format(Modulo_Calculo_Secao_Retangular_Estadio1.Funcao_ecm_Rec_Estadio1()
, "####.0000000000"), _

Format(Modulo_Calculo_Secao_Retangular_Estadio1.Funcao_es1_Rec_Estadio1()
, "####.0000000000"), _

Format(Modulo_Calculo_Secao_Retangular_Estadio1.Funcao_es2_Rec_Estadio1,
"####.0000000000"), _

Format(Modulo_Calculo_Secao_Retangular_Estadio1.Funcao_Momento_Rec_Estadi
o1(), "####.0000"), _

Format(Modulo_Calculo_Secao_Retangular_Estadio1.Funcao_Deflexao_Estadio1(
), "####.0000000000"))

'ESTADIO 2

Else

ecm_variavel_estadio2 =
Modulo_Calculo_Secao_Retangular_Estadio1.Funcao_ecm_Rec_Estadio1()

For i As Int64 = 1 To 1000 Step 1 ' Nao se sabe quantos passos
terao, apenas a extrapolei para 1000 'for'

'Cálculos

fy_compressao_estadio2 =
Modulo_Calculo_Secao_Retangular_Estadio2.Funcao_es1_Estadio2()
* Es

fy_tracao_estadio2 =
Modulo_Calculo_Secao_Retangular_Estadio2.Funcao_es2_Estadio2()
* Es

ecm_variavel_estadio2 = ecm_variavel_estadio2 * 1.01 '
ACRESCENTAR 1% EM CIMA DO INCREMENTO FEITO

```

```
LN = Funcao_LN_Estadio2()
```

```
momento_variavel_estadio2 =  
Modulo_Calculo_Secao_Retangular_Estadio2.Funcao_Momento_Estadi  
o2()
```

```
etm_variavel_estadio2 =  
Modulo_Calculo_Secao_Retangular_Estadio2.Funcao_etm_Rec_Estadi  
o2()
```

```
es1_variavel_estadio2 =  
Modulo_Calculo_Secao_Retangular_Estadio2.Funcao_es1_Estadio2()
```

```
es2_variavel_estadio2 =  
Modulo_Calculo_Secao_Retangular_Estadio2.Funcao_es2_Estadio2()
```

```
'VERIFICACAO DO ACO
```

```
If fy_compressao_estadio2 > txt_fy_aco.Text Then
```

```
    Exit For
```

```
Else
```

```
    es1_variavel_estadio2 =  
    Modulo_Calculo_Secao_Retangular_Estadio2.Funcao_es1_Estadi  
    o2()
```

```
End If
```

```
If fy_tracao_estadio2 > txt_fy_aco.Text Then
```

```
    Exit For
```

```
Else
```

```
    es2_variavel_estadio2 =  
    Modulo_Calculo_Secao_Retangular_Estadio2.Funcao_es2_Estadi  
    o2()
```

```
End If
```

```
'VARIFICACAO DO CONCRETO
```

```
If (etm_variavel_estadio2 <=
Modulo_Calculo_Secao_Retangular_Estadio2.Funcao_etf_Rec_Estadi
o2) Then
```

```
' PRIMEIRA VERIFICAÇÃO QUANTO AO MOMENTO:  $3M_i/4$  MENOR QUE
O MOMENTO DE FISSURAÇÃO
```

```
If 3 * momento_variavel_estadio2 / 4 <=
Modulo_Calculo_Secao_Retangular_Estadio1.Funcao_Momento_Re
c_Estadio1 Then
```

```
deflexao_estadio2 = ((comprimento_vao ^ 2) / 48) * ( _ (3 *
momento_variavel_estadio2 *
Modulo_Calculo_Secao_Retangular_Estadio1.Funcao_ecm_Rec_Es
tadio1 /
(Modulo_Calculo_Secao_Retangular_Estadio1.Funcao_Momento_R
ec_Estadio1 *
Modulo_Calculo_Secao_Retangular_Estadio1.Funcao_LN_Estadio
1)) +(ecm_variavel_estadio2 / LN))
```

```
My.Forms.frm_Resultado.DataGrid_Resultado_Estadio2.Rows.Add
(i, "Regime Nao Linear (Estadio 2)-1", _
```

```
Format(LN, "####.00000"), _
```

```
Format(ecm_variavel_estadio2, "####.0000000000"), _
```

```
Format(es1_variavel_estadio2, "####.0000000000"), _
```

```
Format(es2_variavel_estadio2, "####.0000000000"), _
```

```
Format(momento_variavel_estadio2, "####.00000"), _
```

```
Format(deflexao_estadio2, "####.0000000000"))
```

```
'SEGUNDA VERIFICAÇÃO QUANTO AO MOMENTO:  $3M_i/4$  MAIOR QUE O
MOMENTO DE FISSURACAO E  $M_i/2$  MENOR
```

```
ElseIf 3 * momento_variavel_estadio2 / 4 >
Modulo_Calculo_Secao_Retangular_Estadio1.Funcao_Momento_Re
c_Estadio1 And _
```

```
momento_variavel_estadio2 / 2 <
Modulo_Calculo_Secao_Retangular_Estadio1.Funcao_Momento_Re
c_Estadio1 Then
```



```

My.Forms.frm_Resultado.DataGrid_Resultado_Estadio2.Rows.Add(i, "Regime Nao Linear (Estadio 2)-2", _

Format(LN, "####.00000"), _

Format(ecm_variavel_estadio2, "####.0000000000"), _

Format(es1_variavel_estadio2, "####.0000000000"), _

Format(es2_variavel_estadio2, "####.0000000000"), _

Format(momento_variavel_estadio2, "####.00000"), _

"0")

For a As Int64 = 0 To
My.Forms.frm_Resultado.DataGrid_Resultado_Estadio2.Rows.Count - 1 Step 1

If
My.Forms.frm_Resultado.DataGrid_Resultado_Estadio2.Rows(a)
.Cells(6).Value.ToString() <= 1.01 * 3 *
momento_variavel_estadio2 / 4 _
And
My.Forms.frm_Resultado.DataGrid_Resultado_Estadio2.Rows(a)
.Cells(6).Value.ToString() >= 0.99 * (3 *
momento_variavel_estadio2 / 4) Then 'verifica a condição
do valor do momento na coluna momento

ecm_resultado_parte1_estadio2 =
My.Forms.frm_Resultado.DataGrid_Resultado_Estadio2.Rows(a)
.Cells(3).Value.ToString()

LN_resultado_parte1_estadio2 =
My.Forms.frm_Resultado.DataGrid_Resultado_Estadio2.Rows(a)
.Cells(2).Value.ToString()

deflexao_estadio2 = ((comprimento_vao ^ 2) / 48) * _
((3 * momento_variavel_estadio2 *
Modulo_Calculo_Secao_Retangular_Estadio1.Funcao_ecm_Rec_Estadio1 / _
(4 *
Modulo_Calculo_Secao_Retangular_Estadio1.Funcao_Momento_Rec_Estadio1 *
Modulo_Calculo_Secao_Retangular_Estadio1.Funcao_LN_Estadio1
)) + _

```

```

(3 * ecm_resultado_parte1_estadio2 /
LN_resultado_parte1_estadio2) + _
(ecm_variavel_estadio2 / LN))

'ADD

My.Forms.frm_Resultado.DataGrid_Resultado_Estadio2.Rows.Item(My.Forms.frm_Resultado.DataGrid_Resultado_Estadio2.Rows.Count - 1).Cells(7).Value = Format(deflexao_estadio2,
"####.0000000000")

Exit For

End If

Next

' TERCEIRA VERIFICAÇÃO QUANTO AO MOMENTO: Mi/2 MAIOR QUE O
MOMENTO DE FISSURACAO E Mi/4 MENOR

ElseIf momento_variavel_estadio2 / 2 >
Modulo_Calculo_Secao_Retangular_Estadio1.Funcao_Momento_Re
c_Estadio1 And _
momento_variavel_estadio2 / 4 <
Modulo_Calculo_Secao_Retangular_Estadio1.Funcao_Momento_Re
c_Estadio1 Then

My.Forms.frm_Resultado.DataGrid_Resultado_Estadio2.Rows.Add(i, "Regime Nao Linear (Estadio 2)-3", _
Format(LN, "####.00000"), _
Format(ecm_variavel_estadio2, "####.0000000000"), _
Format(es1_variavel_estadio2, "####.0000000000"), _
Format(es2_variavel_estadio2, "####.0000000000"), _
Format(momento_variavel_estadio2, "####.00000"), _
"0")

For a As Int64 = 0 To
My.Forms.frm_Resultado.DataGrid_Resultado_Estadio2.Rows.Count - 1 Step 1

```

```

If
My.Forms.frm_Resultado.DataGrid_Resultado_Estadio2.Rows(a)
.Cells(6).Value.ToString() <= 1.01 * 3 *
momento_variavel_estadio2 / 4 _

And
My.Forms.frm_Resultado.DataGrid_Resultado_Estadio2.Rows(a)
.Cells(6).Value.ToString() >= 0.99 * (3 *
momento_variavel_estadio2 / 4) Then

ecm_resultado_parte1_estadio2 =
My.Forms.frm_Resultado.DataGrid_Resultado_Estadio2.Rows(a)
.Cells(3).Value.ToString()

LN_resultado_parte1_estadio2 =
My.Forms.frm_Resultado.DataGrid_Resultado_Estadio2.Rows(a)
.Cells(2).Value.ToString()

Exit For
End If
Next

For a As Int64 = 0 To
My.Forms.frm_Resultado.DataGrid_Resultado_Estadio2.Rows
.Count - 1 Step 1

If My
.frm_Resultado.DataGrid_Resultado_Estadio2.Rows(a).Cells(6).Value.ToString() <= 1.01 *
momento_variavel_estadio2 / 2 _

And
frm_Resultado.DataGrid_Resultado_Estadio2.Rows(a).Cells(6).Value.ToString() >= 0.99 *
(momento_variavel_estadio2 / 2) Then

ecm_resultado_parte2_estadio2 =
frm_Resultado.DataGrid_Resultado_Estadio2.Rows(a).Cells(3).Value.ToString()

LN_resultado_parte2_estadio2 =
frm_Resultado.DataGrid_Resultado_Estadio2.Rows(a).Cells(2).Value.ToString()

Exit For

End If

Next

```

```

deflexao_estadio2 = ((comprimento_vao ^ 2) / 48) * ((3
* momento_variavel_estadio2 *
Modulo_Calculo_Secao_Retangular_Estadio1.Funcao_ecm_Re
c_Estadio1 / _
(4 *
Modulo_Calculo_Secao_Retangular_Estadio1.Funcao_Moment
o_Rec_Estadio1 *
Modulo_Calculo_Secao_Retangular_Estadio1.Funcao_LN_Est
adio1)) + _
(3 * ecm_resultado_parte1_estadio2 /
LN_resultado_parte1_estadio2) + _
(ecm_variavel_estadio2 / LN))

'ADD

My.Forms.frm_Resultado.DataGrid_Resultado_estadio2.R
ows.Item(My.Forms.frm_Resultado.DataGrid_Resultado_E
stadio2.Rows.Count - 1).Cells(7).Value =
Format(deflexao_estadio2, "####.0000000000")

'QUARTA VERIFICAÇÃO QUANTO AO MOMENTO: Mi/4 MAIOR QUE
O MOMENTO DE FISSURACAO

ElseIf momento_variavel_estadio2 / 4 >
Modulo_Calculo_Secao_Retangular_Estadio1.Funcao_Momento_Re
c_Estadio1 Then

My.Forms.frm_Resultado.DataGrid_Resultado_Estadio2.Rows.Add
(i, "Regime Nao Linear (Estadio 2)-4", _

Format(LN, "####.00000"), _

Format(ecm_variavel_estadio2, "####.0000000000"), _

Format(es1_variavel_estadio2, "####.0000000000"), _

Format(es2_variavel_estadio2, "####.0000000000"), _

Format(momento_variavel_estadio2, "####.00000"), _

"0")

For a As Int64 = 0 To
My.Forms.frm_Resultado.DataGrid_Resultado_Estadio2.Rows.Co
unt - 1 Step 1

```

```

If
frm_Resultado.DataGrid_Resultado_Estadio2.Rows(a).Cells(6)
.Value.ToString() <= 1.01 * 3 * momento_variavel_estadio2
/ 4 _

And
frm_Resultado.DataGrid_Resultado_Estadio2.Rows(a).Cells(6)
.Value.ToString() >= 0.99 * (3 * momento_variavel_estadio2
/ 4) Then 'verifica a condição do valor do momento na
coluna momento

ecm_resultado_parte1_estadio2 =
frm_Resultado.DataGrid_Resultado_Estadio2.Rows(a).Cells(3)
.Value.ToString()

LN_resultado_parte1_estadio2 =
frm_Resultado.DataGrid_Resultado_Estadio2.Rows(a).Cells(2)
.Value.ToString()

Exit For

End If

Next

For a As Int64 = 0 To
My.Forms.frm_Resultado.DataGrid_Resultado_Estadio2.Rows.Count - 1 Step 1

If
frm_Resultado.DataGrid_Resultado_Estadio2.Rows(a).Cells(6).
Value.ToString() <= 1.01 * momento_variavel_estadio2 / 2 _

And
frm_Resultado.DataGrid_Resultado_Estadio2.Rows(a).Cells(6).
Value.ToString() >= 0.99 * (momento_variavel_estadio2 / 2)
Then

ecm_resultado_parte2_estadio2 =
frm_Resultado.DataGrid_Resultado_Estadio2.Rows(a).Cells(3).
Value.ToString()

LN_resultado_parte2_estadio2 =
frm_Resultado.DataGrid_Resultado_Estadio2.Rows(a).Cells(2).
Value.ToString()

Exit For

```

End If

Next

```
For a As Int64 = 0 To
My.Forms.frm_Resultado.DataGrid_Resultado_Estadio2.Rows.Count - 1 Step 1
```

If

```
frm_Resultado.DataGrid_Resultado_Estadio2.Rows(a).Cells(6).Value.ToString() <= 1.01 * momento_variavel_estadio2 / 4 _
```

And

```
frm_Resultado.DataGrid_Resultado_Estadio2.Rows(a).Cells(6).Value.ToString() >= 0.99 * (momento_variavel_estadio2 / 4)
Then
```

```
ecm_resultado_parte3_estadio2 =
frm_Resultado.DataGrid_Resultado_Estadio2.Rows(a).Cells(3).Value.ToString()
```

```
LN_resultado_parte3_estadio2 =
frm_Resultado.DataGrid_Resultado_Estadio2.Rows(a).Cells(2).Value.ToString()
```

Exit For

End If

Next

```
deflexao_estadio2 = ((comprimento_vao ^ 2) / 48) * _
                    ((ecm_resultado_parte3_estadio2 /
LN_resultado_parte3_estadio2) + _
(ecm_resultado_parte2_estadio2 /
LN_resultado_parte2_estadio2) + _
(3 * ecm_resultado_parte1_estadio2 /
LN_resultado_parte1_estadio2) + _
(ecm_variavel_estadio2 / LN))
```

'ADD

```
My.Forms.frm_Resultado.DataGrid_Resultado_Estadio2.Rows.Item(My.Forms.frm_Resultado.DataGrid_Resultado_Estadio2.Rows.Count - 1).Cells(7).Value = Format(deflexao_estadio2,
"####.0000000000")
```

```

        End If

        ecm_variavel_estadio3 = ecm_variavel_estadio2

        es1_variavel_estadio3 = es1_variavel_estadio2

        es2_variavel_estadio3 = es2_variavel_estadio3

        i_final = i

    Else

        Exit For

    End If

    numero_linhas_estadio2 = numero_linhas_estadio2 + 1

Next i

End If

Next x

' PRESERVANDO OS VALORES

ecm_variavel_estadio3 = ecm_variavel_estadio2

es1_variavel_estadio3 = es1_variavel_estadio2

es2_variavel_estadio3 = es2_variavel_estadio3

momento_variavel_estadio3 = momento_variavel_estadio2

numero_linhas_estadio2 = numero_linhas_estadio2

' ESTADIO 3

' INICIANDO A CONTAGEM

```

```

For j As Int64 = i_final + 1 To 1000 Step 1

    ecm_variavel_estadio3 = ecm_variavel_estadio3

    etm_variavel_estadio3 =
    Modulo_Calculo_Secao_Retangular_Estadio3.Funcao_etm_Estadio3() '
    Calcula a variacao da deformação de tracao do concreto

    fy_compressao_estadio3 =
    Modulo_Calculo_Secao_Retangular_Estadio3.Funcao_es1_Estadio3() * Es '
    Calcula a variacao da tensao no aco de compressao

    fy_tracao_estadio3 =
    Modulo_Calculo_Secao_Retangular_Estadio3.Funcao_es2_Estadio3() * Es '
    Calcula a variacao da tensao no aco de tracao

    es1_variavel_estadio3 = Funcao_es1_Estadio3() ' Calcula a variacao na
    deformacao do aco de compressao

    es2_variavel_estadio3 = Funcao_es2_Estadio3() ' Calcula a variacao na
    deformacao do aco de tracao

    momento_variavel_estadio3 =
    Modulo_Calculo_Secao_Retangular_Estadio3.Funcao_Momento_Estadio3()

    ' VERIFICACAO DO ACO

    If fy_tracao_estadio3 > txt_fy_aco.Text And fy_compressao_estadio3 >
    txt_fy_aco.Text Then ' ACO TRAÇÃO E COMPRESSAO ESCOAM

        fy_tracao_estadio3 = fy

        es2_variavel_estadio3 =
        Modulo_Calculo_Secao_Retangular_Estadio3.Funcao_es2_Estadio3()

        fy_compressao_estadio3 = fy

        es1_variavel_estadio3 =
        Modulo_Calculo_Secao_Retangular_Estadio3.Funcao_es1_Estadio3()

        LN_variavel_estadio3 = Funcao_LN_Estadio3()

        momento_variavel_estadio3 =
        Modulo_Calculo_Secao_Retangular_Estadio3.Funcao_Momento_Estadio3()

```



```
ElseIf fy_tracao_estadio3 < txt_fy_aco.Text And fy_compressao_estadio3
> txt_fy_aco.Text Then ' ACO TRACAO NÃO ESCOA E COMPRESSAO ESCOA
```

```
es2_variavel_estadio3 =
Modulo_Calculo_Secao_Retangular_Estadio3.Funcao_es2_Estadio3()
```

```
fy_tracao_estadio3 =
Modulo_Calculo_Secao_Retangular_Estadio3.Funcao_es2_Estadio3() *
Es
```

```
fy_compressao_estadio3 = fy
```

```
es1_variavel_estadio3 =
Modulo_Calculo_Secao_Retangular_Estadio3.Funcao_es1_Estadio3()
```

```
LN_variavel_estadio3 = Funcao_LN_Estadio3()
```

```
momento_variavel_estadio3 =
Modulo_Calculo_Secao_Retangular_Estadio3.Funcao_Momento_Estadio3()
```

```
ElseIf fy_tracao_estadio3 > txt_fy_aco.Text And fy_compressao_estadio3
< txt_fy_aco.Text Then ' ACP TRACAO ESCOA E COMPRESSAO NAO ESCOA
```

```
fy_tracao_estadio3 = fy
```

```
es2_variavel_estadio3 =
Modulo_Calculo_Secao_Retangular_Estadio3.Funcao_es2_Estadio3()
```

```
es1_variavel_estadio3 =
Modulo_Calculo_Secao_Retangular_Estadio3.Funcao_es1_Estadio3()
```

```
fy_compressao_estadio3 =
Modulo_Calculo_Secao_Retangular_Estadio3.Funcao_es1_Estadio3 * Es
```

```
LN_variavel_estadio3 = Funcao_LN_Estadio3()
```

```
momento_variavel_estadio3 =
Modulo_Calculo_Secao_Retangular_Estadio3.Funcao_Momento_Estadio3()
```

```
ElseIf fy_tracao_estadio3 < txt_fy_aco.Text And fy_compressao_estadio3
< txt_fy_aco.Text Then ' ACO TRACAO E COMPRESSAO NAO ESCOAM
```

```

es2_variavel_estadio3 =
Modulo_Calculo_Secao_Retangular_Estadio3.Funcao_es2_Estadio3()

fy_tracao_estadio3 =
Modulo_Calculo_Secao_Retangular_Estadio3.Funcao_es2_Estadio3() *
Es

es1_variavel_estadio3 =
Modulo_Calculo_Secao_Retangular_Estadio3.Funcao_es1_Estadio3()

fy_compressao_estadio3 =
Modulo_Calculo_Secao_Retangular_Estadio3.Funcao_es1_Estadio3 * Es

LN_variavel_estadio3 = Funcao_LN_Estadio3()

momento_variavel_estadio3 =
Modulo_Calculo_Secao_Retangular_Estadio3.Funcao_Momento_Estadio3()

End If

' VERIFICACAO DO CONCRETO

If ecm_variavel_estadio3 <= 3.5 * 0.001 Then

    ' PRIMEIRA VERIFICACAO

    If 3 * momento_variavel_estadio3 / 4 <=
Modulo_Calculo_Secao_Retangular_Estadio1.Funcao_Momento_Rec_Estadi
o1 Then

        deflexao_estadio3 = ((comprimento_vao ^ 2) / 48) * ( _
(3 * momento_variavel_estadio3 *
Modulo_Calculo_Secao_Retangular_Estadio1.Funcao_ecm_Rec_Estadio1 /
(Modulo_Calculo_Secao_Retangular_Estadio1.Funcao_Momento_Rec_Estad
io1 *
Modulo_Calculo_Secao_Retangular_Estadio1.Funcao_LN_Estadio1))
+(ecm_variavel_estadio3 / LN_estadio3))

My.Forms.frm_Resultado.DataGrid_Resultado_Estadio2.Rows.Add(j,
"Regime Nao Linear (Estadio 3)-1", _

Format(LN_estadio3, "####.00000"), _

Format(ecm_variavel_estadio3, "####.0000000000"), _

Format(es1_variavel_estadio3, "####.0000000000"), _

```

```

Format(es2_variavel_estadio3, "####.0000000000"), _

Format(momento_variavel_estadio3, "####.00000"), _

Format(deflexao_estadio3, "####.0000000000"))

' SEGUNDA VERIFICACAO

ElseIf 3 * momento_variavel_estadio3 / 4 >
Modulo_Calculo_Secao_Retangular_Estadio1.Funcao_Momento_Rec_Estadi
o1 And _
momento_variavel_estadio3 / 2 <
Modulo_Calculo_Secao_Retangular_Estadio1.Funcao_Momento_Rec_Estadi
o1 Then

    My.Forms.frm_Resultado.DataGrid_Resultado_Estadio2.Rows.Add
    (j, "Regime Nao Linear (Estadio 3) - 2", _

        Format(LN_estadio3, "####.00000"), _

        Format(ecm_variavel_estadio3, "####.0000000000"), _

        Format(es1_variavel_estadio3, "####.0000000000"), _

        Format(es2_variavel_estadio3, "####.0000000000"), _

        Format(momento_variavel_estadio3, "####.00000"), _

        "0")

For a As Int64 = 0 To
My.Forms.frm_Resultado.DataGrid_Resultado_Estadio2.Rows.Count
- 1 Step 1

    If
    frm_Resultado.DataGrid_Resultado_Estadio2.Rows(a).Cells(6)
    .Value.ToString() <= 1.01 * (3 * momento_variavel_estadio3
    / 4) And _
    frm_Resultado.DataGrid_Resultado_Estadio2.Rows(a).Cells(6)
    .Value.ToString() >= 0.99 * (3 * momento_variavel_estadio3
    / 4) Then

        ecm_resultado_parte1_estadio3 =
        frm_Resultado.DataGrid_Resultado_Estadio2.Rows(a).Cell
        s(3).Value.ToString()

```

```

LN_resultado_parte1_estadio3 =
frm_Resultado.DataGrid_Resultado_Estadio2.Rows(a).Cells(2).Value.ToString()

deflexao_estadio3 = ((comprimento_vao ^ 2) / 48) * ((3
* momento_variavel_estadio3 *
Modulo_Calculo_Secao_Retangular_Estadio1.Funcao_ecm_Rec_Estadio1 / _
(4 *
Modulo_Calculo_Secao_Retangular_Estadio1.Funcao_Momento_Rec_Estadio1 *
Modulo_Calculo_Secao_Retangular_Estadio1.Funcao_LN_Estadio1)) + _
(3 * ecm_resultado_parte1_estadio3 /
LN_resultado_parte1_estadio3) + _
(ecm_variavel_estadio3 / LN_estadio3))

'ADD

My.Forms.frm_Resultado.DataGrid_Resultado_Estadio2.Rows.Item(My.Forms.frm_Resultado.DataGrid_Resultado_Estadio2.Rows.Count - 1).Cells(7).Value =
Format(deflexao_estadio3, "####.0000000000")

Exit For

End If

Next

'   TERCEIRA VERIFICACAO

ElseIf momento_variavel_estadio3 / 2 >
Modulo_Calculo_Secao_Retangular_Estadio1.Funcao_Momento_Rec_Estadio1 And _
momento_variavel_estadio3 / 4 <
Modulo_Calculo_Secao_Retangular_Estadio1.Funcao_Momento_Rec_Estadio1 Then

My.Forms.frm_Resultado.DataGrid_Resultado_Estadio2.Rows.Add(j,
"Regime Nao Linear (Estadio 3) - 2", _

Format(LN_estadio3, "####.00000"), _

Format(ecm_variavel_estadio3, "####.0000000000"), _

Format(es1_variavel_estadio3, "####.0000000000"), _

```

```
Format(es2_variavel_estadio3, "####.0000000000"), _  
Format(momento_variavel_estadio3, "####.00000"), _  
"0")
```

```
For a As Int64 = 0 To  
My.Forms.frm_Resultado.DataGrid_Resultado_Estadio2.Rows.Count  
- 1 Step 1  
  
If  
frm_Resultado.DataGrid_Resultado_Estadio2.Rows(a).Cells(6)  
.Value.ToString() <= 1.01 * (3 * momento_variavel_estadio3  
/ 4) And _  
  
    frm_Resultado.DataGrid_Resultado_Estadio2.Rows(a).Cells(6).Value.ToString() >= 0.99 * (3 *  
    momento_variavel_estadio3 / 4) Then  
  
    ecm_resultado_parte1_estadio3 =  
    frm_Resultado.DataGrid_Resultado_Estadio2.Rows(a).Cells(3).Value.ToString()  
  
    LN_resultado_parte1_estadio3 =  
    frm_Resultado.DataGrid_Resultado_Estadio2.Rows(a).Cells(2).Value.ToString()  
  
Exit For  
  
End If  
  
Next
```

```
For a As Int64 = 0 To  
My.Forms.frm_Resultado.DataGrid_Resultado_Estadio2.Rows.Count  
- 1 Step 1  
  
If  
frm_Resultado.DataGrid_Resultado_Estadio2.Rows(a).Cells(6).Value.ToString() <= 1.01 * (momento_variavel_estadio3 / 2)  
And _  
  
    frm_Resultado.DataGrid_Resultado_Estadio2.Rows(a).Cells(6).Value.ToString() >= 0.99 * (momento_variavel_estadio3 / 2)  
Then
```

```

ecm_resultado_parte2_estadio3 =
frm_Resultado.DataGrid_Resultado_Estadio2.Rows(a).Cells(3)
.Value.ToString()

LN_resultado_parte2_estadio3 =
frm_Resultado.DataGrid_Resultado_Estadio2.Rows(a).Cells(2)
.Value.ToString()

Exit For

End If

Next

deflexao_estadio3 = ((comprimento_vao ^ 2) / 48) * _
((momento_variavel_estadio3 *
Modulo_Calculo_Secao_Retangular_Estadio1.Funcao_ecm_Rec_Est
adio1 / (4 *
Modulo_Calculo_Secao_Retangular_Estadio1.Funcao_Momento_Rec
_Estadio1 *
Modulo_Calculo_Secao_Retangular_Estadio1.Funcao_LN_Estadio1
)) + _
(3 * ecm_resultado_parte1_estadio3 /
LN_resultado_parte1_estadio3) + _
(ecm_resultado_parte2_estadio3 /
LN_resultado_parte2_estadio3) + _
(ecm_variavel_estadio3 / LN_estadio3))

'ADD

My.Forms.frm_Resultado.DataGrid_Resultado_Estadio2.R
ows.Item(My.Forms.frm_Resultado.DataGrid_Resultado_E
stadio2.Rows.Count - 1).Cells(7).Value =
Format(deflexao_estadio3, "####.0000000000")

' QUARTA VERIFICACAO

ElseIf momento_variavel_estadio3 / 4 >
Modulo_Calculo_Secao_Retangular_Estadio1.Funcao_Momento_Rec_Estadi
o1 Then

My.Forms.frm_Resultado.DataGrid_Resultado_Estadio2.Rows.Add(j,
"Regime Nao Linear (Estadio 3) - 4", _

Format(LN_estadio3, "####.000000"), _

```

```

Format(ecm_variavel_estadio3, "####.0000000000"), _
Format(es1_variavel_estadio3, "####.0000000000"), _
Format(es2_variavel_estadio3, "####.0000000000"), _
Format(momento_variavel_estadio3, "####.00000"), _
"0")

```

```

For a As Int64 = 0 To
My.Forms.frm_Resultado.DataGrid_Resultado_Estadio2.Rows.Count
- 1 Step 1

```

```

If
frm_Resultado.DataGrid_Resultado_Estadio2.Rows(a).Cells(6).
Value.ToString() <= 1.01 * 3 * momento_variavel_estadio3 /
4 And _
frm_Resultado.DataGrid_Resultado_Estadio2.Rows(a).Cells(6).
Value.ToString() >= 0.99 * (3 * momento_variavel_estadio3 /
4) Then

```

```

    ecm_resultado_parte1_estadio3 =
    frm_Resultado.DataGrid_Resultado_Estadio2.Rows(a).Cells(3).Value.ToString()

```

```

    LN_resultado_parte1_estadio3 =
    frm_Resultado.DataGrid_Resultado_Estadio2.Rows(a).Cells(2).Value.ToString()

```

```

Exit For

```

```

End If

```

```

Next

```

```

For a As Int64 = 0 To
My.Forms.frm_Resultado.DataGrid_Resultado_Estadio2.Rows.Count
- 1 Step 1

```

```

If
frm_Resultado.DataGrid_Resultado_Estadio2.Rows(a).Cells(6).
Value.ToString() <= 1.01 * (momento_variavel_estadio3 /
2) And _

```

```

    frm_Resultado.DataGrid_Resultado_Estadio2.Rows(a).Cells(6)

```

```

.Value.ToString() >= 0.99 * (momento_variavel_estadio3 /
2) Then

    ecm_resultado_parte2_estadio3 =
    frm_Resultado.DataGrid_Resultado_Estadio2.Rows(a).Cells(3).Value.ToString()

    LN_resultado_parte2_estadio3 =
    frm_Resultado.DataGrid_Resultado_Estadio2.Rows(a).Cells(2).Value.ToString()

    Exit For

End If

Next

For a As Integer = 0 To
My.Forms.frm_Resultado.DataGrid_Resultado_Estadio2.Rows.Count
- 1 Step 1

    If
    frm_Resultado.DataGrid_Resultado_Estadio2.Rows(a).Cells(6).Value.ToString() <= 1.01 * (momento_variavel_estadio3 / 4) And _
    frm_Resultado.DataGrid_Resultado_Estadio2.Rows(a).Cells(6).Value.ToString() >= 0.99 * (momento_variavel_estadio3 / 4) Then

        ecm_resultado_parte3_estadio3 =
        frm_Resultado.DataGrid_Resultado_Estadio2.Rows(a).Cells(3).Value.ToString()

        LN_resultado_parte3_estadio3 =
        frm_Resultado.DataGrid_Resultado_Estadio2.Rows(a).Cells(2).Value.ToString()

        Exit For

    End If

Next

' calculando deflexao
deflexao_estadio3 = ((comprimento_vao ^ 2) / 48) *
((ecm_resultado_parte3_estadio3 / LN_resultado_parte3_estadio3) +

```



```

(ecm_resultado_parte2_estadio3 / LN_resultado_parte2_estadio3) +
(3 * ecm_resultado_parte1_estadio3 /
LN_resultado_parte1_estadio3) + _
(ecm_variavel_estadio3 / LN_estadio3))

'ADD

My.Forms.frm_Resultado.DataGrid_Resultado_Estadio2.Rows.Item(My.Fo
rms.frm_Resultado.DataGrid_Resultado_Estadio2.Rows.Count -
1).Cells(7).Value = Format(deflexao_estadio3, "####.0000000000")

End If

ecm_variavel_estadio3 = ecm_variavel_estadio3 * 1.01 ' ACRESCENTA
EM 1% A DEFORMACAO

Else

Exit For

End If

Next j

' EXIBICAO DOS RESULTADOS

My.Forms.frm_Resultado.TabControl_Resultado.SelectedTab =
frm_Resultado.tab_estadio1

frm_Resultado.Show()

End If

End Sub

```

ANEXO E – TABELA DE COEFICIENTES ADIMENSIONAIS

ξ	ε_c	ε_s	ζ	μ_d	ω	σ'_s (MPa)				
						$\delta' = 0,05$	$\delta' = 0,10$	$\delta' = 0,15$	$\delta' = 0,20$	
0,06	0,64	10,00	0,979	0,014	0,015	22				Domínio 2
0,07	0,75	10,00	0,976	0,019	0,020	45				
0,08	0,87	10,00	0,972	0,025	0,025	68				
0,09	0,99	10,00	0,969	0,031	0,032	92				
0,10	1,11	10,00	0,965	0,037	0,038	117	0			
0,11	1,24	10,00	0,961	0,044	0,046	142	24			
0,12	1,36	10,00	0,957	0,051	0,054	167	48			
0,13	1,49	10,00	0,953	0,059	0,062	193	72			
0,14	1,63	10,00	0,949	0,067	0,071	220	98			
0,15	1,76	10,00	0,945	0,075	0,079	247	124	0		
0,16	1,90	10,00	0,940	0,083	0,088	275	150	25		
0,17	2,05	10,00	0,936	0,091	0,097	304	177	51		
0,18	2,20	10,00	0,931	0,099	0,107	333	205	77		
0,19	2,35	10,00	0,927	0,107	0,116	363	233	104		
0,20	2,50	10,00	0,922	0,115	0,125	394	263	131	0	
0,22	2,82	10,00	0,912	0,130	0,143	435	323	188	54	
0,24	3,16	10,00	0,902	0,145	0,161	435	387	249	111	
0,2593	3,50	10,00	0,892	0,159	0,178	435	435	310	168	
0,28	3,50	9,00	0,884	0,170	0,193	435	435	341	210	Domínio 3
0,30	3,50	8,17	0,875	0,181	0,206	435	435	368	245	
0,32	3,50	7,44	0,867	0,191	0,220	435	435	390	276	
0,34	3,50	6,79	0,859	0,201	0,234	435	435	411	303	
0,36	3,50	6,22	0,850	0,211	0,248	435	435	429	327	
0,38	3,50	5,71	0,842	0,220	0,261	435	435	435	348	
0,40	3,50	5,25	0,834	0,229	0,275	435	435	435	368	
0,42	3,50	4,83	0,825	0,239	0,289	435	435	435	385	

0,44	3,50	4,45	0,817	0,247	0,303	435	435	435	401
0,46	3,50	4,11	0,809	0,256	0,317	435	435	435	415
0,48	3,50	3,79	0,800	0,264	0,330	435	435	435	429
0,50	3,50	3,50	0,792	0,272	0,344	435	435	435	435
0,52	3,50	3,23	0,784	0,280	0,358	435	435	435	435
0,54	3,50	2,98	0,775	0,288	0,372	435	435	435	435
0,56	3,50	2,75	0,767	0,296	0,385	435	435	435	435
0,58	3,50	2,53	0,759	0,303	0,399	435	435	435	435
0,60	3,50	2,33	0,750	0,310	0,413	435	435	435	435
0,62	3,50	2,15	0,742	0,317	0,427	435	435	435	435
0,6283	3,50	2,07	0,739	0,319	0,433	435	435	435	435
0,64	3,50	1,97	0,734	0,323	0,463	435	435	435	435
0,66	3,50	1,80	0,725	0,329	0,521	435	435	435	435
0,68	3,50	1,65	0,717	0,336	0,588	435	435	435	435
0,70	3,50	1,50	0,709	0,341	0,665	435	435	435	435
0,72	3,50	1,36	0,701	0,347	0,754	435	435	435	435
0,74	3,50	1,23	0,692	0,352	0,857	435	435	435	435
0,76	3,50	1,11	0,684	0,358	0,980	435	435	435	435
0,78	3,50	0,99	0,676	0,363	1,126	435	435	435	435
0,80	3,50	0,88	0,667	0,367	1,303	435	435	435	435
0,82	3,50	0,77	0,659	0,372	1,520	435	435	435	435
0,84	3,50	0,67	0,651	0,376	1,795	435	435	435	435

Domínio 4

Fonte: TAVARES (2005)